



ITS
Institut
Teknologi
Sepuluh Nopember

TUGAS AKHIR - IF184802

**PENGEMBANGAN *INCESSANT ALLOCATION METHOD*
- *PRIORITY VALUE* UNTUK Mencari *INITIAL BASIC
FEASIBLE SOLUTION* PADA *TRANSPORTATION
PROBLEM***

AISYAH MUSWAR
NRP 05111640000035

Dosen Pembimbing
Victor Hariadi, S.Si, M.Kom.
Bilqis Amaliah, S.Kom., M.Kom.

DEPARTEMEN TEKNIK INFORMATIKA
Fakultas Teknologi Elektro dan Informatika Cerdas
Institut Teknologi Sepuluh Nopember
Surabaya 2020

[Halaman ini sengaja dikosongkan]



TUGAS AKHIR - IF184802

PENGEMBANGAN *INCESSANT ALLOCATION METHOD - PRIORITY VALUE* UNTUK Mencari *INITIAL BASIC FEASIBLE SOLUTION* PADA *TRANSPORTATION PROBLEM*

AISYAH MUSWAR
NRP 0511164000035

Dosen Pembimbing
Victor Hariadi, S.Si, M.Kom.
Bilqis Amaliah, S.Kom., M.Kom.

DEPARTEMEN TEKNIK INFORMATIKA
Fakultas Teknologi Elektro dan Informatika Cerdas
Institut Teknologi Sepuluh Nopember
Surabaya 2020

[Halaman ini sengaja dikosongkan]



FINAL PROJECT - IF184802

DEVELOPMENT OF INCESSANT ALLOCATION METHOD - PRIORITY VALUE TO FINDING INITIAL BASIC FEASIBLE SOLUTION ON TRANSPORTATION PROBLEM

AISYAH MUSWAR
NRP 05111640000035

Supervisors
Victor Hariadi, S.Si, M.Kom.
Bilqis Amaliah, S.Kom., M.Kom.

DEPARTMENT of INFORMATICS ENGINEERING
Faculty of Intelligent Electrical and Informatics Technology
Institut Teknologi Sepuluh Nopember
Surabaya 2020

[Halaman ini sengaja dikosongkan]

LEMBAR PENGESAHAN

PENGEMBANGAN *INCESSANT ALLOCATION METHOD – PRIORITY VALUE* UNTUK Mencari *INITIAL BASIC FEASIBLE SOLUTION* PADA *TRANSPORTATION PROBLEM*

TUGAS AKHIR

Diajukan Guna Memenuhi Salah Satu Syarat
Memperoleh Gelar Sarjana Komputer
pada
Bidang Studi Dasar dan Terapan Komputasi
Program Studi S-1 Departemen Teknik Informatika
Fakultas Teknologi Elektro dan Informatika Cerdas
Institut Teknologi Sepuluh Nopember

Oleh:

AISYAH MUSWAR
NRP 0511164000035

Disetujui oleh Dosen Pembimbing Tugas Akhir:

Victor Hariadi, S.Si., M.Kom.
NIP: 19691228 199412 1 001



.....
(Pembimbing 1)

Bilqis Amaliah, S.Kom., M.Kom.
NIP: 19751914 200112 2 001

.....
(Pembimbing 2)

SURABAYA
JULI 2020

[Halaman ini sengaja dikosongkan]

PENGEMBANGAN *INCESSANT ALLOCATION METHOD – PRIORITY VALUE* UNTUK Mencari *INITIAL BASIC FEASIBLE SOLUTION* PADA *TRANSPORTATION PROBLEM*

Nama Mahasiswa : Aisyah Muswar
NRP : 05111640000035
Departemen : Teknik Informatika FTEIC-ITS
Dosen Pembimbing 1 : Victor Hariadi, S.Si, M.Kom.
Dosen Pembimbing 2 : Bilqis Amaliah, S.Kom., M.Kom.

ABSTRAK

Hampir setiap tahun, perusahaan manufaktur mengeluarkan biaya jutaan dolar untuk pendistribusian barang. Kemajuan perusahaan pun berbanding lurus dengan efisiensi metode transportasi perusahaan. Permasalahan ini mendorong para peneliti untuk melakukan riset dalam mencari biaya minimal, yang kemudian dikenal sebagai Transportation Problem (TP). TP merupakan bagian dari Linier Programming, baik pada bidang aplikasi matematika maupun riset operasional. Ada dua proses untuk mencari solusi optimal dari TP. Pertama adalah mencari Initial Basic Feasible Solution (IBFS) dan kedua adalah mencari solusi optimal dari IBFS menggunakan stepping stone. IBFS merupakan solusi awal dengan menggunakan algoritma tertentu sedemikian rupa sehingga biaya pengiriman pada TP mendekati angka paling minimal.

Berbagai riset telah dilakukan oleh peneliti untuk mencari algoritma IBFS, salah satunya adalah Incessant Allocation Method - Priority Value (IAM-PV). IAM-PV merupakan algoritma IBFS yang menggunakan metode pengalokasian terus menerus pada tiap rute dengan memperhatikan nilai prioritas terbesar dari perbandingan hitungan row priority value dan column priority value, hingga semua rute terisi. Pada penelitian ini, algoritma

IAM-PV akan dimodifikasi pada bagian inisiasi matriks awal. Modifikasi ini dinamakan Total Opportunity Cost Matrix – Priority Value (TOCM-PV). Algoritma tersebut diimplementasikan dalam bentuk program berbahasa C dengan format input sejumlah supply, sejumlah demand, dan cost tiap rute. Output yang diharapkan dari program ini adalah nilai alokasi tiap rute dan total biaya pengalokasian tersebut.

Algoritma IAM-PV dan TOCM-PV diujicobakan terhadap 85 data. Pada hasil uji penelitian ini, persentase akurasi algoritma IAM-PV sebesar 16,47%, sedangkan persentase akurasi algoritma TOCM-PV sebesar 18,82%. Selain itu, TOCM-PV lebih baik daripada IAM-PV, hal ini dibuktikan dengan 44 data dari 85 data uji coba dapat mencapai hasil biaya lebih rendah dari IAM-PV. Sehingga pada penelitian ini dapat disimpulkan bahwa algoritma TOCM-PV lebih mendekati hasil optimal daripada algoritma IAM-PV.

Kata kunci: distribusi produk, biaya minimal, transportation problem, total opportunity cost matrix priority value , algoritma incesant allocation method priority value

DEVELOPMENT OF INCESSANT ALLOCATION METHOD - PRIORITY VALUE TO FINDING INITIAL BASIC FEASIBLE SOLUTION ON TRANSPORTATION PROBLEM

Name : Aisyah Muswar
NRP : 05111640000035
Department : Informatics FTEIC-ITS
Supervisor I : Victor Hariadi, S.Si, M.Kom.
Supervisor II : Bilqis Amaliah, S.Kom., M.Kom.

ABSTRACT

Almost every year, manufacturing companies issues millions of dollars in the distribution of goods. The company's progress is directly proportional to the efficiency of the company's transportation methods. This problem encouraged researchers to conduct research in looking for minimal costs, which became known as the Transportation Problem (TP). TP is part of Linear Programming, both in the field of mathematical applications and operational research. There are two processes to find the optimal solution from TP. First is looking for Initial Basic Feasible Solution (IBFS) and second is looking for optimal solutions from IBFS using stepping stones. IBFS is an initial solution that is provided using certain algorithms in such a way that shipping costs on TP approach the minimum amount.

Various studies have been conducted by researchers to look for the IBFS algorithm, one of which is the Incessant Allocation Method - Priority Value (IAM-PV). IAM-PV is an IBFS algorithm that uses a continuous allocation method on each route by taking into account the greatest priority value from the ratio of row priority value and column priority value, until all routes are filled. In this study, the IAM-PV algorithm will be modified in the

initial matrix initiation section. Modification of this method is called the Total Opportunity Cost Matrix - Priority Value (TOCM-PV). The algorithm is implemented in the form of a C-language program with the input format of a number of supplies, a number of demands, and the cost of each route. The expected output from this program is the value of the allocation of each route and the total allocation costs.

IAM-PV and TOCM-PV algorithms were tested on 85 data. In the test results of this study, the percentage accuracy of the IAM-PV algorithm was 16.47%, while the percentage accuracy of the TOCM-PV algorithm was 18.82%. In addition, TOCM-PV is better than IAM-PV is better than IAM-PV, this is proven by 44 data from 85 trial data that can achieve lower cost results than IAM-PV. So in this study it can be concluded that the TOCM-PV algorithm is closer to optimal results than the IAM-PV algorithm.

Keywords: product distribution, minimal costs, transportation problems, total opportunity cost matrix priority value, accession allocation method priority value algorithm

KATA PENGANTAR

Puji syukur penulis panjatkan ke hadirat Allah SWT karena atas karunia dan rahmat-Nya penulis dapat menyelesaikan tugas akhir yang berjudul:

PENGEMBANGAN *INCESSANT ALLOCATION METHOD* – *PRIORITY VALUE* UNTUK Mencari *INITIAL BASIC FEASIBLE SOLUTION* PADA *TRANSPORTATION PROBLEM*

Melalui lembar ini, penulis ingin menyampaikan ucapan terima kasih dan penghormatan yang sebesar-besarnya kepada:

1. Bapak, Ibu, adik, sekeluarga tercinta yang selalu memberikan doa serta dukungan kepada penulis untuk menyelesaikan tugas akhir ini.
2. Bapak Victor Hariadi, S.Si, M.Kom selaku dosen pembimbing tugas akhir pertama yang telah membimbing dan memberi banyak masukan dalam pengerjaan tugas akhir ini.
3. Ibu Bilqis Amaliah, S.Kom., M.Kom. selaku dosen pembimbing tugas akhir kedua yang telah memberikan masukan serta koreksi dalam pengerjaan tugas akhir.
4. Dr. Eng. Nanik Suciati, S.Kom, M.Kom. selaku dosen wali yang senantiasa memberikan dukungan selama perkuliahan.
5. Bapak dan Ibu dosen serta seluruh civitas Departemen Teknik Informatika yang telah memberikan pelajaran dan pengalaman selama menjadi mahasiswa di Departemen Teknik Informatika.
6. Teman-teman TC16, serta seluruh anggota BEMF dan IFLS yang sudah menemani, mendukung dan memberikan pelajaran dalam organisasi maupun perkuliahan.

7. Teman sepejuangan Nada, Ramdan, Mukti, Puguh, Ardin, Ivan, Nafis dan Fadhlán yang sudah membantu penulis selama perkuliahan dan juga memberi rasa kekeluargaan.
8. Henry Haidar Jati Andrian untuk semangat dan dukungan kepada penulis selama pengerjaan tugas akhir.
9. Serta pihak-pihak lain yang namanya tidak dapat penulis sebutkan satu per satu.

Bagaimanapun juga penulis telah berusaha sebaik-baiknya dalam menyelesaikan tugas akhir ini. Namun, penulis mohon maaf apabila terdapat kekurangan ataupun kesalahan yang penulis lakukan. Kritik dan saran yang membangun dapat disampaikan sebagai bahan perbaikan untuk ke depannya.

Surabaya, Juli 2020

Aisyah Muswar

DAFTAR ISI

LEMBAR PENGESAHAN.....	vii
ABSTRAK	ix
ABSTRACT	xi
KATA PENGANTAR.....	xiii
DAFTAR ISI.....	xv
DAFTAR GAMBAR	xix
DAFTAR TABEL	xxi
DAFTAR KODE SUMBER	xxiii
BAB I PENDAHULUAN	1
1.1 Latar Belakang	1
1.2 Rumusan Permasalahan.....	3
1.3 Batasan Permasalahan	3
1.4 Tujuan.....	4
1.5 Manfaat.....	4
1.6 Metodologi	4
1.7 Sistematika Penulisan.....	6
BAB II DASAR TEORI.....	9
2.1 <i>Transportation Problem</i> (TP).....	9
2.2 <i>Total Opportunity Cost Matrix</i> (TOCM).....	11
2.3 <i>Initial Base Feasible Solution</i> (IBFS)	12
2.4 <i>Algoritma Vogel Approximation Method</i> (VAM)	13
2.5 <i>Algoritma Total Differences Method 1</i> (TDM1)	15
2.6 <i>Algoritma Incessant Allocation Method</i>	15

2.7	Algoritma <i>Incessant Allocation Method – Priority Value</i>	18
2.8	Algoritma <i>Juman and Hoque Method (JHM)</i>	20
2.9	Algoritma <i>Total Opportunity Cost Matrix – Minimal Total (TOCM-MT)</i>	21
2.10	Algoritma Bilqis Chastine Erma (BCE)	23
2.11	Metode Evaluasi	26
BAB III ANALISIS DAN PERANCANGAN SISTEM.....		29
3.1	Analisis Algoritma IAM-PV	29
3.2	Total Opportunity Cost Matrix – Priority Value (TOCM-PV).....	31
BAB IV IMPLEMENTASI.....		41
4.1	Lingkungan Implementasi.....	41
4.2	Implementasi Algoritma TOCM-PV	41
4.2.1.	Implementasi Tahap Mengubah Matriks Orisinal	42
4.2.2.	Implementasi Tahap Menghitung <i>Priority Value</i>	44
4.2.3.	Implementasi Tahap Memilih <i>Priority Value</i>	45
4.2.4.	Implementasi Tahap Alokasi <i>Supply Demand</i> Habis	46
4.2.5.	Implementasi Tahap Alokasi <i>Supply</i> Habis.....	47
4.2.6.	Implementasi Tahap Alokasi <i>Demand</i> Habis	49
4.2.7.	Implementasi Tahap Menghitung Total Cost	51
BAB V PENGUJIAN DAN EVALUASI		53
5.1	Lingkungan Pengujian.....	53
5.2	Data Uji Coba.....	53

5.3	Hasil Uji Coba TOCM-PV Terhadap 15 Data Sintesi.	56
5.4	Hasil Uji Coba TOCM-PV Terhadap 34 Data Dari Beberapa Jurnal	62
5.5	Hasil Uji Coba TOCM-PV Terhadap 36 Data <i>Real</i>	70
5.6	Hasil Uji Coba TOCM-PV Terhadap 85 Data Campuran	79
5.7	Hasil Uji Waktu.....	93
BAB VI KESIMPULAN DAN SARAN.....		97
6.1.	Kesimpulan.....	97
6.2.	Saran.....	97
DAFTAR PUSTAKA.....		99
LAMPIRAN A		103
LAMPIRAN B		121
BIODATA PENULIS.....		140

[Halaman ini sengaja dikosongkan]

DAFTAR GAMBAR

Gambar 2. 1	Diagram Jaringan dari Transportation Problem....	11
Gambar 2. 2	Flowchart algoritma VAM.....	14
Gambar 2. 3	Flowchart Algoritma IAM	17
Gambar 2. 4	Flowchart Algoritma IAM-PV	19
Gambar 3. 1	Flowchart Algoritma TOCM-PV	34

[Halaman ini sengaja dikosongkan]

DAFTAR TABEL

Tabel 2. 1 Bentuk tabel dari TP	10
Tabel 2. 2 Orisinal Matriks	12
Tabel 2. 3 Matriks Row Opportunity Cost	12
Tabel 2. 4 Matriks Column Opportunity Cost	12
Tabel 2. 5 Matriks TOCM	s12
Tabel 3. 1 Tabel Solusi Optimal Data Jurnal ke-15.....	29
Tabel 3. 2 Perhitungan RPV dan CPV.....	30
Tabel 3. 3 Iterasi Pertama Algoritma IAM-PV.....	31
Tabel 3. 4 Matriks Orisinal Data Jurnal ke-15.....	35
Tabel 3. 5 Matriks TOCM Data Jurnal ke-15.....	35
Tabel 3. 6 Perhitungan RPV dan CPV pada Semua Cell.....	36
Tabel 3. 7 Iterasi Pertama	36
Tabel 3. 8 Perhitungan RPV dan CPV pada Iterasi Kedua.....	37
Tabel 3. 9 Iterasi Kedua.....	38
Tabel 3. 10 Perhitungan RPV dan CPV pada Iterasi Ketiga.....	39
Tabel 3. 11 Iterasi Ketiga.....	39
Tabel 3. 12 Hasil Akhir TOCM-PV pada Data Jurnal ke-15.....	39
Tabel 4. 1 Spesifikasi Perangkat.....	41
Tabel 5. 1 Tiga Puluh Empat Data Dari Beberapa Referensi	54
Tabel 5. 2 Improvement Percentage Terhadap 15 Data Sintesis	60
Tabel 5. 3 Deviation Percentage Terhadap 15 Data Sintesis	61
Tabel 5. 4 Jumlah Data Improvement Percentage Untuk 15 Data Sintesis	62
Tabel 5. 5 Jumlah Data Optimal dan Akurasi Untuk 15 Data Sintesis	62
Tabel 5. 6 <i>Improvement Percentage</i> Terhadap 34 Data dari Berbagai Jurnal.....	66
Tabel 5. 7 <i>Deviation Percentage</i> Terhadap 34 Data dari Berbagai Jurnal	68

Tabel 5. 8 Jumlah Data Improvement Percentage Untuk 34 Data Dari Berbagai Jurnal.....	70
Tabel 5. 9 Jumlah Data Optimal dan Akurasi Untuk 34 Data Dari Berbagai Jurnal.....	70
Tabel 5. 10 Improvement Percentage Terhadap 36 Data Real ...	74
Tabel 5. 11 Deviation Percentage Terhadap 36 Data Real	76
Tabel 5. 12 Jumlah Data Improvement Percentage Untuk 36 Data Real.....	78
Tabel 5. 13 Jumlah Data Optimal dan Akurasi Untuk 36 Data Real	78
Tabel 5. 14 Improvement Percentage Terhadap 85 Data Campuran	82
Tabel 5. 15 Deviation Percentage Terhadap 85 Data Campuran	87
Tabel 5. 16 Jumlah Data Improvement Percentage Untuk 85 Data Campuran	92
Tabel 5. 17 Jumlah Data Optimal dan Akurasi Untuk 85 Data Campuran	92
Tabel 5. 18 Waktu Eksekusi Seluruh Metode.....	93

DAFTAR KODE SUMBER

Kode Sumber 4. 1 Implementasi Tahap Mengubah Matriks Orisinal.....	44
Kode Sumber 4. 2 Implementasi Tahap Menghitung Priority Value	45
Kode Sumber 4. 3 Implementasi Tahap Mencari Priority Value Terbesar.....	46
Kode Sumber 4. 4 Implementasi Tahap Alokasi Supply Demand Habis.....	47
Kode Sumber 4. 5 Implementasi Tahap Alokasi Supply Habis.....	49
Kode Sumber 4. 6 Implementasi Tahap Alokasi Demand Habis	51
Kode Sumber 4. 7 Implementasi Tahap Menghitung Total Cost	51

[Halaman ini sengaja dikosongkan]

BAB I

PENDAHULUAN

1.1 Latar Belakang

Transportation Problem (TP) adalah pendistribusian barang dari banyak *supply* ke banyak *demand* dengan tujuan untuk mencari total biaya minimal dengan memperhatikan batasan-batasan yang ada [1]. Tujuan TP sendiri adalah pencarian total biaya minimal untuk mencapai solusi optimal [2]. Hampir setiap tahun, perusahaan mengeluarkan biaya jutaan dolar untuk pendistribusian barang [3]. TP merupakan bagian dari *Linier Programming*, baik pada bidang aplikasi matematika maupun riset operasional [4]. Pemanfaatan model transportasi dapat dikembangkan pada bidang operasi lainnya, seperti pengaturan inventaris, penjadwalan kerja, dan penempatan karyawan [1].

Ada dua proses untuk mencari solusi optimal dari TP. Pertama adalah mencari *Initial Basic Feasible Solution* dan kedua adalah mencari solusi optimal dari IBFS menggunakan *stepping stone* [5]. IBFS sangat penting dicari untuk mendapatkan solusi optimal karena IBFS sendiri merupakan dasaran dari pencarian solusi TP [6]. Hasil dari IBFS bisa mendekati atau bahkan sama dengan nilai solusi optimal. Angka iterasi proses pencarian akan berkurang apabila menggunakan IBFS dengan hasil yang baik [2].

Pada penelitian sebelumnya, terdapat beberapa algoritma untuk menyelesaikan IBFS, antara lain *North West Corner Rule* (NWC), *Least Cost Method* (LCM), dan *Vogel's Approximation Method* (VAM). Dari ketiga algoritma tersebut, VAM merupakan algoritma yang paling efisien dalam pencarian IBFS [4]. Studi literatur berisi metode-metode pengembangan pencarian IBFS yang diusulkan peneliti lain. Kirca dan Satir [7] mengembangkan metode *Total Opportunity-Cost Method* (TOCM) untuk mencari IBFS. Mathirajan dan Meenakshi [8] melakukan pengembangan dengan cara menyatukan konsep *Total Opportunity Cost* (TOC) dengan VAM. Khan [9] menggunakan *pointer cost* yang dihasilkan dari selisih biaya tertinggi dan biaya tertinggi kedua pada setiap

baris dan kolom. Islam et al [10] mengemukakan pendekatan baru yang disebut *Total Opportunity Cost Table* (TOCT). Metode TOC menghitung *Distribution Indicators* (DI) yang didapatkan dari selisih biaya unit terbesar dan biaya unit terbesar kedua. Khan et al [11] mengembangkan sebuah metode baru untuk menemukan *initial solution*, metode ini bernama *TOCM-SUM Approach*.

Metode berbeda telah diusulkan oleh para peneliti lainnya. Babu et al. [12], Kousalya dan P.Malarvizhi [13] dan Moraden [14] memulai IBFS dari *supply* minimal atau *demand* minimal. Babu et al. [4] mempertimbangkan biaya pada setiap *cell* dan mulai dari yang minimal. Uddin dan Khan [5] menambahkan beberapa aturan apabila terdapat nilai yang sama pada biaya minimal. Ahmed et al. [15] mengusulkan *Incessant Allocation Method* (IAM) yang dimulai dari biaya paling sedikit, kemudian dilanjutkan dengan cara mencari biaya lainnya pada baris atau kolom yang sama hingga *satisfy*. Ahmed et al. [16] dan Deshmukh [17] memulai Langkah IBFS dengan pengalokasian dari biaya ganjil paling sedikit. Kaur et al. [18] menambahkan sebuah aturan baru jika terdapat nilai *Maximum Difference Method* yang sama.

Berdasarkan beberapa studi yang telah dilakukan, penelitian ini mengusulkan sebuah metode baru untuk mendapatkan IBFS yang lebih baik. Metode yang diusulkan ini dinamakan *Total Opportunity Cost Matrix – Priority Value* (TOCM-PV) yaitu modifikasi dari IAM-PV [19]. TOCM-PV adalah gabungan dari *Total Opportunity Cost Matrix* (TOCM) [7] dan IAM-PV. TOCM-PV menggunakan TOCM sebagai matriks inisial dan langkah selanjutnya memproses matriks TOCM menggunakan metode IAM-PV. *Priority Value* adalah *cell* paling berharga dibandingkan *cell* lain di baris dan kolom yang sama. PV menghitung *Row Priority Value* (RPV) dan *Column Priority Value* (CPV). Langkah selanjutnya adalah memilih *cell* dengan nilai prioritas tertinggi. 86 contoh data numerik digunakan untuk mengevaluasi kinerja TOCM-PV. Data tersebut juga dibandingkan dengan metode yang telah ada seperti IAM [15], VAM [20], dan IAM-PV [19].

1.2 Rumusan Permasalahan

Rumusan masalah yang diangkat dalam tugas akhir ini adalah :

1. Bagaimana memodifikasi algoritma *Incessant Allocation Method Priority Value* (IAM-PV) sehingga dapat menghasilkan biaya yang lebih kecil daripada algoritma IAM-PV yang asli?
2. Berapa besar nilai kenaikan akurasi algoritma IAM-PV yang telah dikembangkan dibandingkan dengan algoritma IAM-PV yang asli?

1.3 Batasan Permasalahan

Batasan masalah pada tugas akhir ini antara lain:

1. ToraSystem 7th Edition merupakan *tools* yang digunakan untuk memvalidasi jawaban optimal. *Tools* ini melakukan langkah inisiasi dan optimalisasi (*Stepping Stone*) sekaligus sehingga hasil yang didapatkan pasti optimal.
2. Dev-C++5.11 adalah *tools* yang akan digunakan untuk mengimplementasikan hasil modifikasi IAM-PV dalam bentuk pemrograman C++ .
3. Algoritma IBFS yang dibahas pada penelitian ini hanya akan ditelaah pada proses inisialisasi saja.
4. Data yang digunakan adalah 36 data real dari perusahaan XYZ pada tahun 2017 sebanyak 18 data dan pada tahun 2018 sebanyak 18 data. Perusahaan XYZ terdiri dari 2 pabrik yang berfungsi sebagai *supply* dan 94 kota tujuan yang berfungsi sebagai *demand*. Data biaya adalah data *cycle time* (waktu yang diperlukan oleh truk dari suatu pabrik ke kota tujuan dan kembali ke pabrik dalam satuan jam).
5. Contoh kasus sebanyak 34 data diambil dari beberapa referensi jurnal.
6. 15 Data sintesis dengan ukuran data yang besar.

7. Variabel biaya *supply* dan *demand* bertipe *integer*.

1.4 Tujuan

Tujuan dari pembuatan tugas akhir ini antara lain:

1. Memodifikasi IAM-PV agar dapat menghasilkan biaya yang lebih kecil dan kenaikan nilai akurasi lebih besar daripada algoritma IAM-PV yang asli.
2. Mengevaluasi kinerja metode modifikasi IAM-PV dengan menggunakan pengukuran *improvement percentage*, *deviation percentage* dan akurasi.

1.5 Manfaat

Tugas akhir diharapkan dapat menghasilkan algoritma baru yang menjadi pembanding algoritma IAM-PV yang asli, sehingga dapat menjadi referensi bagi peneliti lain dalam mengembangkan algoritma IBFS. Program yang dibuat dalam tugas akhir ini dapat digunakan untuk mendapatkan solusi IBFS dari berbagai soal, sehingga pada studi kasus nyata dapat digunakan untuk menyelesaikan masalah *Transportation Problem*.

1.6 Metodologi

Langkah-langkah yang ditempuh dalam pengerjaan tugas akhir ini adalah sebagai berikut:

1. Studi literatur

Pada studi literatur ini akan dipelajari sejumlah referensi yang relevan terhadap tugas akhir yang akan dikerjakan. Studi literatur ini didapatkan dari buku, internet serta materi-materi kuliah yang berhubungan dengan metode yang akan digunakan. Hal-hal yang akan dipelajari antara lain mengenai *Transportation Problem*, *Initial Base Feasible Soutlion* (IBFS) dan algoritma *Incessant Allocation Method – Priority Value* (IAM-PV).

2. Analisis dan desain metode

Metode yang akan digunakan adalah modifikasi dari *Incessant Allocation Method Priority Value* (IAM-PV). Bagian yang dikembangkan pada algoritma IAM-PV adalah pada proses inisiasi matriks awal yang dikerjakan dengan menggunakan metode TOCM yaitu orisinal matriks menjadi inisial matriks dengan cara menjumlahkan antara matriks *row opportunity cost* dan matriks *coloum opportunity cost*. Selanjutnya matriks akan diproses menggunakan metode IAM-PV.

3. Implementasi

Pada tugas akhir ini, algoritma IAM-PV modifikasi yang akan dibuat akan diimplementasikan menjadi program berbahasa C++. Tools yang akan digunakan adalah Dev C++ 5.11 karena telah menyediakan *library* yang dibutuhkan.

4. Pengujian dan evaluasi

Uji coba akan dilakukan terhadap 34 soal studi kasus dari beberapa paper, 36 data real dari perusahaan XYZ dan 15 data sintesis. Algoritma yang akan digunakan sebagai pembanding antara lain Vogel, IAM, TDM1, IAM-PV, JHM, TOCM-MT dan BCE. Langkah pertama dalam pengujian adalah mencoba algoritma IAM, TDM1, IAM-PV, JHM, TOCM-MT dan BCE yang telah dibuat programnya pada keseluruhan studi kasus. Langkah berikutnya adalah mendapatkan hasil dari algoritma Vogel dan jawaban optimal menggunakan *tools* ToraSystem 7th Edition pada setiap studi kasus. Jawaban optimal ini akan berperan sebagai kunci jawaban setiap studi kasus yang nantinya akan menjadi patokan terhadap akurasi masing-masing algoritma.

5. Penyusunan buku Tugas Akhir

Pada tahap ini dilakukan proses dokumentasi dan pembuatan laporan dari seluruh konsep, tinjauan pustaka, metode, implementasi, proses yang telah dilakukan, pengujian, evaluasi dan hasil-hasil yang telah didapatkan selama pengerjaan tugas akhir.

1.7 Sistematika Penulisan

Buku tugas akhir ini bertujuan untuk mendapatkan gambaran dari pengerjaan tugas akhir. Selain itu, diharapkan dapat berguna untuk pembaca yang tertarik untuk melakukan pengembangan lebih lanjut. Secara garis besar, buku tugas akhir terdiri atas beberapa bagian seperti berikut ini:

Bab I Pendahuluan

Bab ini berisi latar belakang masalah, tujuan dan manfaat pembuatan tugas akhir, permasalahan, batasan masalah, metodologi yang digunakan, dan sistematika penyusunan tugas akhir.

Bab II Dasar Teori

Bab ini menjelaskan beberapa teori yang dijadikan penunjang dan berhubungan dengan pokok pembahasan yang mendasari pembuatan tugas akhir.

Bab III Analisis dan Perancangan Sistem

Bab ini membahas mengenai perancangan sistem yang akan dibangun. Perancangan sistem meliputi perancangan data dan alur proses dari sistem itu sendiri.

Bab IV Implementasi

Bab ini berisi implementasi dari perancangan sistem yang telah ditentukan sebelumnya.

Bab V Pengujian dan Evaluasi

Bab ini membahas pengujian dari metode yang ditawarkan dalam tugas akhir untuk mengetahui kesesuaian metode dengan data yang ada.

Bab VI Kesimpulan dan Saran

Bab ini berisi kesimpulan dari hasil pengujian yang telah dilakukan. Bab ini juga membahas saran-saran untuk pengembangan sistem lebih lanjut.

Daftar Pustaka

Merupakan daftar referensi yang digunakan untuk mengembangkan tugas akhir.

Lampiran

Merupakan bab tambahan yang berisi data atau daftar istilah yang penting pada tugas akhir ini.

[Halaman ini sengaja dikosongkan]

BAB II DASAR TEORI

Bab ini membahas teori-teori yang menjadi dasar pembuatan tugas akhir.

2.1 *Transportation Problem (TP)*

Salah satu masalah yang sering terjadi di bidang perindustrian adalah masalah distribusi produk. Dalam melakukan proses distribusi produk, diperlukan perencanaan agar biaya distribusi dapat ditekan menjadi seminimal mungkin [21]. Faktor-faktor yang mempengaruhi besarnya biaya distribusi antara lain adalah banyaknya pemasok, banyaknya kebutuhan, dan estimasi biaya tiap rute. Proses perencanaan ini dikenal sebagai *Transportation Problem (TP)*.

TP adalah salah satu dari masalah Pemrograman Linier di mana tujuannya adalah mengirimkan sejumlah kuantitas barang yang mulanya tersimpan di beberapa tempat pemasok ke tempat-tempat tujuan dengan biaya sekecil mungkin [5]. TP dapat dipresentasikan sebagai sebuah tabel seperti pada Tabel 2. 1 [15] dan direpresentasikan sebagai diagram jaringan sesuai pada Gambar 2. 1 [21][18]. TP terdiri atas sejumlah *supply* m , sejumlah *demand* n , biaya transportasi C_{ij} dan jumlah unit yang dialokasikan $X_{i,j}$. Tujuan dari diagram jaringan dan tabel TP adalah untuk menemukan nilai dari variabel $X_{i,j}$, dimana variabel ini yang akan meminimalkan total biaya dari TP, seperti digambarkan pada persamaan (2.1). Berikut adalah notasi yang digunakan pada formula matematika TP [18].

m	Jumlah total <i>supply</i>
n	Jumlah total <i>demand</i>
S_i	Jumlah barang yang tersedia di <i>supply</i> i
D_j	Jumlah barang yang dibutuhkan <i>demand</i> j
C_{ij}	Biaya transportasi dari <i>supply</i> i ke <i>demand</i> j
X_{ij}	Jumlah unit yang dialokasikan dari <i>supply</i> i ke <i>demand</i> j

Fungsi objektif dari TP dapat diformulasikan sebagai berikut:

$$\text{Min } Z = \sum_{i=1}^m \sum_{j=1}^n C_{ij} X_{ij} \quad (2.1)$$

Batasan

$$\sum_{j=1}^n X_{ij} = S_i \quad \text{untuk } i = 1, 2, \dots, m$$

$$\sum_{i=1}^m X_{ij} = D_j \quad \text{untuk } j = 1, 2, \dots, n$$

Dimana

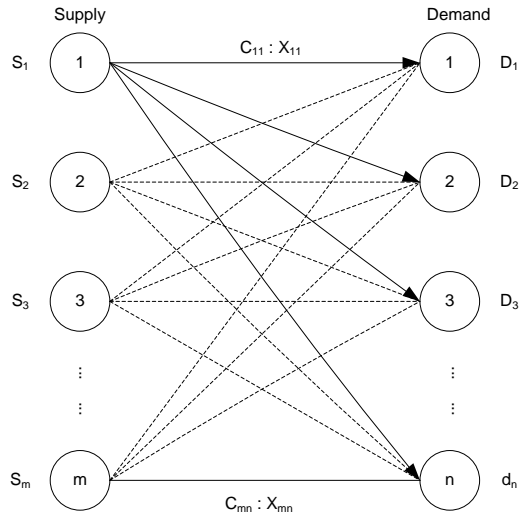
$$X_{ij} \geq 0 \quad \text{Untuk semua } i, j$$

Sebuah TP dikatakan *balance* jika total *supply* sama dengan total *demand* seperti terlihat pada persamaan (2.2).

$$\sum_{i=1}^m S_i = \sum_{j=1}^n D_j \quad (2.2)$$

Tabel 2. 1 Bentuk tabel dari TP

	<i>Demand 1</i>		<i>Demand 2</i>		...	<i>Demand n</i>		
<i>Supply 1</i>	C_{11}	X_{11}	C_{12}	X_{12}	...	C_{1n}	X_{1n}	S_1
<i>Supply 2</i>	C_{21}	X_{21}	C_{22}	X_{22}	...	C_{2n}	X_{2n}	S_2
		
		
<i>Supply m</i>	C_{m1}	X_{m1}	C_{m2}	X_{m2}	...	C_{mn}	X_{mn}	S_m
	D_1		D_2			D_n		



Gambar 2. 1 Diagram Jaringan dari Transportation Problem

2.2 Total Opportunity Cost Matrix (TOCM)

Kirca dan Satir [7] mengembangkan metode bernama *Total Opportunity Cost Matrix* (TOCM). TOCM merubah orisinal matriks menjadi inisial matriks dengan cara menjumlahkan antara matriks *row opportunity cost* dan matriks *coloum opportunity cost*. Tabel 2. 2 adalah orisinal matriks. Tabel 2. 3 adalah matriks *row opportunity cost*, matriks ini didapat dengan cara mengurangi setiap baris dari orisinal matriks dengan biaya terkecil pada baris tersebut. Tabel 2. 4 adalah matriks *column opportunity cost*, matriks ini didapat dengan cara mengurangi setiap kolom dari orisinal matriks dengan biaya terkecil pada kolom tersebut. Tabel 2. 5 adalah TOCM matriks, dimana tabel ini adalah penjumlahan antara *row opportunity cost* dan *column opportunity cost* matriks.

Tabel 2. 2 Orisinal Matriks

	D1	D2	D3	D4	Supply
S1	19	30	50	12	7
S2	70	30	40	60	10
S3	40	10	60	20	18
<i>Demand</i>	5	8	7	15	

Tabel 2. 3 Matriks *Row Opportunity Cost*

	D1	D2	D3	D4	Supply
S1	7	18	38	0	7
S2	40	0	10	30	10
S3	30	0	50	10	18
<i>Demand</i>	5	8	7	15	

Tabel 2. 4 Matriks *Column Opportunity Cost*

	D1	D2	D3	D4	Supply
S1	0	20	10	0	7
S2	51	20	0	48	10
S3	21	0	20	8	18
<i>Demand</i>	5	8	7	15	

Tabel 2. 5 Matriks TOCM

	D1	D2	D3	D4	Supply
S1	7	38	48	0	7
S2	91	20	10	78	10
S3	51	0	70	18	18
<i>Demand</i>	5	8	7	15	

2.3 Initial Base Feasible Solution (IBFS)

Transportation Problem (TP) digunakan untuk mendapatkan solusi paling optimal. Ada dua proses untuk mencari solusi optimal dari TP. Pertama adalah mencari IBFS dan kedua adalah mencari solusi optimal dari IBFS menggunakan *stepping stone* [5]. IBFS adalah penerapan sebuah algoritma tertentu pada permasalahan TP sehingga mendapatkan solusi awal [1]. Setelah

mendapatkan hasil dari penerapan algoritma IBFS, solusi awal yang dihasilkan tersebut kemudian diproses pada tahap *stepping stone*.

Secara umum, tahapan *stepping stone* membutuhkan waktu yang lama. Hal ini menyebabkan para peneliti banyak melakukan riset untuk menciptakan algoritma IBFS untuk mendapatkan hasil seoptimal mungkin. Algoritma IBFS yang baik adalah algoritma yang dapat menghasilkan solusi dengan biaya yang paling kecil. Semakin mendekati angka minimal, semakin baik pula algoritma tersebut [15].

2.4 Algoritma *Vogel Approximation Method* (VAM)

VAM merupakan algoritma yang dapat menemukan solusi yang baik untuk pencarian IBFS [1]. Pada algoritma VAM, alokasi diberikan dengan membandingkan *penalty* setiap baris dan kolom. *Flowchart* algoritma VAM ditunjukkan pada Gambar 2. 2. Secara garis besar, langkah-langkah pada algoritma VAM adalah sebagai berikut :

Langkah 1 Membuat matriks orisinal awal dengan ukuran matriks $m \times n$. Pastikan bahwa total *supply* dan *demand* sama. Jika berbeda, maka tambahkan *dummy* pada baris atau kolom agar seimbang.

Langkah 2 Setiap baris dan kolom dihitung nilai penaltinya (P). Nilai *penalty* didapatkan dengan cara mengurangkan dua biaya terkecil. Seperti pada persamaan (2.3).

$$P = C_2 - C_1 \quad (2.3)$$

Dimana C_1 adalah biaya terkecil pertama

C_2 adalah biaya terkecil kedua

Langkah 3 Pilih penalti terbesar.

Langkah 4 Alokasikan unit sebanyak mungkin pada *cell* dengan biaya terkecil.

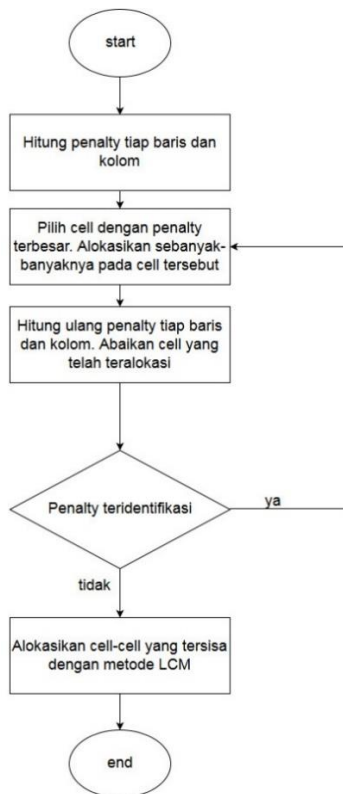
Langkah 5 Hitung kembali dan sesuaikan jumlah unit *supply* serta *demand*, kemudian eliminasi baris atau kolom yang jumlah unit *supply/demand* sudah nol. Eliminasi dengan cara mencoret menandakan bahwa baris atau kolom tersebut sudah terpenuhi

kebutuhannya (*satisfy*). Baris atau kolom yang sudah dicoret, tidak akan diikuti pada perhitungan berikutnya.

Langkah 6 Hitung kembali penalti.

Langkah 7 Lakukan kembali langkah 3 – 7 hingga jumlah unit semua *supply/demand* sudah nol, maka kebutuhannya telah terpenuhi (*satisfy*).

Langkah 8 Setelah semua telah *satisfy*, kalikan biaya pada sel dengan unit yang dialokasikan pada *cell* tersebut untuk mendapatkan total biaya TP.



Gambar 2. 2 Flowchart algoritma VAM

2.5 Algoritma *Total Differences Method 1* (TDM1)

TDM1 adalah metode yang pengerjaannya dengan cara menghitung penalty baris. Penalty sendiri didapatkan dari menghitung total perbedaan antara biaya terkecil dengan semua biaya yang ada pada baris tersebut [6]. Langkah-langkah TDM1 adalah sebagai berikut:

Langkah 1 Buatlah matriks orisinal transportasi awal dengan ukuran matriks $m \times n$. Jika total *supply* tidak sama dengan total *demand*, maka tambahkan *dummy* pada baris atau kolom.

Langkah 2 Hitung penalty untuk setiap baris (α_i). Nilai penalty adalah total perbedaan antara biaya terkecil dengan semua biaya yang ada pada baris tersebut, seperti pada persamaan (2.4).

$$\alpha_i = \sum_j (C_{ij} - C_r) \quad (2.4)$$

Dimana $C_r = \min\{C_{ij} \text{ dan } i \text{ adalah baris}\}$

Langkah 3 Pilih penalty terbesar.

Langkah 4 Alokasikan unit sebanyak mungkin pada *cell* dengan biaya terkecil.

Langkah 5 Perbarui jumlah unit *supply* dan *demand*, kemudian eliminasi baris atau kolom yang jumlah unitnya sudah nol, berarti baris atau kolom tersebut sudah terpenuhi kebutuhannya (*satisfy*). Baris atau kolom yang sudah dieliminasi, tidak akan diikutkan pada perhitungan berikutnya.

Langkah 6 Hitung kembali penalty.

Langkah 7 Ulangi langkah 3 – 7 hingga jumlah unit semua baris dan kolom sudah nol, maka kebutuhannya telah terpenuhi (*satisfy*).

Langkah 8 Terakhir, hitung total biaya TP dengan cara mengalikan antara biaya pada sel dan unit yang dialokasikan pada *cell* tersebut.

2.6 Algoritma *Incessant Allocation Method*

Incessant Allocation Method (IAM) adalah salah satu algoritma IBFS yang ditemukan oleh Mollah Mesbahuddin pada tahun 2016 [21]. *Flowchart* IAM dapat dilihat pada *Gambar 2. 3*.

Secara garis besar, langkah-langkah dalam algoritma IAM adalah sebagai berikut:

Langkah 1 Buatlah matriks orisinal transportasi awal dengan ukuran matriks $m \times n$.

Langkah 2 Cari sel dengan biaya terkecil (B_i), seperti pada persamaan (2.5), dan alokasikan sebanyak mungkin pada sel ini.

$$B_i = \min(C_{ij}) \quad (2.5)$$

Langkah 3 Perbarui jumlah unit *supply* dan *demand*, dan ikuti langkah berikut :

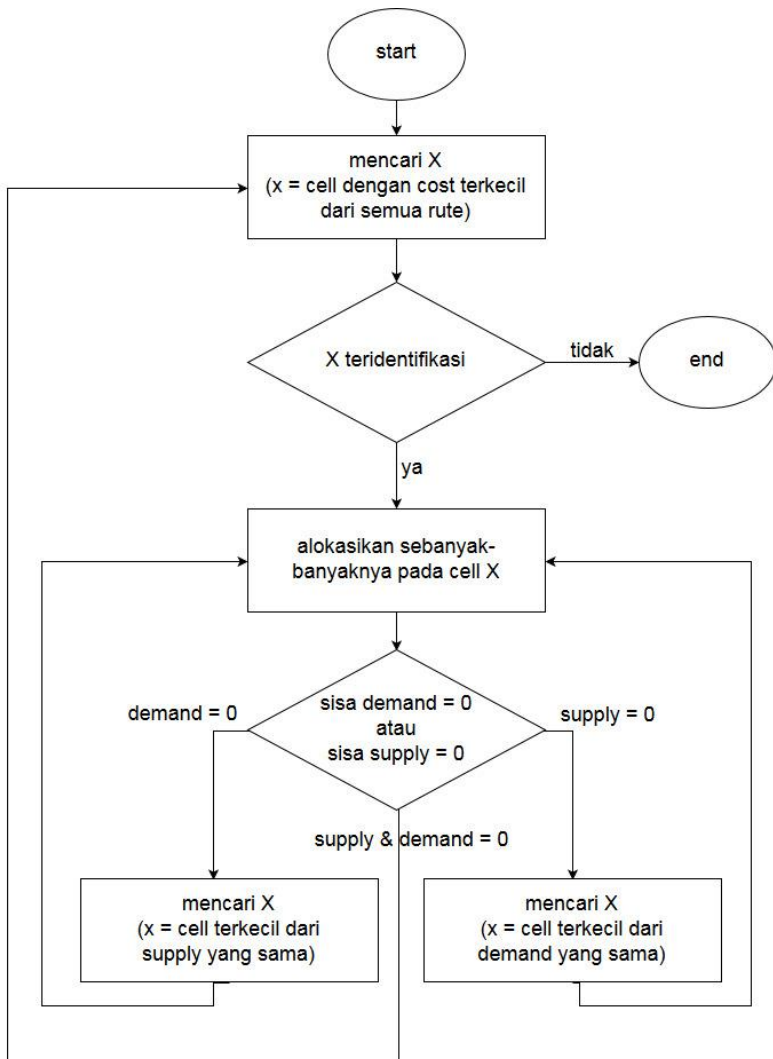
Kasus 1 : Jika alokasi $x_{ij} = s_i$, baris ke- i dieliminasi dan d_j dikurangi menjadi $(d_j - s_i)$. Sekarang dilanjutkan dengan mengalokasikan sisa unit ke biaya terkecil pada kolom ke- j secara terus menerus. Jika kolom ke- j sudah *satisfy*, lanjutkan dengan mengalokasikan sisa unit ke biaya terkecil pada baris ke- k secara terus menerus.

Kasus 2 : Jika alokasi $x_{ij} = d_j$, kolom ke- j dieliminasi dan s_i dikurangi menjadi $(s_i - d_j)$. Sekarang dilanjutkan dengan mengalokasikan sisa unit ke biaya terkecil pada baris ke- i secara terus menerus. Jika baris ke- i sudah *satisfy*, lanjutkan dengan mengalokasikan sisa unit ke biaya terkecil pada kolom ke- k secara terus menerus.

Kasus 3 : Jika alokasi $x_{ij} = s_i = d_j$, maka baris ke- i dan kolom ke- j eliminasi.

Kasus 4 : Jika baris atau kolom yang akan dialokasikan sudah penuh, kembali ke langkah 2.

Langkah 4 Terakhir, hitung biaya total transportasi dengan cara mengalikan biaya dan alokasi unit.



Gambar 2.3 Flowchart Algoritma IAM

2.7 Algoritma *Incessant Allocation Method – Priority Value*

Incessant Allocation Method – Priority Value (IAM-PV) merupakan algoritma IBFS yang menggunakan metode pengalokasian terus menerus pada tiap rute dengan memperhatikan nilai prioritas terbesar dari perbandingan hitungan *row priority value* dan *column priority value*, hingga semua rute terisi [21]. *Flowchart* algoritma IAM-PV dapat dilihat pada Gambar 2. 4. Secara garis besar, langkah-langkah pada algoritma IAM-PV adalah sebagai berikut :

Langkah 1 Hitung *row priority value* dan *column priority value* semua *cell* yang masih kosong. Apabila semua *cell* telah terisi maka lanjut ke langkah 6

Langkah 2 Cari *cell* dengan *priority value* terbesar dari semua *cell*. Untuk selanjutnya *cell* ini dinamakan dengan *cell X*.

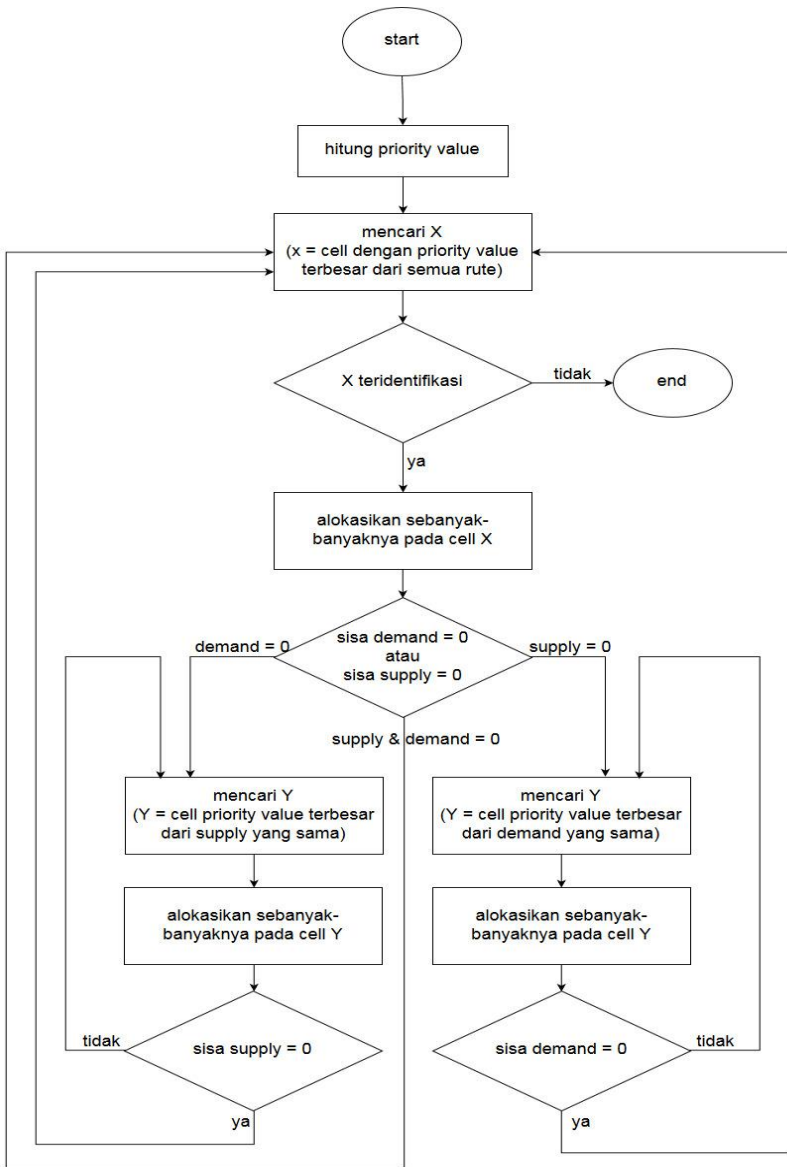
Langkah 3 Alokasikan sebanyak mungkin pada *cell X*

Langkah 4 Perhatikan jumlah *supply* dan *demand* yang tersisa setelah mengalokasikan *cell X*, kemudian lakukan langkah dengan memperhatikan percabangan sebagai berikut

- i. Apabila jumlah *demand* dan *supply* keduanya habis, maka kembali ke langkah 1
- ii. Apabila jumlah *supply* masih tersisa, maka cari *cell* dengan *priority value* terbesar berikutnya dalam satu baris
- iii. Apabila jumlah *demand* masih tersisa, maka cari *cell* dengan *priority value* terbesar berikutnya dalam satu kolom

Langkah 5 Kembali ke langkah 1

Langkah 6 Hitung jumlah biaya pengiriman.



Gambar 2.4 Flowchart Algoritma IAM-PV

2.8 Algoritma *Juman and Hoque Method (JHM)*

Berbeda dengan VAM, JHM tidak memerlukan transportasi yang *balance* dan tidak perlu menghitung penalty [1].

Langkah-langkah JHM adalah sebagai berikut:

Langkah 1 Buatlah matriks orisinal transportasi awal dengan ukuran $m \times n$.

Langkah 2 Pada setiap kolom, cari *cell* dengan biaya terkecil (B_i), seperti pada persamaan (2.4) dan alokasikan jumlah unit *demand* pada sel tersebut.

$$B_i = \min(C_{ij}) \quad (2.6)$$

Langkah 3 Untuk alokasi pada setiap baris, cek apakah jumlah total unit kurang atau sama dengan jumlah *supply*, jika sama, maka menuju ke langkah 9.

Langkah 4 Untuk tiap alokasi pada *unmet row* (jumlah total unit lebih besar dari *supply*), hitung selisih antara 2 biaya terkecil pada kolom tersebut, dan pilih selisih yang terkecil. Jika hanya ada satu baris yang *unmet row*, menuju ke langkah 7, jika tidak maka menuju langkah 5.

Langkah 5 Cek jika ada sebuah atau beberapa sel pada *unmet row* yang tidak mengandung biaya unit terkecil kedua yang berhubungan dengan perbedaan terkecil antara biaya unit yang terkecil kedua dan biaya unit yang terkecil pada kolom untuk masing-masing alokasi pada *unmet row* yang lain, seperti pada teorema 3. Jika ada baris seperti ini, identifikasi *unmet row* sebelumnya dan kemudian menuju ke langkah 7.

Langkah 6 Pilih dua baris *unmet row*. Untuk setiap baris yang *unmet row*, cari selisih antara 2 biaya terkecil. Asumsi perbedaan terkecil untuk *unmet row* yang berhubungan dengan biaya terkecil c_1 dan perbedaan terkecil untuk *unmet row* yang lain berhubungan dengan biaya terkecil e_1 . Asumsi c_1 , c_2 dan c_3 adalah biaya terkecil pertama, kedua dan ketiga pada kolom pertama dan e_1 , e_2 dan e_3 adalah pertama, kedua dan ketiga pada kolom kedua. Jika $(c_3 - c_1) > (e_3 - e_2)$, maka *unmet row* adalah baris yang terdapat c_1 , jika tidak maka *unmet row* adalah baris yang terdapat e_1 seperti pada teorema 4.

Langkah 7 Mempertimbangkan *unmet row* dari langkah 4, 5 atau 6 kemudian transfer maksimal sisa unit dari *cell* dengan biaya terkecil ke sel dengan biaya terkecil kedua pada kolom tersebut seperti pada teorema 1 dan 2. Lanjutkan transfer ini hingga tidak ada sisa unit.

Langkah 8 Eliminasi baris yang jumlah unitnya sudah nol, maka baris sudah terpenuhi kebutuhannya (*satisfy*). Baris yang sudah dieliminasi, tidak akan diikutkan pada perhitungan berikutnya, kemudian kembali ke langkah 3.

Langkah 9 Terakhir, hitung total biaya TP dengan cara mengalikan antara biaya pada sel dan unit yang dialokasikan pada sel tersebut.

2.9 Algoritma *Total Opportunity Cost Matrix* – Minimal Total (TOCM-MT)

Metode IBFS *Total Opportunity Cost Matrix* – *Minimal Total* (TOCM-MT) adalah kombinasi dari TOCM dan modifikasi TDM1 [2]. Langkah-langkah dari metode TOCM-MT adalah sebagai berikut:

Langkah 1: Buat matriks orisinal transportasi awal dengan ukuran matriks $m \times n$. Jika total *supply* tidak sama dengan total *demand*, maka tambahkan *dummy* baris atau kolom.

Langkah 2: Buat matriks *row opportunity cost* dari matriks orisinal TP dengan cara mengurangi setiap biaya dengan biaya terkecil pada baris tersebut.

Langkah 3: Buat matriks *column opportunity cost* dari matriks orisinal TP dengan cara mengurangi setiap biaya dengan biaya terkecil pada kolom tersebut.

Langkah 4: Buat matriks TOCM dimana entri nya adalah penjumlahan dari matriks *row opportunity cost* dan *column opportunity cost*.

Langkah 5: Hitung penalti untuk setiap baris (P_i). Nilai penalti adalah total perbedaan antara biaya terkecil (LC_i) dengan semua

biaya yang ada pada baris tersebut, seperti pada persamaan (2.7) dan (2.8).

$$LC_i = \min (C_{ij}), j = 1..n \quad (2.7)$$

$$P_i = \sum_{j=1}^n (C_{ij} - LC_i) \quad (2.8)$$

Langkah 6: Pilih penalti terbesar (HP) seperti pada persamaan (2.9). Jika ada nilai HP yang sama, maka lakukan hal berikut secara berurutan: (i) pilih HP dengan nilai C_{ij} terkecil. (ii) jika ada nilai yang sama pada (i), pilih HP dengan TC_i terbesar, seperti pada persamaan (2.10). (iii) jika ada nilai yang sama pada (ii), pilih HP dengan alokasi maksimal pada X_{ij} .

$$HP = \max (P_i), i = 1..m \quad (2.9)$$

$$TC_i = \sum_{j=1}^n C_{ij} \quad (2.10)$$

Langkah 7: Pilih biaya terkecil (LC) dari HP. Jika ada nilai LC yang sama, pilih LC dengan alokasi maksimal pada X_{ij} .

Langkah 8: Periksa nilai LC. Jika LC tidak sama dengan nol, maka ke langkah 9, jika LC sama dengan nol, maka pilih HP antara HP pertama (HP_1) atau HP kedua (HP_2). Pilih HP dengan cara membandingkan tiap biaya pada sel HP_1 dan HP_2 . C_{1j} adalah biaya pada HP_1 dan C_{2j} adalah biaya pada HP_2 . GV_{1j} bernilai 1 jika biaya pada HP_1 lebih besar dari biaya pada HP_2 dan 0 jika biaya pada HP_1 lebih kecil dari biaya pada HP_2 . GV_{2j} bernilai 1 jika biaya pada HP_1 lebih kecil dari pada HP_2 dan 0 jika biaya pada HP_1 lebih besar dari pada HP_2 . $TotalGV_{1j}$ adalah penjumlahan dari GV_{1j} seperti pada persamaan (2.11) dan $TotalGV_{2j}$ adalah penjumlahan dari GV_{2j} seperti pada persamaan (2.12). HP adalah HP_1 jika $TotalGV_{1j}$ lebih besar dari $TotalGV_{2j}$ dan HP adalah HP_2 jika $TotalGV_{1j}$ lebih kecil $TotalGV_{2j}$ seperti pada persamaan (2.13).

$$TotalGV_{1j} = \sum_{j=1}^n GV_{1j} \quad (2.11)$$

Dimana

$$GV_{1j} = \begin{cases} 1 & \text{if } C_{1j} \geq C_{2j}, \quad j = 1, 2, \dots, n \\ 0 & \text{if } C_{1j} < C_{2j}, \quad j = 1, 2, \dots, n \end{cases}$$

$$TotalGV_{2j} = \sum_{j=1}^n GV_{2j} \quad (2.12)$$

Dimana

$$GV_{2j} = \begin{cases} 1 & \text{if } C_{1j} < C_{2j}, \quad j = 1, 2, \dots, n \\ 0 & \text{if } C_{1j} \geq C_{2j}, \quad j = 1, 2, \dots, n \end{cases}$$

$$HP = \begin{cases} HP_1 & \text{if } TotalGV_{1j} \geq TotalGV_{2j} \\ HP_2 & \text{if } TotalGV_{1j} < TotalGV_{2j} \end{cases} \quad (2.13)$$

Langkah 9: Alokasikan unit X_{ij} sebanyak mungkin pada sel dengan biaya terkecil dari HP.

Langkah 10: Perbarui jumlah unit *supply* dan *demand*, kemudian eliminasi baris atau kolom yang jumlah unitnya sudah nol, berarti baris atau kolom tersebut sudah terpenuhi kebutuhannya (*satisfy*). Baris atau kolom yang sudah dieliminasi, tidak akan diikutkan pada perhitungan berikutnya.

Langkah 11: Hitung kembali penalti.

Langkah 12: Ulangi langkah 6 – 11 hingga semua baris dan kolom jumlah unitnya sudah nol, sudah terpenuhi kebutuhannya (*satisfy*).

Langkah 13: Terakhir, hitung total biaya TP (TCTP) dengan cara menggabungkan antara hasil TOCM-MT dan orisinal TP, seperti pada persamaan (2.14).

$$TCTP = \sum_{i=1}^m \sum_{j=1}^n C_{ij} X_{ij} \quad (2.14)$$

2.10 Algoritma Bilqis Chastine Erma (BCE)

Metode IBFS selanjutnya adalah metode Bilqis Chastine Erma (BCE). Langkah-langkah dari metode BCE adalah sebagai berikut:

Langkah 1: Buatlah matriks orisinal transportasi awal dengan ukuran $m \times n$ dengan biaya C_{ij} , *supply* S_i dimana $i = 1..m$ dan *demand* D_j dimana $j=1..n$. Untuk setiap baris, statusnya adalah *Not Satisfied* (NS). Tidak perlu menambahkan *dummy* jika jumlah total *supply* tidak sama dengan jumlah total *demand*.

Langkah 2: Alokasikan *demand* D_j dari kolom j ke X_{ij} , dimana C_{ij} adalah *First Least Cost* (FLC) _{j} untuk setiap kolom, seperti pada persamaan (2.15).

$$FLC_j = \min(C_{ij}), \quad i=1..m \quad (2.15)$$

Langkah 3: Pada tiap baris, jika total alokasi X_{ij} pada baris i (TA_i) lebih besar dari *supply* S_i maka ubah status baris menjadi *Excess Row* (ER). ER adalah baris yang total *demand*-nya lebih besar dari *supply*, sehingga kelebihan isi sel harus dipindah dari *First Least Row* (FLR) ke *Second Least Row* (SLR). TA_i dihitung dengan menggunakan persamaan (2.16).

$$TA_i = \sum_{j=1}^n X_{ij} \quad (2.16)$$

Langkah 4: Tiap *cell* pada ER, hitung perbedaan (*Diff*) antara FLC_j dengan SLC_j seperti pada persamaan (2.17).

$$Diff_j = SLC_j - FLC_j \quad (2.17)$$

Langkah 5: Pilih *cell* dengan *Diff* terkecil (*Smallest Diff* - SD) seperti pada persamaan (2.18). Baris SD menjadi *First Least Row* (FLR) dan baris SLC menjadi *Second Least Row* (SLR). Kelebihan isi *cell* pada FLC akan dipindah ke SLC.

$$SD = \min(Diff_j) \quad (2.18)$$

Langkah 6: Jika TP adalah *balance* maka ke langkah 7, jika tidak menuju langkah 17.

Langkah 7: Jika FLC tidak sama dengan SLC_j dan *Least Supply* (LS) tidak sama dengan *Second Supply* (SS) maka menuju langkah 8, jika tidak menuju langkah 15.

Langkah 8: Cek status dari SLR, Jika status SLR adalah ER maka menuju langkah 9, jika tidak menuju langkah 11.

Langkah 9: Alokasikan maksimal unit X_{ij} ke FLC dan pindah semua sisanya ke SLC.

Langkah 10: Jika jumlah total unit pada FLR (TUFLR) pada baris i sama dengan *supply* FLR maka eliminasi FLR dan ganti status

menjadi *satisfy* (berarti baris tersebut sudah terpenuhi kebutuhannya dan tidak akan diikutkan pada perhitungan berikutnya) kemudian ke langkah 18, jika TUFLR tidak sama dengan *supply* FLR maka ke langkah 18. TUFLR dihitung dengan menggunakan persamaan (2.19).

$$TUFLR = \sum_{j=1}^n X_{ij} \quad (2.19)$$

Langkah 11: Hitung *modulo* antara *Diff Supply* (DS) and *Diff_j* seperti pada persamaan (2.20) dan (2.21). Jika *modulo* sama dengan nol, maka ke langkah 12, jika tidak ke langkah 9.

$$DS = |SS-LS| \quad (2.20)$$

$$Modulo = \text{mod}(DS, Diff_j) \quad (2.21)$$

Langkah 12: Hitung biaya total FLR (TCFLR) seperti pada persamaan (2.22) and biaya total SLR (TCSLR) seperti pada persamaan (2.23). Jika TCFLR lebih besar daripada TCSLR maka ke langkah 9, jika tidak maka ke langkah 13.

$$TCFLR = \sum_{j=1}^n C_{1,j} \quad (2.22)$$

$$TCSLR = \sum_{j=1}^n C_{2,j} \quad (2.23)$$

Dimana $C_{1,j}$ adalah biaya pada FLR and $C_{2,j}$ adalah biaya pada SLR.

Langkah 13: Alokasikan maksimal unit X_{ij} dari SD ke SLC dan simpan sisanya di SD.

Langkah 14: Jika jumlah total unit pada SLR (TUSLR) pada baris i sama dengan *supply* SLR maka eliminasi SLR dan ganti status menjadi *satisfy* (berarti baris tersebut sudah terpenuhi kebutuhannya dan tidak akan diikutkan pada perhitungan berikutnya) kemudian ke langkah 18, jika TUSLR tidak sama dengan *supply* SLR maka ke langkah 18. TUSLR dihitung dengan menggunakan persamaan (2.24).

$$TUSLR = \sum_{j=1}^n X_{ij} \quad (2.24)$$

Langkah 15: Jika FLC tidak sama dengan SLC_j dan *Least Supply* (LS) sama dengan *Second Supply* (SS) maka ke langkah 9.

Langkah 16: Jika FLC sama dengan SLC maka hitung TCFLR and TCSLR. Jika TCFLR lebih besar daripada TCSLR maka ke langkah 9, jika tidak maka pindahkan semua unit X_{ij} dari FLC ke SLC. Ganti FLC dengan SLC dan SLC dengan SLC berikutnya.

Langkah 17: Lakukan langkah berikut pada saat TP adalah *unbalanced*.

Jika TP adalah *unbalanced*, maka cek status SLR

Jika status SLR adalah ER maka ke langkah 9, jika tidak
jika TUNFLR lebih besar dari *supply* LR maka ke langkah 13
Jika tidak ke langkah 9.

TUNFLR dihitung menggunakan persamaan (2.25).

$$TUNFLR = \sum_{j=1}^n X_{1,j} - \sum_{j=1}^n X_{2,j} \quad (2.25)$$

Dimana TUNLR adalah total unit saat ini pada FLR

$X_{1,j}$ adalah alokasi X_{ij} pada LR

$X_{2,j}$ adalah alokasi X_{ij} pada SR

Langkah 18: Jika hanya terdapat satu baris yang NS, maka alokasikan unit yang tersisa pada sel yang tepat dan hitung total biaya dari TP (TC) seperti pada persamaan (2.26), jika tidak maka ke langkah 19.

$$TC = \sum_{i=1}^m \sum_{j=1}^n C_{ij} X_{ij} \quad (2.26)$$

Langkah 19: Jika masih ada ER, maka ke langkah 4, jika tidak ke langkah 3.

2.11 Metode Evaluasi

Tiga pengukuran digunakan untuk mengevaluasi kinerja dari metode yang diusulkan, dua pengukuran dari jurnal JHM [1] dan satu pengukuran adalah akurasi. Pengukuran – pengukuran tersebut adalah sebagai berikut:

1. Pengukuran *Improvement percentage* (Ip) adalah ukuran persentase peningkatan kinerja metode yang diusulkan terhadap metode yang telah ada, di mana terdapat 3 nilai angka, yaitu angka positif, angka nol, dan angka negatif. Angka positif berarti ada persentase peningkatan metoda yang diusulkan (MU) terhadap metoda yang telah ada (MA), dengan kata lain bahwa total biaya MU lebih rendah dari pada

total biaya MA. Angka nol berarti tidak ada persentase peningkatan MU terhadap MA, dengan kata lain bahwa total biaya MU sama dengan total biaya MA. Angka negatif berarti tidak ada persentase peningkatan, tapi ada persentase penurunan MU terhadap MA, dengan kata lain bahwa total biaya MU lebih tinggi dari total biaya MA. Pengukuran *improvement percentage* (Ip) dirumuskan seperti pada persamaan 2.27.

$$Ip = \frac{MA - MU}{MA} \times 100 \quad (2.27)$$

2. Pengukuran *Deviation percentage* (Dv) adalah ukuran persen penyimpangan antara total biaya sebuah metode (Met) dengan total biaya solusi optimal (Op), di mana terdapat 2 nilai angka, yaitu angka positif dan angka nol. Angka positif berarti ada penyimpangan dari Met terhadap Op, dengan kata lain bahwa total biaya Met lebih tinggi dari Op. Angka nol berarti tidak ada penyimpangan dari metode Met terhadap Op, dengan kata lain bahwa total biaya Met sama dengan Op. Pengukuran *deviation percentage* (Dv) dirumuskan seperti pada persamaan 2.28.

$$Dv = \frac{Met - Op}{Op} \times 100 \quad (2.28)$$

3. Pengukuran Akurasi (Ak) adalah persen jumlah total data yang mencapai solusi optimal terhadap jumlah total data yang ada, seperti pada persamaan 2.29.

$$Ak = \frac{Jumlah_total_data_yang_mencapai_solusi_optimal}{Jumlah_total_data} \times 100 \quad (2.29)$$

[Halaman ini sengaja dikosongkan]

BAB III ANALISIS DAN PERANCANGAN SISTEM

Bab ini akan menjelaskan tentang analisis dan perancangan sistem untuk mencapai tujuan dari tugas akhir. Perancangan ini meliputi hal-hal yang akan dimodifikasi pada algoritma IAM-PV.

3.1 Analisis Algoritma IAM-PV

Untuk menganalisis algoritma IAM-PV, akan dijelaskan tahap pengerjaan algoritma tersebut dengan menggunakan 1 data yang diambil dari 34 data berbagai jurnal. Data yang diambil merupakan urutan data ke-15 berasal dari jurnal Uddin dengan ukuran 3 x 4. Berikut adalah tabel solusi optimal data jurnal ke-15 [5], yang akan dijadikan acuan hasil terbaik. Solusi optimal ini diperoleh dari *tools* ToraSystem.

Tabel 3. 1 Tabel Solusi Optimal Data Jurnal ke-15

	D1	D2	D3	D4	Supply
S1	19 <u>5</u>	30 0	50 0	12 <u>2</u>	7
S2	70 0	30 <u>3</u>	40 <u>7</u>	60 0	
S3	40 0	10 <u>5</u>	60 0	20 <u>13</u>	
Demand	5	8	7	15	

Dari tabel diatas, didapatkan total biaya solusi optimal yang perhitungannya adalah sebagai berikut :

$$\begin{aligned}
 \text{Total Biaya} &= (19 \times 5) + (12 \times 2) + (30 \times 3) + (40 \times 7) + \\
 &\quad (10 \times 5) + (20 \times 13) \\
 &= 799
 \end{aligned}$$

Selanjutnya, data yang sama akan diproses sesuai dengan langkah-langkah algoritma IAM-PV seperti yang dijelaskan pada

sub-bab 2.7 **Error! Reference source not found.** Langkah-langkah pada algoritma IAM-PV adalah sebagai berikut :

Langkah 1 Hitung *row priority value* (RPV) dan *column priority value* (CPV) semua *cell*, seperti yang ditunjukkan pada **Tabel 3. 2**.

Langkah 2 Cari *cell* dengan *priority value* terbesar (X) dari semua *cell*. X = 90 pada *cell* (3,2).

Langkah 3 Alokasikan sebanyak mungkin pada *cell* X. Alokasi 8 unit pada *cell* (3,2), seperti yang tunjukan pada **Tabel 3. 3**.

Langkah 4 Hitung kembali jumlah *supply* dan *demand*. Perhatikan kembali jumlah *supply* dan *demand*. *Demand* sudah *satisfy* maka dieliminasi. *Supply* belum *satisfy*, masih tersisa 10 unit. *Cell* selanjutnya dengan *priority value* terbesar (X) di baris sama adalah 50 pada *cell* (3,4).

Langkah 3 Alokasikan sebanyak mungkin pada *cell* X. Alokasi 10 unit pada *cell* (3,4), seperti yang tunjukan pada **Tabel 3. 3**.

Langkah 4 Hitung kembali jumlah *supply* dan *demand*. Perhatikan kembali jumlah *supply* dan *demand*. *Supply* dan *demand* sudah *satisfy*, maka lanjut ke langkah 1.

Tabel 3. 2 Perhitungan RPV dan CPV

		D1	D2	D3	D4
S1	RPV	35	-9	-89	63
	CPV	72	-20	0	56
S2	RPV	-80	80	40	-40
	CPV	-81	-20	30	-88
S3	RPV	-30	90	-110	50
	CPV	9	40	-30	32

Tabel 3. 3 Iterasi Pertama Algoritma IAM-PV

	D1	D2	D3	D4	Supply	
S1	19	30	0	50	12	7
S2	70	30	0	40	60	
S3	40	10	0	60	20	
Demand	5	8	8	0	10	18
	5	8	7	15		

Pada iterasi pertama, hasil pengalokasian unit yang sudah dilakukan terlihat berbeda dengan solusi optimal. Alokasi pada cell (3,2) pada solusi optimal hanya sebesar 5 unit, sedangkan IAM-V melakukan alokasi sebanyak 8 unit. Hal ini tentu akan berpengaruh besar pada total biaya yang dihasilkan, sehingga algoritma IAM-PV belum mencapai hasil optimal. Hasil akhir dari algoritma IAM-PV pada data ini sebesar 859, dapat dilihat pada **Tabel 5. 6**. Oleh karena itu, pada sub-bab ini dapat disimpulkan bahwa algoritma IAM-PV masih belum efektif. Maka untuk memperbaiki ini, matriks awal yang dipakai adalah matrix TOCM, bukan matriks awal biasa.

3.2 Total Opportunity Cost Matrix – Priority Value (TOCM-PV)

TOCM-PV adalah gabungan dari *Total Opportunity Cost Matrix* (TOCM) dan IAM-PV. TOCM-PV mengubah matriks orisinal awal menjadi matriks TOCM. Kemudian matriks TOCM tersebut akan diproses dengan cara menghitung *row priority value* dan *column priority value*, lalu mencari *priority value* terbesar dari seluruh *cell*, sama seperti algoritma IAM-PV. Setelah pengalokasian menggunakan algoritma IAM-PV selesai, maka hitung biaya penalty dengan menggunakan matriks orisinal.

Tujuan diubahnya matriks orisinal menjadi matriks TOCM adalah agar setiap nilai yang ada dalam *cell* akan semakin jelas, dimana *cell* kecil akan terlihat makin kecil dan *cell* besar akan

bernilai lebih besar, sehingga hal ini mendukung proses pengalokasian dengan metode IAM-PV mendapatkan hasil yang optimal.

Semakin besar nilai *priority value* pada matriks tersebut maka semakin penting pula *cell* tersebut dialokasikan terlebih dahulu. Secara garis besar, langkah-langkah pada algoritma TOCM-PV adalah sebagai berikut :

Langkah 1: Buatlah matriks orisinal transportasi awal dengan ukuran matriks $m \times n$. Jika total *supply* tidak sama dengan total *demand*, maka tambahkan *dummy* baris atau kolom.

Langkah 2: Buatlah matriks *row opportunity cost* dari matriks orisinal TP dengan cara mengurangi setiap biaya dengan biaya terkecil pada baris tersebut.

Langkah 3: Buatlah matriks *column opportunity cost* dari matriks orisinal TP dengan cara mengurangi setiap biaya dengan biaya terkecil pada kolom tersebut.

Langkah 4: Buatlah matriks TOCM dimana entri nya adalah penjumlahan dari matriks *row opportunity cost* dan *column opportunity cost*.

Langkah 5: Hitung *Row Priority Value* (RPV) dan *Column Priority Value* (CPV) semua *cell* yang masih kosong, seperti yang ditunjukkan pada persamaan (3. 1) dan (3. 2). Apabila semua *cell* telah terisi maka lanjut ke langkah 9.

$$RPV(x,y) = \sum_{j=1}^n cost(x,j) - n * cost(x,y) \quad (3. 1)$$

$$CPV(x,y) = \sum_{i=1}^m cost(i,y) - m * cost(x,y) \quad (3. 2)$$

x,y = koordinat *cell*

n = banyaknya jumlah *demand*

m = banyaknya jumlah *supply*

Langkah 6: Cari *cell* dengan *priority value* terbesar dari semua *cell*. Untuk selanjutnya *cell* ini dinamakan dengan *cell X*.

Langkah 7: Alokasikan sebanyak mungkin pada *cell X*

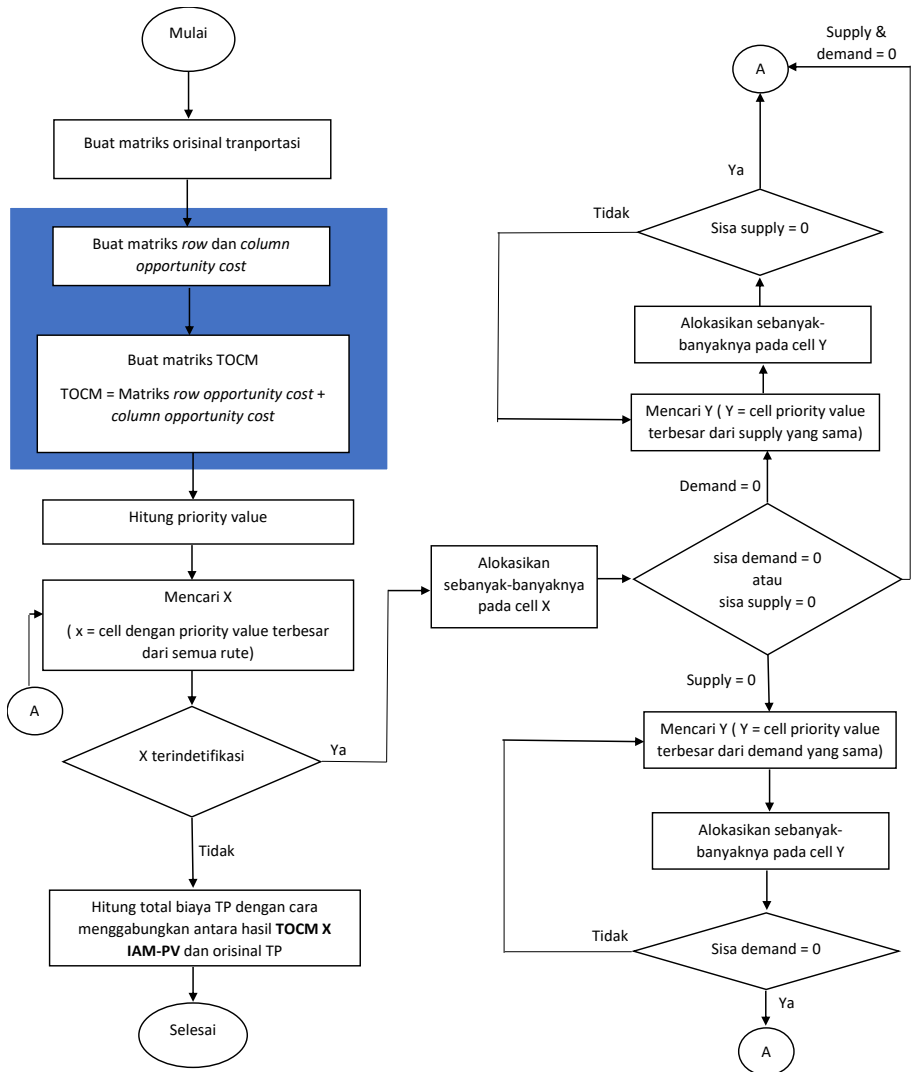
Langkah 8: Perbarui jumlah *supply* dan *demand* yang tersisa setelah mengalokasikan *cell X*. Eliminasi *supply* atau *demand* yang sudah *satisfy*, kemudian lakukan langkah dengan memperhatikan percabangan sebagai berikut:

- i. Apabila jumlah *demand* dan *supply* keduanya habis atau *satisfy*, maka kembali ke langkah 5
- ii. Apabila *supply* belum *satisfy*, cari *cell* selanjutnya dengan *priority value* terbesar (X) pada baris yang sama, kemudian kembali ke langkah 7
- iii. Apabila semua *supply* dan *demand* sudah *satisfy*, lanjutkan ke langkah 9

Langkah 9: Terakhir, hitung total biaya TP (TCTP) dengan cara menggabungkan antara hasil TOCM-PV dan orisinal TP, seperti pada persamaan (3.3).

$$TCTP = \sum_{i=1}^m \sum_{j=1}^n C_{ij} X_{ij} \quad (3.3)$$

Flowchart algoritma TOCM-PV dapat dilihat pada *Gambar 3. 1*. Berikut ini adalah contoh penerapan algoritma TOCM-PV terhadap data jurnal ke-15 [5].



Gambar 3. 1 Flowchart Algoritma TOCM-PV

Tabel 3. 4 Matriks Orisinal Data Jurnal ke-15

	D1	D2	D3	D4	Supply
S1	19	30	50	12	7
S2	70	30	40	60	10
S3	40	10	60	20	18
Demand	5	8	7	15	

Tabel 3. 5 Matriks TOCM Data Jurnal ke-15

	D1	D2	D3	D4	Supply
S1	7	38	48	0	7
S2	91	20	10	78	10
S3	51	0	70	28	18
Demand	5	8	7	15	

Iterasi Pertama

Langkah 5: Hitung RPV dan CPV semua *cell*, seperti yang ditunjukkan pada **Tabel 3. 6**.

$$\text{Contoh} \quad \text{RPV}(2,3) = (91 + 20 + 10 + 78) - 4 * 10 = 159$$

$$\text{CPV}(1,2) = (38 + 20 + 0) - 3 * 38 = -56$$

Langkah 6: Cari *cell* dengan *priority value* terbesar (X) dari semua *cell*. X = 159 pada *cell* (2,3).

Langkah 7: Alokasikan sebanyak mungkin pada *cell* X. Alokasi 7 unit pada *cell* (2,3), seperti yang ditunjukkan pada **Tabel 3. 7**

Langkah 8: Hitung kembali jumlah *supply* dan *demand*. Perhatikan kembali jumlah *supply* dan *demand*.

Apabila *supply* belum satisfy, cari *cell* selanjutnya dengan *priority value* terbesar (X) pada baris yang sama, kemudian kembali ke Langkah 7.

Supply belum *satisfy*, masih tersisa 3 unit. *Cell* selanjutnya dengan *priority value* terbesar (X) di baris yang sama adalah 119 pada *cell* (2,2).

Langkah 7: Alokasikan sebanyak mungkin pada *cell* X. Alokasi 3 unit pada *cell* (2,2) seperti yang ditunjukkan pada **Tabel 3. 7**.

Langkah 8: Hitung kembali jumlah *supply* dan *demand*. Perhatikan kembali jumlah *supply* dan *demand*.

Supply dan *demand* sudah *satisfy* keduanya, lanjut ke langkah 5.

Tabel 3. 6 Perhitungan RPV dan CPV pada Semua *Cell*

		D1	D2	D3	D4
S1	RPV	65	-59	-99	93
	CPV	128	-56	-16	96
S2	RPV	-165	119	159	-113
	CPV	-124	-2	98	-138
S3	RPV	-65	139	-141	67
	CPV	-4	58	-82	42

Tabel 3. 7 Iterasi Pertama

	D1	D2	D3	D4	<i>Supply</i>				
S1	7	38	48	0	0	7			
S2	91	0	20	<u>3</u>	10	<u>7</u>	78	0	10
S3	51	0	70	0	28	18			
<i>Demand</i>	5	8	7	15					

Iterasi Kedua

Langkah 5: Hitung RPV dan CPV semua *cell*, seperti yang tunjukkan pada **Tabel 3. 8**

Contoh
$$\text{RPV}(1,2) = (7 + 38 + 0) - 3 * 38 = -69$$

$$\text{CPV}(3,2) = (38 + 0) - 2 * 0 = 38.$$

Langkah 6: Cari *cell* dengan *priority value* terbesar (X) dari semua *cell*. X= 69 pada *cell* (3,2).

Langkah 7: Alokasikan sebanyak mungkin pada *cell* X. Alokasi 5 unit pada *cell* (3,2), seperti yang ditunjukkan pada **Tabel 3. 9**.

Langkah 8: Hitung kembali jumlah *supply* dan *demand*. Perhatikan kembali jumlah *supply* dan *demand*.

Apabila *supply* belum *satisfy*, cari *cell* selanjutnya dengan *priority value* terbesar (X) pada baris yang sama, kemudian kembali ke Langkah 7.

Supply belum *satisfy*, masih tersisa 13 unit. *Cell* selanjutnya dengan *priority value* terbesar (X) di baris yang sama adalah 15 pada *cell* (3,4).

Langkah 7: Alokasikan sebanyak mungkin pada *cell* X. Alokasi 13 unit pada *cell* (3,4) seperti yang ditunjukkan pada **Tabel 3. 9**.

Langkah 8: Hitung kembali jumlah *supply* dan *demand*. Perhatikan kembali jumlah *supply* dan *demand*.

Supply dan *demand* keduanya sudah *satisfy*, lanjut ke langkah 5.

Tabel 3. 8 Perhitungan RPV dan CPV pada Iterasi Kedua

		D1	D2	D3	D4
S1	RPV	24	-69		45
	CPV	44	-38		18
S2	RPV				
	CPV				
S3	RPV	-84	69		15
	CPV	-44	38		-18

Tabel 3. 9 Iterasi Kedua.

	D1	D2		D3		D4		Supply	
S1	7	38	0	48	0	0	7		
S2	91	0	20	<u>3</u>	10	<u>7</u>	78	0	10
S3	51	0	0	<u>5</u>	70	0	28	<u>13</u>	18
<i>Demand</i>	5	8		7		15			

Iterasi ketiga

Langkah 5: Hitung RPV dan CPV semua cell, seperti yang ditunjukkan pada **Tabel 3. 10**.

Contoh $RPV(1,1) = (7 + 0) - 2 * 7 = -7$

$RPV(1,4) = (7 + 0) - 2 * 0 = 7$.

Langkah 6: Cari cell dengan *priority value* terbesar (X) dari semua cell. X= 7 pada cell (1,4).

Langkah 7: Alokasikan sebanyak mungkin pada cell X. Alokasi 2 unit pada cell (1,4), seperti yang ditunjukkan pada **Tabel 3. 11**.

Langkah 8: Hitung kembali jumlah *supply* dan *demand*. Perhatikan kembali jumlah *supply* dan *demand*.

Apabila *supply* belum satisfy, cari cell selanjutnya dengan *priority value* terbesar (X) pada baris yang sama, kemudian kembali ke Langkah 7.

Supply belum satisfy, masih tersisa 5 unit. Cell selanjutnya dengan *priority value* terbesar (X) di baris yang sama adalah 0 pada cell (1,1).

Langkah 7: Alokasikan sebanyak mungkin pada cell X. Alokasi 5 unit pada cell (1,1) seperti yang ditunjukkan pada **Tabel 3. 11**.

Langkah 8: Hitung kembali jumlah *supply* dan *demand*. Perhatikan kembali jumlah *supply* dan *demand*.

Jika semua *supply* dan *demand* sudah satisfy, lanjut ke langkah 9.

Tabel 3. 10 Perhitungan RPV dan CPV pada Iterasi Ketiga

		D1	D2	D3	D4
S1	RPV	-7			7
	CPV	0			0

Tabel 3. 11 Iterasi Ketiga

	D1	D2	D3	D4	Supply
S1	7 <u>5</u>	38 0	48 0	0 <u>2</u>	7
S2	91 0	20 <u>3</u>	10 <u>7</u>	78 0	10
S3	51 0	0 <u>5</u>	70 0	28 <u>13</u>	18
Demand	5	8	7	15	

Langkah 9: Hitung total biaya TP (TCTP) dengan cara menggabungkan antara hasil penalti TOCM-PV dan orisinal TP, seperti yang ditunjukkan pada **Tabel 3. 12**. Total biaya adalah $19 \times 5 + (12 \times 2) + (30 \times 3) + (40 \times 7) + (10 \times 5) + (20 \times 13) = 799$, dan ini merupakan solusi optimal.

Tabel 3. 12 Hasil Akhir TOCM-PV pada Data Jurnal ke-15

	D1	D2	D3	D4	Supply
S1	19 <u>5</u>	30 0	50 0	12 <u>2</u>	7
S2	70 0	30 <u>3</u>	40 <u>7</u>	60 0	10
S3	40 0	10 <u>5</u>	60 0	20 <u>13</u>	18
Demand	5	8	7	15	

[Halaman ini sengaja dikosongkan]

BAB IV IMPLEMENTASI

Bab ini membahas implementasi dari perancangan sistem sesuai dengan perancangan yang telah dibuat. Bahasa pemrograman yang digunakan untuk implementasi sistem adalah bahasa pemrograman C.

4.1 Lingkungan Implementasi

Lingkungan implementasi dalam pembuatan tugas akhir ini meliputi perangkat keras dan perangkat lunak yang memiliki spesifikasi seperti yang ditunjukkan oleh Tabel 4. 1.

Tabel 4. 1 Spesifikasi Perangkat

Perangkat	Spesifikasi
Perangkat Keras	<ul style="list-style-type: none"> • Prosesor: Intel® Core™ i7-4720 CPU @ 2.60GHz (8 CPUs), ~2.6GHz • Memori: 4096MB
Perangkat Lunak	<ul style="list-style-type: none"> • Sistem Operasi Microsoft Windows 10 Pro 64-bit • Perangkat Pengembang Dev C++ 5.11 • Perangkat Pembantu Notepad, Microsoft Office 365, Snipping Tools

4.2 Implementasi Algoritma TOCM-PV

Implementasi proses dilakukan berdasarkan perancangan proses yang dijelaskan pada bab analisis dan perancangan. Algoritma yang akan diimplementasikan adalah algoritma TOCM-PV. Algoritma TOCM-PV akan diimplementasikan dalam bentuk program berbahasa C dengan menggunakan *tools* Dev-C++ 5.11.

4.2.1. Implementasi Tahap Mengubah Matriks Orisinal

Bagian ini membahas implementasi algoritma TOCM-PV pada tahapan mengubah matriks orisinal menjadi matriks matriks TOCM dengan cara menjumlahkan antara matriks *row opportunity cost* dan matriks *coloum opportunity cost*. Implementasi pada Kode Sumber 4. 1 menunjukkan matriks *row opportunity cost* didapat dengan cara mengurangi setiap baris dari orisinal matriks dengan biaya terkecil pada baris tersebut. Sedangkan matriks *column opportunity cost* didapat dengan cara mengurangi setiap kolom dari orisinal matriks dengan biaya terkecil pada kolom.

```

1. printf("\n\n(Tabel Awal)");
2. printf("\n-----\n\n");
3. for(p=0;p<jumlah_supply;p++)
4. {
5.     for(q=0;q<jumlah_demand;q++)
6.     {
7.         if(allocation[p][q]==-1)
8.             printf("%d\t",cost[p][q]);
9.         else printf("%d\t",allocation[p][q]);
10.    }
11.    printf("| %d\n",supply[p]);
12. }
13.
14.
15. // mencari cost terkecil tiap baris
16. int h_min[jumlah_supply];
17. for(i=0;i<jumlah_supply;i++)
18. {
19.     h_min[i]=99999;
20.     for(j=0;j<jumlah_demand;j++)
21.     {
22.         if(cost[i][j]<h_min[i]) h_min[i]=cost[i][j]
23.     ;
24.     }
25. }
26. // mencari cost terkecil tiap kolom
27. int v_min[jumlah_demand];

```

```

28. for(j=0;j<jumlah_demand;j++)
29. {
30.     v_min[j]=99999;
31.     for(i=0;i<jumlah_supply;i++)
32.     {
33.         if(cost[i][j]<v_min[j]) v_min[j]=cost[i][j]
34.     ;
34.     }
35. }
36.
37.
38. printf("\n\n(Tabel Pengurangan Baris)");
39. printf("\n-----
---\n");
40. // menentukan h_cost
41. for(i=0;i<jumlah_supply;i++)
42. {
43.     for(j=0;j<jumlah_demand;j++)
44.     {
45.         h_cost[i][j]=cost[i][j]-h_min[i];
46.         printf("%d\t",h_cost[i][j]);
47.     }
48.     printf("| %d\n",supply[i]);
49. }
50.
51.
52. printf("\n\n(Tabel Pengurangan Kolom)");
53. printf("\n-----
---\n");
54. // menentukan v_cost
55. for(i=0;i<jumlah_supply;i++)
56. {
57.     for(j=0;j<jumlah_demand;j++)
58.     {
59.         v_cost[i][j]=cost[i][j]-v_min[j];
60.         printf("%d\t",v_cost[i][j]);
61.     }
62.     printf("| %d\n",supply[i]);
63. }
64.
65.
66. // menghitung matrix TOCM
67. for(i=0;i<jumlah_supply;i++)

```

```

68. {
69.     for(j=0;j<jumlah_demand;j++)
70.     {
71.         tocm_cost[i][j]=v_cost[i][j]+h_cost[i][j];
72.     }
73. }
74.
75. // print matrix TOCM
76. printf("\n\n\n");
77. printf("Matrix Akhir TOCM");
78. printf("\n-----\n");
79. for(i=0;i<jumlah_supply;i++)
80. {
81.     for(j=0;j<jumlah_demand;j++)
82.     {
83.         printf("%d\t", tocm_cost[i][j]);
84.     }
85.     printf("\n");
86. }

```

Kode Sumber 4. 1 Implementasi Tahap Mengubah Matriks Orisinal

4.2.2. Implementasi Tahap Menghitung *Priority Value*

Bagian ini membahas implementasi algoritma TOCM-PV pada tahapan menghitung *Row Priority Value* (RPV) dan *Column Priority Value* (CPV). Implementasi pada Kode Sumber 4. 2 menunjukkan pengimplementasian dari algoritma TOCM-PV pada tahap menghitung *Priority Value*.

```

1. for(j=0;j<jumlah_demand;j++)
2. {
3.     int sum=0;
4.     for(i=0;i<jumlah_supply;i++)

```

```

5.         {if(allocation[i][j]==-1)
sum+=cost[i][j]}
6.         for(i=0;i<jumlah_supply;i++)
7.             {if(allocation[i][j]==-1)
8.                 {v_cost[i][j]=sum-
cost[i][j]*(jumlah_supply - supply_satisfy)}}
9.     }
10.
11. for(i=0;i<jumlah_supply;i++)
12. {
13.     int sum=0;
14.     for(j=0;j<jumlah_demand;j++)
15.         {if(allocation[i][j]==-
1) sum+=cost[i][j]);}
16.     for(j=0;j<jumlah_demand;j++)
17.         {if(allocation[i][j]==-1)
18.             h_cost[i][j]=sum-
cost[i][j]*(jumlah_demand - demand_satisfy)}}
19. }

```

Kode Sumber 4. 2 Implementasi Tahap Menghitung *Priority Value*

4.2.3. Implementasi Tahap Memilih *Priority Value*

Bagian ini membahas implementasi algoritma TOCM-PV pada tahapan memilih *Priority Value* terbesar. Implementasi pada Kode Sumber 4. 3 menunjukkan implementasi dari algoritma TOCM-PV pada tahap memilih *Priority Value* terbesar.

```

1. int max_penalty=-100000;
2. int max_penalty_i, max_penalty_j=-1;
3. for(i=0;i<jumlah_supply;i++)
4. {
5.     for(j=0;j<jumlah_demand;j++)
6.     {
7.         if(v_cost[i][j]>max_penalty && allocation
[i][j]==-1)
8.         {

```

```

9.             max_penalty=v_cost[i][j];
10.            max_penalty_i=i;
11.            max_penalty_j=j;
12.        }
13.
14.        if(h_cost[i][j]>max_penalty && allocation
    [i][j]==-1)
15.        {
16.            max_penalty=h_cost[i][j];
17.            max_penalty_i=i;
18.            max_penalty_j=j;
19.        }
20.    }
21.}

```

Kode Sumber 4. 3 Implementasi Tahap Mencari *Priority Value* Terbesar

4.2.4. Implementasi Tahap Alokasi *Supply Demand* Habis

Bagian ini membahas implementasi algoritma TOCM-PV pada tahapan alokasi. Implementasi pada Kode Sumber 4. 4. menunjukkan implementasi dari algoritma TOCM-PV pada tahap pengalokasian pada kondisi *supply* dan *demand* habis.

```

1. if(supply[max_penalty_i]==demand[max_penalty_j])
2. {
3.     allocation[max_penalty_i][max_penalty_j]=
    demand[max_penalty_j];
4.     supply[max_penalty_i]=0;
5.     demand[max_penalty_j]= 0;
6.     for(i=0;i<jumlah_supply;i++)
7.         if(allocation[i][max_penalty_j]==-1)
8.             allocation[i][max_penalty_j]=0;
9.     for(j=0;j<jumlah_demand;j++)
10.        if(allocation[max_penalty_i][j]==-1)
11.            allocation[max_penalty_i][j]=0;
12.    supply_satisfy++;
13.    demand_satisfy++;

```

```
14. }
```

Kode Sumber 4.4 Implementasi Tahap Alokasi *Supply Demand* Habis

4.2.5. Implementasi Tahap Alokasi *Supply* Habis

Bagian ini membahas implementasi algoritma TOCM-PV pada tahapan alokasi. Implementasi pada Kode Sumber 4.5 menunjukkan pengimplementasian dari algoritma TOCM-PV pada tahap pengalokasian dalam kondisi *supply* habis.

```

1. if(supply[max_penalty_i]<demand[max_penalty_j])
2. {
3.     allocation[max_penalty_i][max_penalty_j]= sup
4.     ply[max_penalty_i];
5.     demand[max_penalty_j]-=
6.     supply[max_penalty_i];
7.     supply[max_penalty_i]= 0;
8.     for(j=0;j<jumlah_demand;j++)
9.         if(allocation[max_penalty_i][j]==-1)
10.             allocation[max_penalty_i][j]=0;
11.     supply_satisfy++;
12. }
13. while(demand[max_penalty_j]>0)
14. {
15.     int next_penalty=-100000;
16.     int next_penalty_i=-1;
17.     for(i=0;i<jumlah_supply;i++)
18.     {
19.         if(v_cost[i][max_penalty_j]>next_penalty
20.         && allocation[i][max_penalty_j]==-1)
21.             next_penalty= v_cost[i][max_penalty_j];
22.             next_penalty_i=i;
23.         if(h_cost[i][max_penalty_j]>next_penalty
24.         && allocation[i][max_penalty_j]==-1)
25.             next_penalty= h_cost[i][max_penalty_j];
26.             next_penalty_i=i;

```



```

54.         for(j=0;j<jumlah_demand;j++)
55.         if(allocation[next_penalty_i][j]==-1)
56.             allocation[next_penalty_i][j]=0;

57.             supply_satisfy++;
58.             demand_satisfy++;
59.         }
60.     }
61. }

```

Kode Sumber 4. 5 Implementasi Tahap Alokasi Supply Habis

4.2.6. Implementasi Tahap Alokasi *Demand* Habis

Bagian ini membahas implementasi algoritma TOCM-PV pada tahapan alokasi. Implementasi pada Kode Sumber 4. 6 menunjukkan pengimplementasian dari algoritma TOCM-PV pada tahap pengalokasian dalam kondisi *demand* habis.

```

1. if(supply[max_penalty_i]>demand[max_penalty_j])
2. {
3.     allocation[max_penalty_i][max_penalty_j]=
demand[max_penalty_j];
4.     supply[max_penalty_i]-=
demand[max_penalty_j];
5.     demand[max_penalty_j]= 0;
6.     for(i=0;i<jumlah_supply;i++)
7.         if(allocation[i][max_penalty_j]==1)
8.             allocation[i][max_penalty_j]=0;
9.     demand_satisfy++;
10.
11.     while(supply[max_penalty_i]>0)
12.     {
13.         int next_penalty=-100000;
14.         int next_penalty_j=-1;
15.         for(j=0;j<jumlah_demand;j++)
16.         {
17.             if(v_cost[max_penalty_i][j]>
next_penalty&&allocation[max_penalty_i][j]==-1)

```

```
18.         next_penalty=v_cost[max_penalty_i][j];
19.         next_penalty_j=j;
20.
21.         if(h_cost[max_penalty_i][j]>
next_penalty&&allocation[max_penalty_i][j]==-1)
22.             next_penalty=h_cost[max_penalty_i][j];
23.             next_penalty_j=j;
24.         }
25.
26.         if(supply[max_penalty_i]>
demand[next_penalty_j])
27.         {
28.             allocation[max_penalty_i][next_penalty_j]
=demand[next_penalty_j];
29.             supply[max_penalty_i]-
=demand[next_penalty_j];
30.             demand[next_penalty_j]= 0;
31.             for(i=0;i<jumlah_supply;i++)
32.                 if(allocation[i][next_penalty_j]==-1)
33.                     allocation[i][next_penalty_j]=0;
34.             demand_satisfy++;
35.         }
36.         else if(supply[max_penalty_i]<
demand[next_penalty_j])
37.         {
38.             allocation[max_penalty_i][next_penalty_j]
=supply[max_penalty_i];
39.             demand[next_penalty_j]-
=supply[max_penalty_i];
40.             supply[max_penalty_i]= 0;
41.             for(j=0;j<jumlah_demand;j++)
42.                 if(allocation[max_penalty_i][j]==-1)
43.                     allocation[max_penalty_i][j]=0;
44.             supply_satisfy++;
45.         }
46.         else if(supply[max_penalty_i]==demand
[next_penalty_j])
47.         {
```

```

48.     allocation[max_penalty_i][next_penalty_j]
      =supply[max_penalty_i];
49.     demand[next_penalty_j]=0;
50.     supply[max_penalty_i]= 0;
51.     for(i=0;i<jumlah_supply;i++)
52.     if(allocation[i][next_penalty_j]==-1)
53.         allocation[i][next_penalty_j]=0;
54.     for(j=0;j<jumlah_demand;j++)
55.         if(allocation[max_penalty_i][j]==-1)
56.             allocation[max_penalty_i][j]=0;
57.     supply_satisfy++;
58.     demand_satisfy++;
59.     }
60. }
61. }

```

Kode Sumber 4. 6 Implementasi Tahap Alokasi *Demand* Habis

4.2.7. Implementasi Tahap Menghitung Total Cost

Bagian ini membahas implementasi algoritma TOCM-PV pada tahapan akhir yaitu menghitung *total cost*. *Total cost* sendiri dengan cara menggabungkan antara hasil penalti TOCM-PV dan orisinal TP. Implementasi pada Kode Sumber 4. 7 menunjukkan pengimplementasian dari algoritma TOCM-PV pada tahap menghitung *total cost*.

```

1. int result=0;
2. for(i=0;i<jumlah_supply;i++)
3. {
4.     for(j=0;j<jumlah_demand;j++)
5.         result+=(allocation[i][j]*cost[i][j]);
6. }

```

Kode Sumber 4. 7 Implementasi Tahap Menghitung *Total Cost*

[Halaman ini sengaja dikosongkan]

BAB V PENGUJIAN DAN EVALUASI

Bab ini membahas uji coba dan evaluasi terhadap algoritma TOCM-PV yang telah dikembangkan.

5.1 Lingkungan Pengujian

Lingkungan pengujian sistem pada tugas akhir ini adalah sebagai berikut:

Prosesor	: Intel® Core™ i7-4720 CPU @ 2.60GHz (8 CPUs), ~2.6GHz
RAM	: 4096 MB
Jenis <i>Device</i>	: Laptop
Sistem Operasi	: Microsoft Windows 10 Pro 64-bit

5.2 Data Uji Coba

Data yang digunakan untuk uji coba algoritma TOCM-PV adalah *85 Problem Set Transportation Problem* yang terdiri dari :

1. Data sintesis sebanyak 15 set data. Detail dari *cost*, *supply*, dan *demand* dapat dilihat pada Lampiran A.
2. Data dari beberapa jurnal sebanyak 34 set data dapat dilihat pada Tabel 5. 1.
3. Data real dari perusahaan XYZ sebanyak 36 set data. Perusahaan XYZ terletak di pulau jawa dan mendistribusikan produknya ke kota-kota yang ada di pulau Jawa. Perusahaan XYZ terdiri dari 2 pabrik yang berfungsi sebagai *supply* dan 94 kota yang berfungsi sebagai *demand*. Data biaya adalah data *cycle time* (waktu yang diperlukan oleh truk berangkat dari pabrik ke kota tujuan dan kembali ke pabrik lagi dalam satuan jam). Detail dari *supply* dan *demand* untuk 36 set data dapat dilihat pada Lampiran B. Data biaya untuk semua data adalah sama yaitu :
 - *Cycle time* dari pabrik pertama ke 94 kota adalah 22 38 32 17 31 15 23 25 25 20 33 30 18 12 23 18 26 20 15 18 15 25 28 23 16 18 21 28 20 20 25 18 18 18 25 27 21 25 23 26 33 38 29 17

38 17 39 39 22 22 35 25 28 31 33 20 36 31 23 27 25 35 30 31
 28 27 28 30 27 54 43 52 56 46 59 53 40 58 44 51 40 43 45 49
 48 57 46 46 60 61 66 59 55 56.

- *Cycle time* dari pabrik kedua ke 94 kota adalah 26 41 36 21 35
 20 27 30 28 25 38 34 23 15 20 15 23 18 14 17 13 23 25 25 17
 23 23 33 18 19 28 23 20 18 25 31 20 25 25 23 39 36 28 12 33
 14 38 38 20 28 33 28 26 28 31 17 38 30 30 25 22 33 26 29 31
 34 28 33 31 49 38 49 52 43 56 49 36 54 40 46 36 39 41 46 44
 54 41 43 57 57 62 55 52 51.

Tabel 5. 1 Tiga Puluh Empat Data Dari Beberapa Referensi.

Data 1 : [22] → nilai optimal → 880 $[C_{ij}]_{3 \times 4} = [3 \ 6 \ 3 \ 4; 6 \ 5 \ 11 \ 15; 1 \ 3 \ 10 \ 5]$ $[S_i]_{3 \times 1} = [80, 90, 55]$ $[D_j]_{1 \times 4} = [70, 60, 35, 60]$	Data 2 : [23] → 1.650 $[C_{ij}]_{3 \times 3} = [6 \ 10 \ 14; 12 \ 19 \ 21; 15 \ 14 \ 17]$ $[S_i]_{3 \times 1} = [50, 50, 50]$ $[D_j]_{1 \times 3} = [30, 40, 55]$
Data 3 : [17] → 743 $[C_{ij}]_{3 \times 4} = [19 \ 30 \ 50 \ 10; 70 \ 30 \ 40 \ 60; 40 \ 8 \ 70 \ 20]$ $[S_i]_{3 \times 1} = [7, 9, 18]$ $[D_j]_{1 \times 4} = [5, 8, 7, 14]$	Data 4 : [24] → 5.600 $[C_{ij}]_{3 \times 3} = [32 \ 40 \ 120; 60 \ 68 \ 104; 200 \ 80 \ 60]$ $[S_i]_{3 \times 1} = [20, 30, 45]$ $[D_j]_{1 \times 3} = [30, 35, 30]$
Data 5 : [25] → 840 $[C_{ij}]_{4 \times 3} = [3 \ 4 \ 6; 7 \ 3 \ 8; 6 \ 4 \ 5; 7 \ 5 \ 2]$ $[S_i]_{4 \times 1} = [100, 80, 90, 120]$ $[D_j]_{1 \times 3} = [110, 110, 60]$	Data 6 : [26] → 59 $[C_{ij}]_{3 \times 4} = [3 \ 6 \ 1 \ 5; 7 \ 9 \ 2 \ 7; 2 \ 4 \ 2 \ 1]$ $[S_i]_{3 \times 1} = [6, 6, 6]$ $[D_j]_{1 \times 4} = [4, 5, 4, 5]$
Data 7 : [27] → 28 $[C_{ij}]_{3 \times 4} = [1 \ 2 \ 3 \ 4; 4 \ 3 \ 2 \ 0; 0 \ 2 \ 2 \ 1]$ $[S_i]_{3 \times 1} = [6, 8, 10]$ $[D_j]_{1 \times 4} = [4, 6, 8, 6]$	Data 8 : [28] → 435 $[C_{ij}]_{3 \times 4} = [10 \ 2 \ 20 \ 11; 12 \ 7 \ 9 \ 20; 4 \ 14 \ 16 \ 18]$ $[S_i]_{3 \times 1} = [15, 25, 10]$ $[D_j]_{1 \times 4} = [5, 15, 15, 15]$
Data 9 : [29] → 390 $[C_{ij}]_{4 \times 5} = [2 \ 1 \ 3 \ 2 \ 2; 3 \ 2 \ 1 \ 1 \ 1; 5 \ 4 \ 2 \ 1 \ 3; 7 \ 5 \ 5 \ 3 \ 1]$ $[S_i]_{4 \times 1} = [20, 70, 30, 60]$	Data 10 : [18] → 1.580 $[C_{ij}]_{3 \times 5} = [6 \ 4 \ 4 \ 7 \ 5; 5 \ 6 \ 7 \ 4 \ 8; 3 \ 4 \ 6 \ 3 \ 4]$ $[S_i]_{3 \times 1} = [100, 125, 175]$ $[D_j]_{1 \times 5} = [60, 80, 85, 105, 70]$

[Dj]1x5 = [50, 30, 30, 50, 20]	
Data 11 : [30] → 49 [Cij]4x4 = [4 3 0 5; 9 7 3 2; 1 5 4 3; 6 8 24 16] [Si]4x1 = [8, 2, 9, 2] [Dj]1x4 = [5, 7, 6, 3]	Data 12 : [15] → 410 [Cij]4x4 = [7 5 9 11; 4 3 8 6; 3 8 10 5; 2 6 7 3] [Si]4x1 = [30, 25, 20, 15] [Dj]1x4 = [30, 30, 20, 10]
Data 13 : [21] → 2.850 [Cij]3x4 = [3 1 7 4; 2 6 5 9; 8 3 3 2] [Si]3x1 = [300, 400, 500] [Dj]1x4 = [250, 350, 400, 200]	Data 14 : [21] → 183 [Cij]3x5 = [5 7 10 5 3; 8 6 9 12 14; 10 9 8 10 15] [Si]3x1 = [5, 10, 10] [Dj]1x5 = [3, 3, 10, 5, 4]
Data 15 : [5] → 799 [Cij]3x4 = [19 30 50 12; 70 30 40 60; 40 10 60 20] [Si]3x1 = [7, 10, 18] [Dj]1x4 = [5, 8, 7, 15]	Data 16 : [5] → 273 [Cij]3x5 = [4 1 2 4 4; 2 3 2 2 3; 3 5 2 4 4] [Si]3x1 = [60, 35, 40] [Dj]1x5 = [22, 45, 20, 18, 30]
Data 17 : [4] → 1.160 [Cij]3x4 = [6 1 9 3; 11 5 2 8; 10 12 4 7] [Si]3x1 = [70, 55, 90] [Dj]1x4 = [85, 35, 50, 45]	Data 18 : [11] → 200 [Cij]3x4 = [3 6 8 4; 6 1 2 5; 7 8 3 9] [Si]3x1 = [20, 28, 17] [Dj]1x4 = [15, 19, 13, 18]
Data 19 : [31] → 240 [Cij]3x4 = [9 8 5 7; 4 6 8 7; 5 8 9 5] [Si]3x1 = [12, 14, 16] [Dj]1x4 = [8, 18, 13, 3]	Data 20 : [14] → 820 [Cij]3x3 = [50 30 220; 90 45 170; 250 200 50] [Si]3x1 = [1, 3, 4] [Dj]1x3 = [4, 2, 2]
Data 21 : [32] → 190 [Cij]3x4 = [5 7 9 6; 6 7 10 5; 7 6 8 1] [Si]3x1 = [12, 14, 10] [Dj]1x4 = [10, 6, 8, 12]	Data 22 : [32] → 83 [Cij]4x4 = [2 5 6 3; 9 6 2 1; 5 2 3 6; 7 7 2 4] [Si]4x1 = [6, 9, 7, 12] [Dj]1x4 = [10, 4, 6, 14]
Data 23 : [6] → 3.460 [Cij]3x4 = [20 22 17 4; 24 37 9 7; 32 37 20 15]	Data 24 : [2] → 910 [Cij]3x4 = [20 2 20 11; 24 7 9 20; 8 14 16 18] [Si]3x1 = [30, 50, 20]

[Si] 3×1 = [120, 70, 50] [Dj] 1×4 = [60, 40, 30, 110]	[Dj] 1×4 = [10, 30, 30, 30]
Data 25 : [2] \rightarrow 1.670 [Cij] 4×4 = [7 5 27 22; 4 3 24 12; 6 16 60 20; 2 6 21 6] [Si] 4×1 = [60, 50, 40, 30] [Dj] 1×4 = [60, 60, 40, 20]	Data 26 : [2] \rightarrow 2.280 [Cij] 4×4 = [21 5 9 11; 12 3 86; 98105; 6673] [Si] 4×1 = [120, 100, 80, 60] [Dj] 1×4 = [120, 120, 80, 40]
Data 27 : [2] \rightarrow 2.460 [Cij] 3×4 = [10 2 20 22; 12 7 9 40; 4 14 16 32] [Si] 3×1 = [60, 100, 40] [Dj] 1×4 = [20, 60, 60, 60]	Data 28 : [2] \rightarrow 291 [Cij] 3×3 = [7 8 7; 18 8 12; 8 12 12] [Si] 3×1 = [13, 14, 8] [Dj] 1×3 = [14, 8, 13]
Data 29 : [1] \rightarrow 4.525 [Cij] 3×3 = [6 8 10; 7 11 11; 4 5 12] [Si] 3×1 = [150, 175, 275] [Dj] 1×3 = [200, 100, 300]	Data 30 : [1] \rightarrow 920 [Cj] 3×4 = [4 6 8 8; 6 8 6 7; 5 7 6 8] [Si] 3×1 = [40, 60, 50] [Dj] 1×4 = [20, 30, 50, 50]
Data 31 : [1] \rightarrow 809 [Cij] 3×4 = [19 30 50 12; 70 30 40 60; 40 10 60 20] [Si] 3×1 = [7, 10, 18] [Dj] 1×4 = [5, 7, 8, 15]	Data 32 : [1] \rightarrow 417 [Cij] 3×4 = [13 18 30 8; 55 20 25 40; 30 6 50 10] [Si] 3×1 = [8, 10, 11] [Dj] 1×4 = [4, 6, 7, 12]
Data 33 : [1] \rightarrow 3.458 [Cij] 4×5 = [25 14 34 46 45; 10 47 14 20 41; 22 42 38 21 46; 36 20 41 38 44] [Si] 4×1 = [27, 35, 37, 45] [Dj] 1×5 = [22, 27, 28, 33, 34]	Data 34 : [1] \rightarrow 109 [Cij] 4×6 = [9 12 9 6 9 10; 7 3 7 7 5 5; 6 5 9 11 3 11; 6 8 11 2 2 10] [Si] 4×1 = [2, 5, 6, 9] [Dj] 1×6 = [2, 2, 4, 4, 4, 6]

5.3 Hasil Uji Coba TOCM-PV Terhadap 15 Data Sintesis

Data yang digunakan untuk uji coba algoritma TOCM-PV pada *sub-bab* ini adalah 15 data sintesis. Pada pengujian ini, metode TDM1, IAM, IAM-PV, JHM, TOCM-MT, BCE, dan TOCM-PV diimplementasikan menggunakan program bahasa C++,

sedangkan metode VAM dan solusi optimal didapatkan dari aplikasi TORA.

Tabel 5. 2 menunjukkan *improvement percentage* (persentase peningkatan) metode TOCM-PV terhadap VAM, TDM1, IAM, IAM-PV, JHM, TOCM-MT, dan BCE. Di dalam tabel tersebut terdapat 3 jenis angka, yaitu angka positif, angka nol dan angka negatif. Angka positif menunjukkan adanya peningkatan persentase TOCM-PV terhadap metode VAM, TDM1, IAM, IAM-PV, JHM, TOCM-MT, dan BCE, yang berarti bahwa total biaya TOCM-PV lebih rendah dari total biaya metode lainnya. Angka nol berarti bahwa total biaya TOCM-PV sama dengan metode lain yang diuji, dengan kata lain total biaya TOCM-PV sama dengan metode VAM, TDM1, IAM, IAM-PV, JHM, TOCM-MT, dan BCE, sehingga tidak ada persentase peningkatan. Sedangkan angka negatif menunjukkan persentase penurunan TOCM-PV terhadap metode VAM, TDM1, IAM, IAM-PV, JHM, TOCM-MT, dan BCE, karena total biaya TOCM-PV lebih tinggi dibandingkan metode VAM, TDM1, IAM, IAM-PV, JHM, TOCM-MT, dan BCE.

Jumlah perbandingan data *improvement percentage* TOCM-PV terhadap metode VAM, TDM1, IAM, IAM-PV, JHM, TOCM-MT, dan BCE dapat dilihat pada Tabel 5. 2 dan Tabel 5. 4. Dari 15 data, terdapat 1 data dimana total biaya yang di hasilkan oleh TOCM-PV lebih rendah dari VAM, tidak ada total biaya yang sama dari hasil metode TOCM-PV dengan VAM, dan 14 data dimana total biaya yang dihasilkan oleh TOCM-PV lebih besar dari VAM. Jika dibandingkan dengan TDM1, terdapat 12 data dimana total biaya yang di hasilkan oleh TOCM-PV lebih rendah dari TDM1, 1 data dimana total biaya yang dihasilkan oleh TOCM-PV sama dengan TDM1 dan 2 data dimana total biaya yang dihasilkan oleh TOCM-PV lebih besar dari TDM1. Untuk metode TOCM-MT, total biaya yang dihasilkan oleh TOCM-PV lebih rendah 9 data dari TOCM-MT, 2 data dimana total biaya yang dihasilkan oleh TOCM-PV sama dengan TOCM-MT dan 4 data dimana total biaya yang dihasilkan oleh TOCM-PV lebih besar dari TOCM-

MT. Jika dibandingkan dengan JHM, terdapat 1 data dimana total biaya yang di hasilkan oleh TOCM-PV lebih rendah dari JHM, tidak ada data dimana total biaya yang dihasilkan oleh TOCM-PV yang sama dengan JHM, dan 14 data dimana total biaya yang dihasilkan oleh TOCM-PV lebih besar dari JHM. Selanjutnya dari 15 data, total biaya yang dihasilkan oleh TOCM-PV selalu lebih besar dari metode BCE. Sedangkan untuk metode IAM dan IAM-PV hasilnya sama, dimana hasil total biaya dari 15 data yang diuji, 14 data dari metode IAM dan IAM-PV memiliki total biaya yang lebih besar dari TOCM-PV, tidak ada total biaya yang sama dengan TOCM-PV dan 1 yang dihasilkan oleh TOCM-PV lebih besar dari IAM dan IAM-PV.

Tabel 5. 3 menunjukkan *deviation percentage* (persen penyimpangan) dari metode VAM, TDM1, IAM, IAM-PV, JHM, TOCM-MT, BCE, dan TOCM-PV terhadap solusi optimal. Terdapat 2 nilai angka, yaitu angka positif dan angka nol. Angka nol berarti tidak ada penyimpangan dari metode VAM, TDM1, IAM, IAM-PV, JHM, TOCM-MT, BCE, dan TOCM-PV terhadap solusi optimal atau berarti bahwa metode tersebut total biayanya sama dengan solusi optimal. Sedangkan angka positif berarti hasil total biaya dari metode metode VAM, TDM1, IAM, IAM-PV, JHM, TOCM-MT, BCE, dan TOCM-PV lebih besar dari solusi optimal, dengan kata lain ada penyimpangan terhadap solusi optimal. Persentase deviasi dihitung dengan menggunakan persamaan (2.28). Pada Tabel 5. 3 dapat dilihat bahwa hanya 3 metode antara lain VAM, JHM dan BCE yang mencapai nilai optimal sebanyak 12 dari 15 data, sedangkan metode lain tidak ada yang hasilnya mencapai optimal.

Jumlah data *deviation percentage* dari metode VAM, TDM1, IAM, IAM-PV, JHM, TOCM-MT, BCE, dan TOCM-PV terhadap solusi optimal terdapat pada. VAM, JHM dan BCE mencapai nilai optimal yang sama yaitu 12 dari 15 data, sehingga ketiga metode ini mencapai nilai akurasi sebesar 80%. Sedangkan metode lain yaitu TDM1, IAM, IAM-PV, JHM, TOCM-MT dan

TOCM-PV, tidak ada yang mencapai nilai optimal dan memperoleh nilai akurasi 0%.

Hasil uji coba pada penelitian ini menunjukkan bahwa dari 15 data sintesis, metode VAM mencapai nilai optimal paling besar yaitu 12 dari 15 data, dengan akurasi 80%. Sedangkan metode TOCM-PV, IAM dan IAM-PV tidak mencapai hasil yang maksimal.

Pada 15 data sintesis, persentase kinerja (improvement percentage) TOCM-PV terhadap VAM sebesar 6,67%, karena 1 dari 15 contoh kasus mempunyai total biaya TOCM-PV lebih rendah dari pada VAM, diikuti oleh metode IAM sebesar 93,3%, dan IAM-PV sebesar 93,3%.

Tabel 5. 2 Improvement Percentage Terhadap 15 Data Sintesis

Nama	<i>Inisial Basic Feasible Solution (IBFS)</i>								Optimal	<i>Improvement Percentage (%)</i>						
	VAM	TDM1	TOCM-MT	JHM	BCE	IAM	IAM-PV	TOCM-PV		VAM	TDM1	TOCM-MT	JHM	BCE	IAM	IAM-PV
S01	214394	217000	214828	214394	214394	218289	214974	214449	214394	-0,03	1,18	0,18	-0,03	-0,03	1,76	0,24
S02	216570	218786	217051	216570	216570	220744	217230	216671	216570	-0,05	0,97	0,18	-0,05	-0,05	1,85	0,26
S03	409076	415913	415180	409076	409076	443506	418008	412834	409076	-0,92	0,74	0,57	-0,92	-0,92	6,92	1,24
S04	403140	411304	408778	403140	403140	435026	409150	406941	403140	-0,94	1,06	0,45	-0,94	-0,94	6,46	0,54
S05	1649732	1731106	1679307	1649732	1649732	1791152	1825143	1797381	1649732	-8,95	-3,83	-7,03	-8,95	-8,95	-0,35	1,52
S06	1767639	1966498	1807828	1767639	1767639	1978354	1978354	1966498	1767639	-11,25	0	-8,78	-11,25	-11,25	0,6	0,6
S07	1917304	2005105	1971126	1917304	1917304	2094790	1951496	1936506	1917304	-1	3,42	1,76	-1	-1	7,56	0,77
S08	1750798	1820359	1819816	1750798	1750798	1995849	1831027	1819816	1750798	-3,94	0,03	0	-3,94	-3,94	8,82	0,61
S09	1665063	1783944	1767153	1665063	1665063	1783944	1783944	1767153	1665063	-6,13	0,94	0	-6,13	-6,13	0,94	0,94
S10	1374650	1458304	1403690	1374650	1374650	1490976	1396112	1397278	1374650	-1,65	4,18	0,46	-1,65	-1,65	6,28	-0,08
S11	1509230	1596141	1530430	1509230	1509230	1697345	1544710	1515751	1509230	-0,43	5,04	0,96	-0,43	-0,43	10,7	1,87
S12	1738720	1813469	1772090	1738720	1738720	1893231	1891055	1859734	1738720	-6,96	-2,55	-4,95	-6,96	-6,96	1,77	1,66
S13	522493	531777	518615	515995	499117	997993	635470	523724	457716	-0,24	1,51	-0,99	-1,5	-4,93	47,52	17,58
S14	800103	905189	820059	708066	708066	993123	884184	786174	636525	1,74	13,15	4,13	-11,03	-11,03	20,84	11,08
S15	526605	551187	535818	540756	506474	728922	640257	532173	466173	-1,06	3,45	0,68	1,59	-5,07	26,99	16,88

Tabel 5. 3 *Deviation Percentage Terhadap 15 Data Sintesis*

Nama	<i>Inisial Basic Feasible Solution (IBFS)</i>								Optimal	<i>Deviation Percentage (%)</i>							
	VAM	TDMI	TOCM-MT	JHM	BCE	IAM	IAM-PV	TOCM-PV		VAM	TDMI	TOCM-MT	JHM	BCE	IAM	IAM-PV	TOCM-PV
S01	214394	217000	214828	214394	214394	218289	214974	214449	214394	0	1,22	0,2	0	0	1,82	0,27	0,03
S02	216570	218786	217051	216570	216570	220744	217230	216671	216570	0	0,97	0,18	-0,05	-0,05	1,85	0,26	0,05
S03	409076	415913	415180	409076	409076	443506	418008	412834	409076	0	0,74	0,57	-0,92	-0,92	6,92	1,24	0,92
S04	403140	411304	408778	403140	403140	435026	409150	406941	403140	0	1,06	0,45	-0,94	-0,94	6,46	0,54	0,94
S05	1649732	1731106	1679307	1649732	1649732	1791152	1825143	1797381	1649732	0	-3,83	-7,03	-8,95	-8,95	-0,35	1,52	8,95
S06	1767639	1966498	1807828	1767639	1767639	1978354	1978354	1966498	1767639	0	0	-8,78	-11,3	-11,3	0,6	0,6	11,25
S07	1917304	2005105	1971126	1917304	1917304	2094790	1951496	1936506	1917304	0	3,42	1,76	-1	-1	7,56	0,77	1
S08	1750798	1820359	1819816	1750798	1750798	1995849	1831027	1819816	1750798	0	0,03	0	-3,94	-3,94	8,82	0,61	3,94
S09	1665063	1783944	1767153	1665063	1665063	1783944	1783944	1767153	1665063	0	0,94	0	-6,13	-6,13	0,94	0,94	6,13
S10	1374650	1458304	1403690	1374650	1374650	1490976	1396112	1397278	1374650	0	4,18	0,46	-1,65	-1,65	6,28	-0,08	1,65
S11	1509230	1596141	1530430	1509230	1509230	1697345	1544710	1515751	1509230	0	5,04	0,96	-0,43	-0,43	10,7	1,87	0,43
S12	1738720	1813469	1772090	1738720	1738720	1893231	1891055	1859734	1738720	0	-2,55	-4,95	-6,96	-6,96	1,77	1,66	6,96
S13	522493	531777	518615	515995	499117	997993	635470	523724	457716	14,2	1,51	-0,99	-1,5	-4,93	47,52	17,58	14,42
S14	800103	905189	820059	708066	708066	993123	884184	786174	636525	25,7	13,15	4,13	-11	-11	20,84	11,08	23,51
S15	526605	551187	535818	540756	506474	728922	640257	532173	466173	13	3,45	0,68	1,59	-5,07	26,99	16,88	14,16

Tabel 5. 4 Jumlah Data *Improvement Percentage* Untuk 15 Data Sintesis

Metode	Angka Positif	Angka Nol	Angka Negatif
VAM	1	0	14
TDM1	12	1	2
TOCM-MT	9	2	4
JHM	1	0	14
BCE	0	0	15
IAM	14	0	1
IAM-PV	14	0	1

Tabel 5. 5 Jumlah Data Optimal dan Akurasi Untuk 15 Data Sintesis

Metode	Optimal	Akurasi (%)
VAM	12	80
TDM1	0	0
TOCM-MT	0	0
JHM	12	80
BCE	12	80
IAM	0	0
IAM-PV	0	0
IAM-PV	0	0

5.4 Hasil Uji Coba TOCM-PV Terhadap 34 Data Dari Beberapa Jurnal

Data yang digunakan untuk uji coba algoritma TOCM-PV pada *sub-bab* ini adalah 34 data dari berbagai jurnal. Pada pengujian ini, hasil dari metode TDM1, IAM, IAM-PV, JHM, TOCM-MT, BCE, dan TOCM-PV diperoleh dari implemetasi

program bahasa C++, sedangkan metode VAM dan solusi optimal didapatkan dengan pengaplikasian TORA.

Tabel 5. 6 menunjukkan *improvement percentage* (persentase peningkatan) metode TOCM-PV terhadap VAM, TDM1, IAM, IAM-PV, JHM, TOCM-MT, dan BCE. Di dalam tabel tersebut terdapat 3 jenis angka, yaitu angka positif, angka nol dan angka negatif. Angka positif menunjukkan adanya peningkatan persentase TOCM-PV terhadap metode VAM, TDM1, IAM, IAM-PV, JHM, TOCM-MT, dan BCE, yang berarti bahwa total biaya TOCM-PV lebih rendah dari total biaya metode lainnya. Angka nol berarti bahwa total biaya TOCM-PV sama dengan metode lain yang diuji, dengan kata lain total biaya TOCM-PV sama dengan metode VAM, TDM1, IAM, IAM-PV, JHM, TOCM-MT, dan BCE, sehingga tidak ada persentase peningkatan. Sedangkan angka negatif menunjukkan persentase penurunan TOCM-PV terhadap metode VAM, TDM1, IAM, IAM-PV, JHM, TOCM-MT, dan BCE, karena total biaya TOCM-PV lebih tinggi dibandingkan metode VAM, TDM1, IAM, IAM-PV, JHM, TOCM-MT, dan BCE.

Jumlah perbandingan data *improvement percentage* TOCM-PV terhadap metode VAM, TDM1, IAM, IAM-PV, JHM, TOCM-MT, dan BCE pada Tabel 5. 6 dan Tabel 5. 8. Dari 34 data, terdapat 15 data dimana total biaya yang dihasilkan oleh TOCM-PV lebih rendah dari VAM, 9 data dimana total biaya yang sama dari hasil metode TOCM-PV dengan VAM, dan 10 data dimana total biaya yang dihasilkan oleh TOCM-PV lebih besar dari VAM. Jika dibandingkan dengan TDM1, terdapat 9 data dimana total biaya yang dihasilkan oleh TOCM-PV lebih rendah dari TDM1, 16 data dimana total biaya yang dihasilkan oleh TOCM-PV sama dengan TDM1 dan 9 data dimana total biaya yang dihasilkan oleh TOCM-PV lebih besar dari TDM1. Untuk metode TOCM-MT, total biaya yang dihasilkan oleh TOCM-PV lebih rendah 2 data dari TOCM-MT, 21 data dimana total biaya yang dihasilkan oleh TOCM-PV sama dengan TOCM-MT dan 11 data dimana total biaya yang dihasilkan oleh TOCM-PV lebih besar dari TOCM-

MT. Jika dibandingkan dengan JHM, terdapat 3 data dimana total biaya yang di hasilkan oleh TOCM-PV lebih rendah dari JHM, 15 data dimana total biaya yang dihasilkan oleh TOCM-PV yang sama dengan JHM, dan 16 data dimana total biaya yang dihasilkan oleh TOCM-PV lebih besar dari JHM. Selanjutnya metode BCE, total biaya yang dihasilkan oleh TOCM-PV lebih rendah 3 data dari BCE, 13 data dimana total biaya yang dihasilkan oleh TOCM-PV sama dengan BCE dan 18 data dimana total biaya yang dihasilkan oleh TOCM-PV lebih besar dari BCE. Sedangkan untuk metode IAM, terdapat 23 data dimana total biaya yang di hasilkan oleh TOCM-PV lebih rendah dari IAM, 5 data dimana total biaya yang dihasilkan oleh TOCM-PV sama dengan IAM dan 6 data dimana total biaya yang dihasilkan oleh TOCM-PV lebih besar dari IAM. Terakhir adalah metode IAM-PV, terdapat 8 data dimana total biaya yang di hasilkan oleh TOCM-PV lebih rendah dari IAM-PV, 20 data dimana total biaya yang dihasilkan oleh TOCM-PV sama dengan IAM-PV dan 6 data dimana total biaya yang dihasilkan oleh TOCM-PV lebih besar dari IAM-PV.

Tabel 5. 7 menunjukkan *deviation percentage* (persen penyimpangan) dari metode VAM, TDM1, IAM, IAM-PV, JHM, TOCM-MT, BCE, dan TOCM-PV terhadap solusi optimal. Terdapat 2 nilai angka, yaitu angka positif dan angka nol. Angka nol berarti tidak ada penyimpangan dari metode VAM, TDM1, IAM, IAM-PV, JHM, TOCM-MT, BCE, dan TOCM-PV terhadap solusi optimal atau berarti bahwa metode tersebut total biayanya sama dengan solusi optimal. Sedangkan angka positif berarti hasil total biaya dari metode metode VAM, TDM1, IAM, IAM-PV, JHM, TOCM-MT, BCE, dan TOCM-PV lebih besar dari solusi optimal, dengan kata lain ada penyimpangan terhadap solusi optimal. Persentase deviasi dihitung dengan menggunakan persamaan (2.28). Pada Tabel 5. 7 dapat dilihat bahwa metode BCE mempunyai jumlah optimal terbanyak dari metode lain, yaitu 30 dari 34 data uji coba.

Jumlah data *deviation percentage* dari metode VAM, TDM1, IAM, IAM-PV, JHM, TOCM-MT, BCE, dan TOCM-PV

terhadap solusi optimal terdapat pada Tabel 5. 9. Terdapat 9 data yang dihasilkan oleh VAM dapat mencapai solusi optimal, dan memiliki akurasi sebesar 26,47%. Metode TDM1 dan IAM-PV mempunyai hasil yang sama yaitu 14 data yang mencapai optimal dengan akurasi 41,18%. Terdapat 24 data yang dihasilkan oleh TOCM-MT dapat mencapai solusi optimal, dan memiliki akurasi sebesar 70,59%. Terdapat 23 data yang dihasilkan oleh JHM mencapai solusi optimal dengan akurasi sebesar 67,65%. Terdapat 30 data yang dihasilkan oleh BCE dapat mencapai solusi optimal dengan akurasi sebesar 88,24%. Terdapat 6 data yang di hasilkan oleh IAM dapat mencapai solusi optimal, dan memiliki akurasi sebesar 17,65%. Terakhir TOCM-PV mempunyai 16 data yang mencapai optimal dengan akurasi 47,06%.

Hasil uji coba pada penelitian ini menunjukkan bahwa 34 data dari berbagai jurnal, metode yang memperoleh hasil optimal tertinggi adalah metode TOCM-PV yaitu 16 dari 34, dengan nilai akurasi 47,06%. Disusul oleh IAM-PV dengan akurasi 41,18%, selanjutnya metode VAM yang mencapai 9% akurasi dan terakhir adalah IAM dengan akurasi 6%.

Pada 34 data dari berbagai jurnal, persentase kinerja (*improvement percentage*) TOCM-PV terhadap VAM sebesar 44,12%, karena 15 dari 34 contoh kasus, TOCM-PV mempunyai total biaya lebih rendah dari pada VAM, diikuti oleh metode IAM sebesar 67,65%, dan IAM-PV sebesar 23,53%.

Tabel 5. 6 Improvement Percentage Terhadap 34 Data dari Berbagai Jurnal

Jurnal	Inisial Basic Feasible Solution (IBFS)								Optimal	Improvement Percentage (%)						
	VAM	TDM1	TOCM-MT	JHM	BCE	IAM	IAM-PV	TOCM-SC		VAM	TDM1	TOCM-MT	JHM	BCE	IAM	IAM-PV
Srinivasan [43]	955	880	880	880	880	1075	880	880	880	7,85	0	0	0	0	18,14	0
Goyal [25]	1745	1650	1650	1650	1650	1695	1650	1650	1650	5,44	0	0	0	0	2,65	0
Deshmukh [19]	779	779	743	743	743	781	779	779	743	0	0	-4,85	-4,85	-4,85	0,26	0
Ramadan[44]	5600	5600	5600	5600	5600	5600	5600	5600	5600	0	0	0	0	0	0	0
Kulkarni [45]	880	980	980	840	840	1020	980	980	840	-11,36	0	0	-16,67	-16,67	3,92	0
Schrenk [46]	59	59	61	59	59	66	69	61	59	-3,39	-3,39	0	-3,39	-3,39	7,58	11,59
Samuel [41]	28	28	28	28	28	28	28	28	28	0	0	0	0	0	0	0
Imam [36]	475	475	435	460	435	520	520	520	435	-9,47	-9,47	-19,54	-13,04	-19,54	0	0
Adlakha [42]	390	400	390	390	390	570	390	390	390	0	2,5	0	0	0	31,58	0
kaur [55]	1600	1595	1580	1580	1580	1880	1595	1710	1580	-6,88	-7,21	-8,23	-8,23	-8,23	9,04	-7,21
Patel [56]	49	53	53	49	49	61	49	53	49	-8,16	0	0	-8,16	-8,16	13,11	-8,16
Ahmed [18]	470	435	435	420	410	420	415	435	410	7,45	0	0	-3,57	-6,1	-3,57	-4,82
Ahmed [18]	2850	2850	2850	2850	2850	2850	2850	2850	2850	0	0	0	0	0	0	0
Ahmed [11]	187	186	187	183	187	183	183	192	183	-2,67	-3,23	-2,67	-4,92	-2,67	-4,92	-4,92
Uddin [12]	859	859	799	799	799	868	859	799	799	6,98	6,98	0	0	0	7,95	6,98

Uddin [12]	273	273	273	273	273	273	273	275	273	-0,73	-0,73	-0,73	-0,73	-0,73	-0,73	-0,73			
Das [26]	1220	1160	1160	1170	1170	1315	1160	1160	1160	4,92	0	0	0,85	0,85	11,79	0			
Khan [31]	204	200	200	218	204	218	200	200	200	1,96	0	0	8,26	1,96	8,26	0			
Azad [20]	248	248	240	240	240	248	249	249	240	-0,4	-0,4	-3,75	-3,75	-3,75	-0,4	0			
Morade [47]	820	820	820	820	820	855	820	820	820	0	0	0	0	0	4,09	0			
Jude [48]	190	190	190	190	192	194	190	190	190	0	0	0	0	1,04	2,06	0			
Jude [48]	92	83	83	83	83	115	88	88	83	4,35	-6,02	-6,02	-6,02	-6,02	23,48	0			
Hosseini [3]	3520	3570	3460	3460	3460	3790	3570	3460	3460	1,7	3,08	0	0	0	8,71	3,08			
Amaliah [54]	990	990	910	960	910	1080	990	990	910	0	0	-8,79	-3,13	-8,79	8,33	0			
Amaliah [54]	1680	1670	1670	1690	1670	3280	1690	1690	1670	-0,6	-1,2	-1,2	0	-1,2	48,48	0			
Amaliah [54]	2400	2400	2400	2340	2280	2360	2400	2360	2280	1,67	1,67	1,67	-0,85	-3,51	0	1,67			
Amaliah [54]	2980	2980	2500	2500	2460	3280	3020	2500	2460	16,11	16,11	0	0	-1,63	23,78	17,22			
Amaliah [54]	327	291	291	327	291	319	291	291	291	11,01	0	0	11,01	0	8,78	0			
Juman [1]	5125	4550	5225	4525	4525	4550	4550	4525	4525	11,71	0,55	13,4	0	0	0,55	0,55			
Juman [1]	960	960	930	920	920	920	960	960	920	0	0	-3,23	-4,35	-4,35	-4,35	0			
Juman [1]	859	849	809	809	809	855	849	809	809	5,82	4,71	0	0	0	5,38	4,71			
Juman [1]	476	465	417	417	417	495	465	417	417	12,39	10,32	0	0	0	15,76	10,32			
Juman [1]	3778	3572	3513	3487	3458	4147	3513	3513	3458	7,01	1,65	0	-0,75	-1,59	15,29	0			
Juman [1]	112	117	109	112	109	112	119	125	109	-	-11,61	-6,84	-14,68	-11,61	-	-14,68	-	-11,61	-5,04

Tabel 5. 7 *Deviation Percentage Terhadap 34 Data dari Berbagai Jurnal*

Jurnal	<i>Inisial Basic Feasible Solution (IBFS)</i>								Opti Mal	<i>Deviation Percentage (%)</i>							
	VAM	TDM1	TOCM- MT	JHM	BCE	IAM	IAM- PV	TOCM- PV		VAM	TDM1	TOCM- MT	JHM	BCE	IAM	IAM- PV	TOCM- PV
Srinivasan [22]	955	880	880	880	880	1075	880	880	880	8,52	0	0	0	0	22,2	0	0
Goyal [23]	1745	1650	1650	1650	1650	1695	1650	1650	1650	5,76	0	0	0	0	2,73	0	0
Deshmukh [17]	779	779	743	743	743	781	779	779	743	4,85	4,85	0	0	0	5,11	4,85	4,85
Ramadan [24]	5600	5600	5600	5600	5600	5600	5600	5600	5600	0	0	0	0	0	0	0	0
Kulkarni [25]	880	980	980	840	840	1020	980	980	840	4,76	16,7	16,67	0	0	21,4	16,7	16,67
Schrenk [26]	59	59	61	59	59	66	69	61	59	0	0	3,39	0	0	11,9	17	3,39
Samuel [27]	28	28	28	28	28	28	28	28	28	0	0	0	0	0	0	0	0
Imam [28]	475	475	435	460	435	520	520	520	435	9,2	9,2	0	5,75	0	19,5	19,5	19,54
Adlakha [29]	390	400	390	390	390	570	390	390	390	0	2,56	0	0	0	46,2	0	0
kaur [18]	1600	1595	1580	1580	1580	1880	1595	1710	1580	1,27	0,95	0	0	0	19	0,95	8,23
Patel [30]	49	53	53	49	49	61	49	53	49	0	8,16	8,16	0	0	24,5	0	8,16
Ahmed [15]	470	435	435	420	410	420	415	435	410	14,6	6,1	6,1	2,44	0	2,44	1,22	6,1
Ahmed [21]	2850	2850	2850	2850	2850	2850	2850	2850	2850	0	0	0	0	0	0	0	0
Ahmed [21]	187	186	187	183	187	183	183	192	183	2,19	1,64	2,19	0	2,19	0	0	4,92
Uddin [5]	859	859	799	799	799	868	859	799	799	7,51	7,51	0	0	0	8,64	7,51	0

Uddin [5]	273	273	273	273	273	273	273	275	273	0	0	0	0	0	0	0,73	
Das [4]	1220	1160	1160	1170	1170	1315	1160	1160	1160	5,17	0	0	0,86	0,86	13,4	0	0
Khan [11]	204	200	200	218	204	218	200	200	200	2	0	0	9	2	9	0	0
Azad [31]	248	248	240	240	240	248	249	249	240	3,33	3,33	0	0	0	3,33	3,75	3,75
Morade [14]	820	820	820	820	820	855	820	820	820	0	0	0	0	0	4,27	0	0
Jude [32]	190	190	190	190	192	194	190	190	190	0	0	0	0	1,05	2,11	0	0
Jude [32]	92	83	83	83	83	115	88	88	83	10,8	0	0	0	0	38,6	6,02	6,02
Hosseini [6]	3520	3570	3460	3460	3460	3790	3570	3460	3460	1,73	3,18	0	0	0	9,54	3,18	0
Amaliah [2]	990	990	910	960	910	1080	990	990	910	8,79	8,79	0	5,49	0	18,7	8,79	8,79
Amaliah [2]	1680	1670	1670	1690	1670	3280	1690	1690	1670	0,6	0	0	1,2	0	96,4	1,2	1,2
Amaliah [2]	2400	2400	2400	2340	2280	2360	2400	2360	2280	5,26	5,26	5,26	2,63	0	3,51	5,26	3,51
Amaliah [2]	2980	2980	2500	2500	2460	3280	3020	2500	2460	21,1	21,1	1,63	1,63	0	33,3	22,8	1,63
Amaliah [2]	327	291	291	327	291	319	291	291	291	12,4	0	0	12,4	0	9,62	0	0
Juman [1]	5125	4550	5225	4525	4525	4550	4550	4525	4525	13,3	0,55	15,47	0	0	0,55	0,55	0
Juman [1]	960	960	930	920	920	920	960	960	920	4,35	4,35	1,09	0	0	0	4,35	4,35
Juman [1]	859	849	809	809	809	855	849	809	809	6,18	4,94	0	0	0	5,69	4,94	0
Juman [1]	476	465	417	417	417	495	465	417	417	14,2	11,5	0	0	0	18,7	11,5	0
Juman [1]	3778	3572	3513	3487	3458	4147	3513	3513	3458	9,25	3,3	1,59	0,84	0	19,9	1,59	1,59
Juman [1]	112	117	109	112	109	112	119	125	109	2,75	7,34	0	2,75	0	2,75	9,17	14,68

Tabel 5. 8 Jumlah Data *Improvement Percentage* Untuk 34 Data Dari Berbagai Jurnal

Metode	Angka Positif	Angka Nol	Angka Negatif
VAM	15	9	10
TDM1	9	16	9
TOCM-MT	2	21	11
JHM	3	15	16
BCE	3	13	18
IAM	23	5	6
IAM-PV	8	20	6

Tabel 5. 9 Jumlah Data Optimal dan Akurasi Untuk 34 Data Dari Berbagai Jurnal

Metode	Optimal	Akurasi (%)
VAM	9	26,47
TDM1	14	41,18
TOCM-MT	24	70,59
JHM	23	67,65
BCE	30	88,24
IAM	6	17,65
IAM-PV	14	41,18
TOCM-PV	16	47,06

5.5 Hasil Uji Coba TOCM-PV Terhadap 36 Data *Real*

Data yang digunakan untuk uji coba algoritma TOCM-PV pada *sub-bab* ini adalah 36 data *real* dari perusahaan XYZ. Pada pengujian ini, hasil dari metode TDM1, IAM, IAM-PV, JHM, TOCM-MT, BCE, dan TOCM-PV diperoleh dari implemetasi

program bahasa C++, sedangkan metode VAM dan solusi optimal didapatkan dengan pengaplikasian TORA.

Tabel 5. 10 menunjukkan *improvement percentage* (persentase peningkatan) metode TOCM-PV terhadap VAM, TDM1, IAM, IAM-PV, JHM, TOCM-MT, dan BCE. Di dalam tabel tersebut terdapat 3 jenis angka, yaitu angka positif, angka nol dan angka negatif. Angka positif menunjukkan adanya peningkatan persentase TOCM-PV terhadap metode VAM, TDM1, IAM, IAM-PV, JHM, TOCM-MT, dan BCE, yang berarti bahwa total biaya TOCM-PV lebih rendah dari total biaya metode lainnya. Angka nol berarti bahwa total biaya TOCM-PV sama dengan metode lain yang diuji, dengan kata lain total biaya TOCM-PV sama dengan metode VAM, TDM1, IAM, IAM-PV, JHM, TOCM-MT, dan BCE, sehingga tidak ada persentase peningkatan. Sedangkan angka negatif menunjukkan persentase penurunan TOCM-PV terhadap metode VAM, TDM1, IAM, IAM-PV, JHM, TOCM-MT, dan BCE, karena total biaya TOCM-PV lebih tinggi dibandingkan metode VAM, TDM1, IAM, IAM-PV, JHM, TOCM-MT, dan BCE.

Jumlah perbandingan data *improvement percentage* TOCM-PV terhadap metode VAM, TDM1, IAM, IAM-PV, JHM, TOCM-MT, dan BCE pada Tabel 5. 10 dan Tabel 5. 12. Dari 36 data, metode VAM, JHM dan BCE memperoleh hasil yang sama, yaitu hanya terdapat 1 data dimana total biaya yang dihasilkan oleh TOCM-PV sama dengan VAM, JHM dan BCE, serta 35 data dimana total biaya yang dihasilkan oleh TOCM-PV lebih besar dari ketiga metode tersebut. Metode TDM1 dan TOCM-MT juga memiliki kesamaan jumlah hasil, dimana total biaya yang dihasilkan oleh TOCM-PV lebih rendah 23 data dari TDM1 dan TOCM-MT, tidak ada data dimana total biaya yang dihasilkan oleh TOCM-PV sama dengan TDM1 dan TOCM-MT, serta 13 data dimana total biaya yang dihasilkan oleh TOCM-PV lebih besar dari TDM1 dan TOCM-MT. Selanjutnya metode IAM, seluruh total biaya yang dihasilkan oleh TOCM-PV lebih rendah 36 data dari IAM, sehingga tidak ada total biaya yang dihasilkan oleh TOCM-

PV sama yang ataupun lebih besar dari IAM. Terakhir adalah metode IAM-PV, terdapat 22 data dimana total biaya yang di hasilkan oleh TOCM-PV lebih rendah dari IAM-PV, 12 data dimana total biaya yang dihasilkan oleh TOCM-PV sama dengan IAM-PV dan tidak data dimana total biaya yang dihasilkan oleh TOCM-PV lebih besar dari IAM-PV.

Tabel 5. 11 menunjukkan *deviation percentage* (persen penyimpangan) dari metode VAM, TDM1, IAM, IAM-PV, JHM, TOCM-MT, BCE, dan TOCM-PV terhadap solusi optimal. Terdapat 2 nilai angka, yaitu angka positif dan angka nol. Angka nol berarti tidak ada penyimpangan dari metode VAM, TDM1, IAM, IAM-PV, JHM, TOCM-MT, BCE, dan TOCM-PV terhadap solusi optimal atau berarti bahwa metode tersebut total biayanya sama dengan solusi optimal. Sedangkan angka positif berarti hasil total biaya dari metode metode VAM, TDM1, IAM, IAM-PV, JHM, TOCM-MT, BCE, dan TOCM-PV lebih besar dari solusi optimal, dengan kata lain ada penyimpangan terhadap solusi optimal. Persentase deviasi dihitung dengan menggunakan persamaan (2.28). Pada Tabel 5. 11 dapat dilihat bahwa metode JHM dan BCE mempunyai jumlah optimal tertinggi dari metode lain.

Jumlah data *deviation percentage* dari metode VAM, TDM1, IAM, IAM-PV, JHM, TOCM-MT, BCE, dan TOCM-PV terhadap solusi optimal terdapat pada Tabel 5. 13. Terdapat 35 data yang dihasilkan oleh VAM dapat mencapai solusi optimal, dan memiliki akurasi sebesar 97,22%. Metode JHM dan BCE mempunyai hasil yang sama yaitu akurasi 100% dengan 36 data mencapai nilai optimal. Sedangkan metode lain yaitu TDM1, TOCM-MT, IAM, IAM-PV dan TOCM-PV tidak memiliki hasil yang mencapai nilai optimal, dengan kata lain mempunya akurasi 0%.

Hasil uji coba pada penelitian ini menunjukkan bahwa dari 36 data *real*, metode yang memperoleh hasil optimal tertinggi adalah metode VAM dengan jumlah optimal 35 dari 36 data,

sehingga mencapai akurasi 97,22%. Sedangkan metode IAM, IAM-PV dan TOCM-PV tidak selalu menunjukkan hasil optimal.

Pada 36 data *real*, persentase kinerja (*improvement percentage*) TOCM-PV terhadap metode IAM sebesar 100%, karena 36 contoh kasus mempunyai total biaya TOCM-PV lebih rendah dari pada IAM, sedangkan metode IAM-PV sebesar 61,11%. TOCM-PV terhadap VAM sendiri tidak selalu menunjukkan persentase kinerja yang baik.

Tabel 5. 10 *Improvement Percentage Terhadap 36 Data Real*

Nama	Inisial Basic Feasible Solution (IBFS)								Optimal	Improvement Percentage (%)						
	VAM	TDMI	TOCM-MT	JHM	BCE	IAM	IAM-PV	TOCM-PV		VAM	TDMI	TOCM-MT	JHM	BCE	IAM	IAM-PV
R01	12175097	12208071	12210362	12175097	12175097	12869231	12346537	12322042	12175097	-1,21	-0,93	-0,91	-1,21	-1,21	4,25	0,2
R02	12793609	12869920	12826647	12793609	12793609	13435114	12962364	12939800	12793609	-1,14	-0,54	-0,88	-1,14	-1,14	3,69	0,17
R03	13243021	13331185	13277784	13243021	13243021	13857828	13411490	13402909	13243021	-1,21	-0,54	-0,94	-1,21	-1,21	3,28	0,06
R04	12928429	13006080	12965785	12928429	12928429	13495738	13098507	13092722	12928429	-1,27	-0,67	-0,98	-1,27	-1,27	2,99	0,04
R05	13657053	13775787	13700907	13657053	13657053	14172575	13836003	13832598	13657053	-1,29	-0,41	-0,96	-1,29	-1,29	2,4	0,02
R06	12296587	12324912	12322885	12296587	12296587	12460774	12460774	12455418	12296587	-1,29	-1,06	-1,08	-1,29	-1,29	0,04	0,04
R07	14117586	14236337	14166940	14117586	14117586	14674414	14282395	14253252	14117586	-0,96	-0,12	-0,61	-0,96	-0,96	2,87	0,2
R08	14017419	14148941	14074887	14017419	14017419	14457185	14193481	14188878	14017419	-1,22	-0,28	-0,81	-1,22	-1,22	1,86	0,03
R09	13748896	13871425	13821858	13748896	13748896	14219125	13915646	13913035	13748896	-1,19	-0,3	-0,66	-1,19	-1,19	2,15	0,02
R10	13691814	13820314	13747189	13691814	13691814	14128948	13874252	13869649	13691814	-1,3	-0,36	-0,89	-1,3	-1,3	1,84	0,03
R11	13715927	13839206	13770792	13715927	13715927	14179234	13894606	13890003	13715927	-1,27	-0,37	-0,87	-1,27	-1,27	2,04	0,03
R12	13922982	14061909	14010673	13922982	13922982	14394586	14061061	14058450	13922982	-0,97	0,02	-0,34	-0,97	-0,97	2,34	0,02
R13	5408695	5416127	5461418	5408695	5408695	5775529	5493693	5464813	5408695	-1,04	-0,9	-0,06	-1,04	-1,04	5,38	0,53
R14	5438725	5462780	5511842	5438725	5438725	5550692	5550692	5492135	5438725	-0,98	-0,54	0,36	-0,98	-0,98	1,05	1,05
R15	5663908	5671616	5742635	5663908	5663908	5794206	5769540	5702654	5663908	-0,68	-0,55	0,7	-0,68	-0,68	1,58	1,16
R16	5793809	5802139	5883715	5793809	5793809	6165186	5890110	5831703	5793809	-0,65	-0,51	0,88	-0,65	-0,65	5,41	0,99
R17	6025531	6033695	6093834	6025531	6025531	6406917	6122804	6085634	6025531	-1	-0,86	0,13	-1	-1	5,01	0,61

R18	5365603	5400594	5432628	5363699	5363699	5474312	5474312	5426793	5363699	-1,14	-0,49	0,11	-1,18	-1,18	0,87	0,87
R19	5952349	5960405	6024821	5952349	5952349	6329907	6049536	6012071	5952349	-1	-0,87	0,21	-1	-1	5,02	0,62
R20	6128530	6139109	6197774	6128530	6128530	6503933	6219462	6194698	6128530	-1,08	-0,91	0,05	-1,08	-1,08	4,75	0,4
R21	6183085	6191745	6258172	6183085	6183085	6553937	6271193	6246364	6183085	-1,02	-0,88	0,19	-1,02	-1,02	4,69	0,4
R22	6192863	6203251	6265426	6192863	6192863	6559997	6282042	6258140	6192863	-1,05	-0,88	0,12	-1,05	-1,05	4,6	0,38
R23	6067533	6076125	6145072	6067533	6067533	6435148	6152249	6131289	6067533	-1,05	-0,91	0,22	-1,05	-1,05	4,72	0,34
R24	6235927	6247377	6309471	6235927	6235927	6611957	6328317	6302172	6235927	-1,06	-0,88	0,12	-1,06	-1,06	4,69	0,41
R25	5097639	5165922	5141792	5097639	5097639	5105978	5098012	5098012	5097639	-0,01	1,31	0,85	-0,01	-0,01	0,16	0
R26	5343427	5420814	5393193	5343427	5343427	5351913	5343800	5343800	5343427	-0,01	1,42	0,92	-0,01	-0,01	0,15	0
R27	5566579	5648171	5621027	5566579	5566579	5574307	5567193	5567193	5566579	-0,01	1,43	0,96	-0,01	-0,01	0,13	0
R28	5705771	5793028	5766648	5705771	5705771	5714360	5706144	5706144	5705771	-0,01	1,5	1,05	-0,01	-0,01	0,14	0
R29	6046057	6141013	6114502	6046057	6046057	6054287	6046555	6046555	6046057	-0,01	1,54	1,11	-0,01	-0,01	0,13	0
R30	5147474	5202849	5182501	5147474	5147474	5155068	5147723	5147723	5147474	0	1,06	0,67	0	0	0,14	0
R31	5934380	6028936	6002186	5934380	5934380	5943274	5934878	5934878	5934380	-0,01	1,56	1,12	-0,01	-0,01	0,14	0
R32	6139606	6237512	6217992	6139606	6139606	6149129	6140104	6140104	6139606	-0,01	1,56	1,25	-0,01	-0,01	0,15	0
R33	5980728	6078483	6056181	5980728	5980728	5988697	5981226	5981226	5980728	-0,01	1,6	1,24	-0,01	-0,01	0,12	0
R34	6207890	6304620	6285817	6207890	6207890	6217533	6208388	6208388	6207890	-0,01	1,53	1,23	-0,01	-0,01	0,15	0
R35	5975209	6070899	6050441	5975209	5975209	5982919	5975707	5975707	5975209	-0,01	1,57	1,24	-0,01	-0,01	0,12	0
R36	6255273	6352857	6332291	6255273	6255273	6263838	6255771	6255771	6255273	-0,01	1,53	1,21	-0,01	-0,01	0,13	0

Tabel 5. 11 *Deviation Percentage Terhadap 36 Data Real*

Nama	Initial Basic Feasible Solution (IBFS)								Optimal	Deviation Percentage (%)							
	VAM	TDM1	TOCM-MT	JHM	BCE	IAM	IAM-PV	TOCM-PV		VAM	TDM1	TOCM-MT	JHM	BCE	IAM	IAM-PV	TOCM-PV
R01	12175097	12208071	12210362	12175097	12175097	12869231	12346537	12322042	12175097	0	0,27	0,29	0	0	5,7	1,41	1,21
R02	12793609	12869920	12826647	12793609	12793609	13435114	12962364	12939800	12793609	0	0,6	0,26	0	0	5,01	1,32	1,14
R03	13243021	13331185	13277784	13243021	13243021	13857828	13411490	13402909	13243021	0	0,67	0,26	0	0	4,64	1,27	1,21
R04	12928429	13006080	12965785	12928429	12928429	13495738	13098507	13092722	12928429	0	0,6	0,29	0	0	4,39	1,32	1,27
R05	13657053	13775787	13700907	13657053	13657053	14172575	13836003	13832598	13657053	0	0,87	0,32	0	0	3,77	1,31	1,29
R06	12296587	12324912	12322885	12296587	12296587	12460774	12460774	12455418	12296587	0	0,23	0,21	0	0	1,34	1,34	1,29
R07	14117586	14236337	14166940	14117586	14117586	14674414	14282395	14253252	14117586	0	0,84	0,35	0	0	3,94	1,17	0,96
R08	14017419	14148941	14074887	14017419	14017419	14457185	14193481	14188878	14017419	0	0,94	0,41	0	0	3,14	1,26	1,22
R09	13748896	13871425	13821858	13748896	13748896	14219125	13915646	13913035	13748896	0	0,89	0,53	0	0	3,42	1,21	1,19
R10	13691814	13820314	13747189	13691814	13691814	14128948	13874252	13869649	13691814	0	0,94	0,4	0	0	3,19	1,33	1,3
R11	13715927	13839206	13770792	13715927	13715927	14179234	13894606	13890003	13715927	0	0,9	0,4	0	0	3,38	1,3	1,27
R12	13922982	14061909	14010673	13922982	13922982	14394586	14061061	14058450	13922982	0	1	0,63	0	0	3,39	0,99	0,97
R13	5408695	5416127	5461418	5408695	5408695	5775529	5493693	5464813	5408695	0	0,14	0,97	0	0	6,78	1,57	1,04
R14	5438725	5462780	5511842	5438725	5438725	5550692	5550692	5492135	5438725	0	0,44	1,34	0	0	2,06	2,06	0,98
R15	5663908	5671616	5742635	5663908	5663908	5794206	5769540	5702654	5663908	0	0,14	1,39	0	0	2,3	1,87	0,68
R16	5793809	5802139	5883715	5793809	5793809	6165186	5890110	5831703	5793809	0	0,14	1,55	0	0	6,41	1,66	0,65
R17	6025531	6033695	6093834	6025531	6025531	6406917	6122804	6085634	6025531	0	0,14	1,13	0	0	6,33	1,61	1

R18	5365603	5400594	5432628	5363699	5363699	5474312	5474312	5426793	5363699	0,04	0,69	1,29	0	0	2,06	2,06	1,18
R19	5952349	5960405	6024821	5952349	5952349	6329907	6049536	6012071	5952349	0	0,14	1,22	0	0	6,34	1,63	1
R20	6128530	6139109	6197774	6128530	6128530	6503933	6219462	6194698	6128530	0	0,17	1,13	0	0	6,13	1,48	1,08
R21	6183085	6191745	6258172	6183085	6183085	6553937	6271193	6246364	6183085	0	0,14	1,21	0	0	6	1,42	1,02
R22	6192863	6203251	6265426	6192863	6192863	6559997	6282042	6258140	6192863	0	0,17	1,17	0	0	5,93	1,44	1,05
R23	6067533	6076125	6145072	6067533	6067533	6435148	6152249	6131289	6067533	0	0,14	1,28	0	0	6,06	1,4	1,05
R24	6235927	6247377	6309471	6235927	6235927	6611957	6328317	6302172	6235927	0	0,18	1,18	0	0	6,03	1,48	1,06
R25	5097639	5165922	5141792	5097639	5097639	5105978	5098012	5098012	5097639	0	1,34	0,87	0	0	0,16	0,01	0,01
R26	5343427	5420814	5393193	5343427	5343427	5351913	5343800	5343800	5343427	0	1,45	0,93	0	0	0,16	0,01	0,01
R27	5566579	5648171	5621027	5566579	5566579	5574307	5567193	5567193	5566579	0	1,47	0,98	0	0	0,14	0,01	0,01
R28	5705771	5793028	5766648	5705771	5705771	5714360	5706144	5706144	5705771	0	1,53	1,07	0	0	0,15	0,01	0,01
R29	6046057	6141013	6114502	6046057	6046057	6054287	6046555	6046555	6046057	0	1,57	1,13	0	0	0,14	0,01	0,01
R30	5147474	5202849	5182501	5147474	5147474	5155068	5147723	5147723	5147474	0	1,08	0,68	0	0	0,15	0	0
R31	5934380	6028936	6002186	5934380	5934380	5943274	5934878	5934878	5934380	0	1,59	1,14	0	0	0,15	0,01	0,01
R32	6139606	6237512	6217992	6139606	6139606	6149129	6140104	6140104	6139606	0	1,59	1,28	0	0	0,16	0,01	0,01
R33	5980728	6078483	6056181	5980728	5980728	5988697	5981226	5981226	5980728	0	1,63	1,26	0	0	0,13	0,01	0,01
R34	6207890	6304620	6285817	6207890	6207890	6217533	6208388	6208388	6207890	0	1,56	1,26	0	0	0,16	0,01	0,01
R35	5975209	6070899	6050441	5975209	5975209	5982919	5975707	5975707	5975209	0	1,6	1,26	0	0	0,13	0,01	0,01
R36	6255273	6352857	6332291	6255273	6255273	6263838	6255771	6255771	6255273	0	1,56	1,23	0	0	0,14	0,01	0,01

Tabel 5. 12 Jumlah Data *Improvement Percentage* Untuk 36 Data *Real*

Metode	Angka Positif	Angka Nol	Angka Negatif
VAM	0	1	35
TDM1	23	0	13
TOCM-MT	23	0	13
JHM	0	1	35
BCE	0	1	35
IAM	36	0	0
IAM-PV	22	12	0

Tabel 5. 13 Jumlah Data Optimal dan Akurasi Untuk 36 Data *Real*

Metode	Optimal	Akurasi (%)
VAM	35	97,22
TDM1	0	0
TOCM-MT	0	0
JHM	36	100
BCE	36	100
IAM	0	0
IAM-PV	0	0
TOCM-PV	0	0

5.6 Hasil Uji Coba TOCM-PV Terhadap 85 Data Campuran

Uji coba dilakukan terhadap 85 *Problem Set Transportation Problem* yang merupakan gabungan dari 15 data sintesis, 34 data dari berbagai jurnal dan 36 data *real*. Untuk membandingkan hasil antara metode VAM, TDM1, IAM, IAM-PV, JHM, TOCMT dan BCE dengan metode yang dikembangkan yaitu IAM-PV. Pada pengujian ini, metode TDM1, IAM, IAM-PV, JHM, TOCMT, BCE dan TOCM-PV diimplementasikan menggunakan program Bahasa C++, sedangkan hasil VAM dan solusi optimal didapatkan melalui aplikasi TORA.

Tabel 5. 14 menunjukkan *improvement percentage* (persentase peningkatan) metode TOCM-PV terhadap VAM, TDM1, IAM, IAM-PV, JHM, TOCM-MT, dan BCE. Di dalam tabel tersebut terdapat 3 jenis angka, yaitu angka positif, angka nol dan angka negatif. Angka positif menunjukkan adanya peningkatan persentase TOCM-PV terhadap metode VAM, TDM1, IAM, IAM-PV, JHM, TOCM-MT, dan BCE, yang berarti bahwa total biaya TOCM-PV lebih rendah dari total biaya metode lainnya. Angka nol berarti bahwa total biaya TOCM-PV sama dengan metode lain yang diuji, dengan kata lain total biaya TOCM-PV sama dengan metode VAM, TDM1, IAM, IAM-PV, JHM, TOCM-MT, dan BCE, sehingga tidak ada persentase peningkatan. Sedangkan angka negatif menunjukkan persentase penurunan TOCM-PV terhadap metode VAM, TDM1, IAM, IAM-PV, JHM, TOCM-MT, dan BCE, karena total biaya TOCM-PV lebih tinggi dibandingkan metode VAM, TDM1, IAM, IAM-PV, JHM, TOCM-MT, dan BCE.

Jumlah perbandingan data *improvement percentage* TOCM-PV terhadap metode VAM, TDM1, IAM, IAM-PV, JHM, TOCM-MT, dan BCE pada Tabel 5. 14 dan Tabel 5. 16. Dari 85 data, terdapat 16 data dimana total biaya yang dihasilkan oleh TOCM-PV lebih rendah dari VAM, 10 data dimana total biaya yang dihasilkan metode TOCM-PV sama dengan VAM, dan 59 data dimana total biaya yang dihasilkan oleh TOCM-PV lebih

besar dari VAM. Jika dibandingkan dengan TDM1, terdapat 44 data dimana total biaya yang di hasilkan oleh TOCM-PV lebih rendah dari TDM1, 17 data dimana total biaya yang dihasilkan oleh TOCM-PV sama dengan TDM1 dan 24 data dimana total biaya yang dihasilkan oleh TOCM-PV lebih besar dari TDM1. Untuk metode TOCM-MT, total biaya yang dihasilkan oleh TOCM-PV lebih rendah 34 data dari TOCM-MT, 23 data dimana total biaya yang dihasilkan oleh TOCM-PV sama dengan TOCM-MT dan 28 data dimana total biaya yang dihasilkan oleh TOCM-PV lebih besar dari TOCM-MT. Jika dibandingkan dengan JHM, terdapat 4 data dimana total biaya yang di hasilkan oleh TOCM-PV lebih rendah dari JHM, 16 data dimana total biaya yang dihasilkan oleh TOCM-PV yang sama dengan JHM, dan 65 data dimana total biaya yang dihasilkan oleh TOCM-PV lebih besar dari JHM. Selanjutnya metode BCE, total biaya yang dihasilkan oleh TOCM-PV lebih rendah 3 data dari BCE, 14 data dimana total biaya yang dihasilkan oleh TOCM-PV sama dengan BCE dan 68 data dimana total biaya yang dihasilkan oleh TOCM-PV lebih besar dari BCE. Sedangkan untuk metode IAM, terdapat 73 data dimana total biaya yang di hasilkan oleh TOCM-PV lebih rendah dari IAM, 5 data dimana total biaya yang dihasilkan oleh TOCM-PV sama dengan IAM dan 7 data dimana total biaya yang dihasilkan oleh TOCM-PV lebih besar dari IAM. Terakhir adalah metode IAM-PV, terdapat 44 data dimana total biaya yang di hasilkan oleh TOCM-PV lebih rendah dari IAM-PV, 32 data dimana total biaya yang dihasilkan oleh TOCM-PV sama dengan IAM-PV dan 7 data dimana total biaya yang dihasilkan oleh TOCM-PV lebih besar dari IAM-PV.

Tabel 5. 15 menunjukkan *deviation percentage* (persen penyimpangan) dari metode VAM, TDM1, IAM, IAM-PV, JHM, TOCM-MT, BCE, dan TOCM-PV terhadap solusi optimal. Terdapat 2 nilai angka, yaitu angka positif dan angka nol. Angka nol berarti tidak ada penyimpangan dari metode VAM, TDM1, IAM, IAM-PV, JHM, TOCM-MT, BCE, dan TOCM-PV terhadap solusi optimal atau berarti bahwa metode tersebut total biayanya sama dengan solusi optimal. Sedangkan angka positif berarti hasil

total biaya dari metode metode VAM, TDM1, IAM, IAM-PV, JHM, TOCM-MT, BCE, dan TOCM-PV lebih besar dari solusi optimal, dengan kata lain ada penyimpangan terhadap solusi optimal. Persentase deviasi dihitung dengan menggunakan persamaan (2.28). Pada Tabel 5. 15 dapat dilihat bahwa metode BCE mempunyai jumlah optimal terbanyak dari metode lain, yaitu 78 dari 84 data uji coba.

Jumlah data *deviation percentage* dari metode VAM, TDM1, IAM, IAM-PV, JHM, TOCM-MT, BCE, dan TOCM-PV terhadap solusi optimal terdapat pada Tabel 5. 17. Terdapat 56 data yang dihasilkan oleh VAM dapat mencapai solusi optimal, dan memiliki akurasi sebesar 65,88%. Metode TDM1 menghasilkan 14 data yang mencapai optimal dengan akurasi 16,47%. Terdapat 24 data yang dihasilkan oleh TOCM-MT dapat mencapai solusi optimal, dan memiliki akurasi sebesar 28,24%. Terdapat 71 data yang dihasilkan oleh JHM mencapai solusi optimal dengan akurasi sebesar 83,53%. Terdapat 78 data yang dihasilkan oleh BCE dapat mencapai solusi optimal dengan akurasi sebesar 91,76%. Terdapat 6 data yang di hasilkan oleh IAM dapat mencapai solusi optimal, dan memiliki akurasi sebesar 7,06%. Metode IAM-PV menghasilkan 14 data yang mencapai optimal dengan akurasi 16,47%. Terakhir TOCM-PV mempunyai 16 data yang mencapai optimal dengan akurasi 18,82%.

Hasil uji coba pada penelitian ini menunjukkan bahwa dari 85 data campuran, metode yang memperoleh hasil optimal tertinggi adalah metode VAM yaitu 56 dari 85 data, dengan nilai akurasi 65,88%. Disusul oleh TOCM-PV dengan akurasi 18,82%, selanjutnya metode VAM yang mencapai 16,47% akurasi dan terakhir adalah IAM dengan akurasi 7,06%.

Pada 85 data campuran, persentase kinerja (*improvement percentage*) TOCM-PV terhadap VAM sebesar 18,82%, karena 16 dari 34 contoh kasus mempunyai total biaya TOCM-PV lebih rendah dari pada VAM, diikuti oleh metode IAM sebesar 85,8%, dan IAM-PV sebesar 51,76%.

Tabel 5. 14 *Improvement Percentage* Terhadap 85 Data Campuran

Nama	Inisial Basic Feasible Solution (IBFS)								Optimal	Improvement Percentage (%)						
	VAM	TDM1	TOCM-MT	JHM	BCE	IAM	IAM-PV	TOCM-PV		VAM	TDM1	TOCM-MT	JHM	BCE	IAM	IAM-PV
S01	214394	217000	214828	214394	214394	218289	214974	214449	214394	-0,03	1,18	0,18	-0,03	-0,03	1,76	0,24
S02	216570	218786	217051	216570	216570	220744	217230	216671	216570	-0,05	0,97	0,18	-0,05	-0,05	1,85	0,26
S03	409076	415913	415180	409076	409076	443506	418008	412834	409076	-0,92	0,74	0,57	-0,92	-0,92	6,92	1,24
S04	403140	411304	408778	403140	403140	435026	409150	406941	403140	-0,94	1,06	0,45	-0,94	-0,94	6,46	0,54
S05	1649732	1731106	1679307	1649732	1649732	1791152	1825143	1797381	1649732	-8,95	-3,83	-7,03	-8,95	-8,95	-0,4	1,52
S06	1767639	1966498	1807828	1767639	1767639	1978354	1978354	1966498	1767639	-11,3	0	-8,78	-11,3	-11,3	0,6	0,6
S07	1917304	2005105	1971126	1917304	1917304	2094790	1951496	1936506	1917304	-1	3,42	1,76	-1	-1	7,56	0,77
S08	1750798	1820359	1819816	1750798	1750798	1995849	1831027	1819816	1750798	-3,94	0,03	0	-3,94	-3,94	8,82	0,61
S09	1665063	1783944	1767153	1665063	1665063	1783944	1783944	1767153	1665063	-6,13	0,94	0	-6,13	-6,13	0,94	0,94
S10	1374650	1458304	1403690	1374650	1374650	1490976	1396112	1397278	1374650	-1,65	4,18	0,46	-1,65	-1,65	6,28	-0,08
S11	1509230	1596141	1530430	1509230	1509230	1697345	1544710	1515751	1509230	-0,43	5,04	0,96	-0,43	-0,43	10,7	1,87
S12	1738720	1813469	1772090	1738720	1738720	1893231	1891055	1859734	1738720	-6,96	-2,55	-4,95	-6,96	-6,96	1,77	1,66
S13	522493	531777	518615	515995	499117	997993	635470	523724	457716	-0,24	1,51	-0,99	-1,5	-4,93	47,5	17,58
S14	800103	905189	820059	708066	708066	993123	884184	786174	636525	1,74	13,2	4,13	-11	-11	20,8	11,08
S15	526605	551187	535818	540756	506474	728922	640257	532173	466173	-1,06	3,45	0,68	1,59	-5,07	27	16,88

J01	955	880	880	880	880	1075	880	880	880	7,85	0	0	0	0	18,1	0
J02	1745	1650	1650	1650	1650	1695	1650	1650	1650	5,44	0	0	0	0	2,65	0
J03	779	779	743	743	743	781	779	779	743	0	0	-4,85	-4,85	-4,85	0,26	0
J04	5600	5600	5600	5600	5600	5600	5600	5600	5600	0	0	0	0	0	0	0
J05	880	980	980	840	840	1020	980	980	840	-11,4	0	0	-16,7	-16,7	3,92	0
J06	59	59	61	59	59	66	69	61	59	-3,39	-3,39	0	-3,39	-3,39	7,58	11,59
J07	28	28	28	28	28	28	28	28	28	0	0	0	0	0	0	0
J08	475	475	435	460	435	520	520	520	435	-9,47	-9,47	-19,54	-13	-19,5	0	0
J09	390	400	390	390	390	570	390	390	390	0	2,5	0	0	0	31,6	0
J10	1600	1595	1580	1580	1580	1880	1595	1710	1580	-6,88	-7,21	-8,23	-8,23	-8,23	9,04	-7,21
J11	49	53	53	49	49	61	49	53	49	-8,16	0	0	-8,16	-8,16	13,1	-8,16
J12	470	435	435	420	410	420	415	435	410	7,45	0	0	-3,57	-6,1	-3,6	-4,82
J13	2850	2850	2850	2850	2850	2850	2850	2850	2850	0	0	0	0	0	0	0
J14	187	186	187	183	187	183	183	192	183	-2,67	-3,23	-2,67	-4,92	-2,67	-4,9	-4,92
J15	859	859	799	799	799	868	859	799	799	6,98	6,98	0	0	0	7,95	6,98
J16	273	273	273	273	273	273	273	275	273	-0,73	-0,73	-0,73	-0,73	-0,73	-0,7	-0,73
J17	1220	1160	1160	1170	1170	1315	1160	1160	1160	4,92	0	0	0,85	0,85	11,8	0
J18	204	200	200	218	204	218	200	200	200	1,96	0	0	8,26	1,96	8,26	0

J19	248	248	240	240	240	248	249	249	240	-0,4	-0,4	-3,75	-3,75	-3,75	-0,4	0
J20	820	820	820	820	820	855	820	820	820	0	0	0	0	0	4,09	0
J21	190	190	190	190	192	194	190	190	190	0	0	0	0	1,04	2,06	0
J22	92	83	83	83	83	115	88	88	83	4,35	-6,02	-6,02	-6,02	-6,02	23,5	0
J23	3520	3570	3460	3460	3460	3790	3570	3460	3460	1,7	3,08	0	0	0	8,71	3,08
J24	990	990	910	960	910	1080	990	990	910	0	0	-8,79	-3,13	-8,79	8,33	0
J25	1680	1670	1670	1690	1670	3280	1690	1690	1670	-0,6	-1,2	-1,2	0	-1,2	48,5	0
J26	2400	2400	2400	2340	2280	2360	2400	2360	2280	1,67	1,67	1,67	-0,85	-3,51	0	1,67
J27	2980	2980	2500	2500	2460	3280	3020	2500	2460	16,1	16,1	0	0	-1,63	23,8	17,22
J28	327	291	291	327	291	319	291	291	291	11	0	0	11,01	0	8,78	0
J29	5125	4550	5225	4525	4525	4550	4550	4525	4525	11,7	0,55	13,4	0	0	0,55	0,55
J30	960	960	930	920	920	920	960	960	920	0	0	-3,23	-4,35	-4,35	-4,4	0
J31	859	849	809	809	809	855	849	809	809	5,82	4,71	0	0	0	5,38	4,71
J32	476	465	417	417	417	495	465	417	417	12,4	10,3	0	0	0	15,8	10,32
J33	3778	3572	3513	3487	3458	4147	3513	3513	3458	7,01	1,65	0	-0,75	-1,59	15,3	0
J34	112	117	109	112	109	112	119	125	109	-11,6	-6,84	-14,68	-11,6	-14,7	-12	-5,04
R01	12175097	12208071	12210362	12175097	12175097	12869231	12346537	12322042	12175097	-1,21	-0,93	-0,91	-1,21	-1,21	4,25	0,2
R02	12793609	12869920	12826647	12793609	12793609	13435114	12962364	12939800	12793609	-1,14	-0,54	-0,88	-1,14	-1,14	3,69	0,17

R03	13243021	13331185	13277784	13243021	13243021	13857828	13411490	13402909	13243021	-1,21	-0,54	-0,94	-1,21	-1,21	3,28	0,06
R04	12928429	13006080	12965785	12928429	12928429	13495738	13098507	13092722	12928429	-1,27	-0,67	-0,98	-1,27	-1,27	2,99	0,04
R05	13657053	13775787	13700907	13657053	13657053	14172575	13836003	13832598	13657053	-1,29	-0,41	-0,96	-1,29	-1,29	2,4	0,02
R06	12296587	12324912	12322885	12296587	12296587	12460774	12460774	12455418	12296587	-1,29	-1,06	-1,08	-1,29	-1,29	0,04	0,04
R07	14117586	14236337	14166940	14117586	14117586	14674414	14282395	14253252	14117586	-0,96	-0,12	-0,61	-0,96	-0,96	2,87	0,2
R08	14017419	14148941	14074887	14017419	14017419	14457185	14193481	14188878	14017419	-1,22	-0,28	-0,81	-1,22	-1,22	1,86	0,03
R09	13748896	13871425	13821858	13748896	13748896	14219125	13915646	13913035	13748896	-1,19	-0,3	-0,66	-1,19	-1,19	2,15	0,02
R10	13691814	13820314	13747189	13691814	13691814	14128948	13874252	13869649	13691814	-1,3	-0,36	-0,89	-1,3	-1,3	1,84	0,03
R11	13715927	13839206	13770792	13715927	13715927	14179234	13894606	13890003	13715927	-1,27	-0,37	-0,87	-1,27	-1,27	2,04	0,03
R12	13922982	14061909	14010673	13922982	13922982	14394586	14061061	14058450	13922982	-0,97	0,02	-0,34	-0,97	-0,97	2,34	0,02
R13	5408695	5416127	5461418	5408695	5408695	5775529	5493693	5464813	5408695	-1,04	-0,9	-0,06	-1,04	-1,04	5,38	0,53
R14	5438725	5462780	5511842	5438725	5438725	5550692	5550692	5492135	5438725	-0,98	-0,54	0,36	-0,98	-0,98	1,05	1,05
R15	5663908	5671616	5742635	5663908	5663908	5794206	5769540	5702654	5663908	-0,68	-0,55	0,7	-0,68	-0,68	1,58	1,16
R16	5793809	5802139	5883715	5793809	5793809	6165186	5890110	5831703	5793809	-0,65	-0,51	0,88	-0,65	-0,65	5,41	0,99
R17	6025531	6033695	6093834	6025531	6025531	6406917	6122804	6085634	6025531	-1	-0,86	0,13	-1	-1	5,01	0,61
R18	5365603	5400594	5432628	5363699	5363699	5474312	5474312	5426793	5363699	-1,14	-0,49	0,11	-1,18	-1,18	0,87	0,87
R19	5952349	5960405	6024821	5952349	5952349	6329907	6049536	6012071	5952349	-1	-0,87	0,21	-1	-1	5,02	0,62
R20	6128530	6139109	6197774	6128530	6128530	6503933	6219462	6194698	6128530	-1,08	-0,91	0,05	-1,08	-1,08	4,75	0,4

R21	6183085	6191745	6258172	6183085	6183085	6553937	6271193	6246364	6183085	-1,02	-0,88	0,19	-1,02	-1,02	4,69	0,4
R22	6192863	6203251	6265426	6192863	6192863	6559997	6282042	6258140	6192863	-1,05	-0,88	0,12	-1,05	-1,05	4,6	0,38
R23	6067533	6076125	6145072	6067533	6067533	6435148	6152249	6131289	6067533	-1,05	-0,91	0,22	-1,05	-1,05	4,72	0,34
R24	6235927	6247377	6309471	6235927	6235927	6611957	6328317	6302172	6235927	-1,06	-0,88	0,12	-1,06	-1,06	4,69	0,41
R25	5097639	5165922	5141792	5097639	5097639	5105978	5098012	5098012	5097639	-0,01	1,31	0,85	-0,01	-0,01	0,16	0
R26	5343427	5420814	5393193	5343427	5343427	5351913	5343800	5343800	5343427	-0,01	1,42	0,92	-0,01	-0,01	0,15	0
R27	5566579	5648171	5621027	5566579	5566579	5574307	5567193	5567193	5566579	-0,01	1,43	0,96	-0,01	-0,01	0,13	0
R28	5705771	5793028	5766648	5705771	5705771	5714360	5706144	5706144	5705771	-0,01	1,5	1,05	-0,01	-0,01	0,14	0
R29	6046057	6141013	6114502	6046057	6046057	6054287	6046555	6046555	6046057	-0,01	1,54	1,11	-0,01	-0,01	0,13	0
R30	5147474	5202849	5182501	5147474	5147474	5155068	5147723	5147723	5147474	0	1,06	0,67	0	0	0,14	0
R31	5934380	6028936	6002186	5934380	5934380	5943274	5934878	5934878	5934380	-0,01	1,56	1,12	-0,01	-0,01	0,14	0
R32	6139606	6237512	6217992	6139606	6139606	6149129	6140104	6140104	6139606	-0,01	1,56	1,25	-0,01	-0,01	0,15	0
R33	5980728	6078483	6056181	5980728	5980728	5988697	5981226	5981226	5980728	-0,01	1,6	1,24	-0,01	-0,01	0,12	0
R34	6207890	6304620	6285817	6207890	6207890	6217533	6208388	6208388	6207890	-0,01	1,53	1,23	-0,01	-0,01	0,15	0
R35	5975209	6070899	6050441	5975209	5975209	5982919	5975707	5975707	5975209	-0,01	1,57	1,24	-0,01	-0,01	0,12	0
R36	6255273	6352857	6332291	6255273	6255273	6263838	6255771	6255771	6255273	-0,01	1,53	1,21	-0,01	-0,01	0,13	0

Tabel 5. 15 Deviation Percentage Terhadap 85 Data Campuran

Nama	Inisial Basic Feasible Solution (IBFS)								Optimal	Deviation Percentage (%)							
	VAM	TDM1	TOCM-MT	JHM	BCE	IAM	IAM-PV	TOCM-PV		VAM	TDM1	TOCM-MT	JHM	BCE	IAM	IAM-PV	TOCM-PV
S01	214394	217000	214828	214394	214394	218289	214974	214449	214394	0	1,22	0,2	0	0	1,82	0,27	0,03
S02	216570	218786	217051	216570	216570	220744	217230	216671	216570	0	0,97	0,18	-0,05	-0,1	1,85	0,26	0,05
S03	409076	415913	415180	409076	409076	443506	418008	412834	409076	0	0,74	0,57	-0,92	-0,9	6,92	1,24	0,92
S04	403140	411304	408778	403140	403140	435026	409150	406941	403140	0	1,06	0,45	-0,94	-0,9	6,46	0,54	0,94
S05	1649732	1731106	1679307	1649732	1649732	1791152	1825143	1797381	1649732	0	-3,8	-7,03	-8,95	-9	-0,4	1,52	8,95
S06	1767639	1966498	1807828	1767639	1767639	1978354	1978354	1966498	1767639	0	0	-8,78	-11,3	-11	0,6	0,6	11,25
S07	1917304	2005105	1971126	1917304	1917304	2094790	1951496	1936506	1917304	0	3,42	1,76	-1	-1	7,56	0,77	1
S08	1750798	1820359	1819816	1750798	1750798	1995849	1831027	1819816	1750798	0	0,03	0	-3,94	-3,9	8,82	0,61	3,94
S09	1665063	1783944	1767153	1665063	1665063	1783944	1783944	1767153	1665063	0	0,94	0	-6,13	-6,1	0,94	0,94	6,13
S10	1374650	1458304	1403690	1374650	1374650	1490976	1396112	1397278	1374650	0	4,18	0,46	-1,65	-1,7	6,28	-0,08	1,65
S11	1509230	1596141	1530430	1509230	1509230	1697345	1544710	1515751	1509230	0	5,04	0,96	-0,43	-0,4	10,7	1,87	0,43
S12	1738720	1813469	1772090	1738720	1738720	1893231	1891055	1859734	1738720	0	-2,6	-4,95	-6,96	-7	1,77	1,66	6,96
S13	522493	531777	518615	515995	499117	997993	635470	523724	457716	14,2	1,51	-0,99	-1,5	-4,9	47,5	17,58	14,42
S14	800103	905189	820059	708066	708066	993123	884184	786174	636525	25,7	13,2	4,13	-11	-11	20,8	11,08	23,51

S15	526605	551187	535818	540756	506474	728922	640257	532173	466173	13	3,45	0,68	1,59	-5,1	27	16,88	14,16
J01	955	880	880	880	880	1075	880	880	880	8,52	0	0	0	0	22,2	0	0
J02	1745	1650	1650	1650	1650	1695	1650	1650	1650	5,76	0	0	0	0	2,73	0	0
J03	779	779	743	743	743	781	779	779	743	4,85	4,85	0	0	0	5,11	4,85	4,85
J04	5600	5600	5600	5600	5600	5600	5600	5600	5600	0	0	0	0	0	0	0	0
J05	880	980	980	840	840	1020	980	980	840	4,76	16,7	16,67	0	0	21,4	16,67	16,67
J06	59	59	61	59	59	66	69	61	59	0	0	3,39	0	0	11,9	16,95	3,39
J07	28	28	28	28	28	28	28	28	28	0	0	0	0	0	0	0	0
J08	475	475	435	460	435	520	520	520	435	9,2	9,2	0	5,75	0	19,5	19,54	19,54
J09	390	400	390	390	390	570	390	390	390	0	2,56	0	0	0	46,2	0	0
J10	1600	1595	1580	1580	1580	1880	1595	1710	1580	1,27	0,95	0	0	0	19	0,95	8,23
J11	49	53	53	49	49	61	49	53	49	0	8,16	8,16	0	0	24,5	0	8,16
J12	470	435	435	420	410	420	415	435	410	14,6	6,1	6,1	2,44	0	2,44	1,22	6,1
J13	2850	2850	2850	2850	2850	2850	2850	2850	2850	0	0	0	0	0	0	0	0
J14	187	186	187	183	187	183	183	192	183	2,19	1,64	2,19	0	2,19	0	0	4,92
J15	859	859	799	799	799	868	859	799	799	7,51	7,51	0	0	0	8,64	7,51	0
J16	273	273	273	273	273	273	273	275	273	0	0	0	0	0	0	0	0,73
J17	1220	1160	1160	1170	1170	1315	1160	1160	1160	5,17	0	0	0,86	0,86	13,4	0	0

J18	204	200	200	218	204	218	200	200	200	2	0	0	9	2	9	0	0
J19	248	248	240	240	240	248	249	249	240	3,33	3,33	0	0	0	3,33	3,75	3,75
J20	820	820	820	820	820	855	820	820	820	0	0	0	0	0	4,27	0	0
J21	190	190	190	190	192	194	190	190	190	0	0	0	0	1,05	2,11	0	0
J22	92	83	83	83	83	115	88	88	83	10,8	0	0	0	0	38,6	6,02	6,02
J23	3520	3570	3460	3460	3460	3790	3570	3460	3460	1,73	3,18	0	0	0	9,54	3,18	0
J24	990	990	910	960	910	1080	990	990	910	8,79	8,79	0	5,49	0	18,7	8,79	8,79
J25	1680	1670	1670	1690	1670	3280	1690	1690	1670	0,6	0	0	1,2	0	96,4	1,2	1,2
J26	2400	2400	2400	2340	2280	2360	2400	2360	2280	5,26	5,26	5,26	2,63	0	3,51	5,26	3,51
J27	2980	2980	2500	2500	2460	3280	3020	2500	2460	21,1	21,1	1,63	1,63	0	33,3	22,76	1,63
J28	327	291	291	327	291	319	291	291	291	12,4	0	0	12,37	0	9,62	0	0
J29	5125	4550	5225	4525	4525	4550	4550	4525	4525	13,3	0,55	15,47	0	0	0,55	0,55	0
J30	960	960	930	920	920	920	960	960	920	4,35	4,35	1,09	0	0	0	4,35	4,35
J31	859	849	809	809	809	855	849	809	809	6,18	4,94	0	0	0	5,69	4,94	0
J32	476	465	417	417	417	495	465	417	417	14,2	11,5	0	0	0	18,7	11,51	0
J33	3778	3572	3513	3487	3458	4147	3513	3513	3458	9,25	3,3	1,59	0,84	0	19,9	1,59	1,59
J34	112	117	109	112	109	112	119	125	109	2,75	7,34	0	2,75	0	2,75	9,17	14,68
R01	12175097	12208071	12210362	12175097	12175097	12869231	12346537	12322042	12175097	0	0,27	0,29	0	0	5,7	1,41	1,21

R02	12793609	12869920	12826647	12793609	12793609	13435114	12962364	12939800	12793609	0	0,6	0,26	0	0	5,01	1,32	1,14
R03	13243021	13331185	13277784	13243021	13243021	13857828	13411490	13402909	13243021	0	0,67	0,26	0	0	4,64	1,27	1,21
R04	12928429	13006080	12965785	12928429	12928429	13495738	13098507	13092722	12928429	0	0,6	0,29	0	0	4,39	1,32	1,27
R05	13657053	13775787	13700907	13657053	13657053	14172575	13836003	13832598	13657053	0	0,87	0,32	0	0	3,77	1,31	1,29
R06	12296587	12324912	12322885	12296587	12296587	12460774	12460774	12455418	12296587	0	0,23	0,21	0	0	1,34	1,34	1,29
R07	14117586	14236337	14166940	14117586	14117586	14674414	14282395	14253252	14117586	0	0,84	0,35	0	0	3,94	1,17	0,96
R08	14017419	14148941	14074887	14017419	14017419	14457185	14193481	14188878	14017419	0	0,94	0,41	0	0	3,14	1,26	1,22
R09	13748896	13871425	13821858	13748896	13748896	14219125	13915646	13913035	13748896	0	0,89	0,53	0	0	3,42	1,21	1,19
R10	13691814	13820314	13747189	13691814	13691814	14128948	13874252	13869649	13691814	0	0,94	0,4	0	0	3,19	1,33	1,3
R11	13715927	13839206	13770792	13715927	13715927	14179234	13894606	13890003	13715927	0	0,9	0,4	0	0	3,38	1,3	1,27
R12	13922982	14061909	14010673	13922982	13922982	14394586	14061061	14058450	13922982	0	1	0,63	0	0	3,39	0,99	0,97
R13	5408695	5416127	5461418	5408695	5408695	5775529	5493693	5464813	5408695	0	0,14	0,97	0	0	6,78	1,57	1,04
R14	5438725	5462780	5511842	5438725	5438725	5550692	5550692	5492135	5438725	0	0,44	1,34	0	0	2,06	2,06	0,98
R15	5663908	5671616	5742635	5663908	5663908	5794206	5769540	5702654	5663908	0	0,14	1,39	0	0	2,3	1,87	0,68
R16	5793809	5802139	5883715	5793809	5793809	6165186	5890110	5831703	5793809	0	0,14	1,55	0	0	6,41	1,66	0,65
R17	6025531	6033695	6093834	6025531	6025531	6406917	6122804	6085634	6025531	0	0,14	1,13	0	0	6,33	1,61	1
R18	5365603	5400594	5432628	5365603	5365603	5474312	5474312	5426793	5365603	0,04	0,69	1,29	0	0	2,06	2,06	1,18
R19	5952349	5960405	6024821	5952349	5952349	6329907	6049536	6012071	5952349	0	0,14	1,22	0	0	6,34	1,63	1

R20	6128530	6139109	6197774	6128530	6128530	6503933	6219462	6194698	6128530	0	0,17	1,13	0	0	6,13	1,48	1,08
R21	6183085	6191745	6258172	6183085	6183085	6553937	6271193	6246364	6183085	0	0,14	1,21	0	0	6	1,42	1,02
R22	6192863	6203251	6265426	6192863	6192863	6559997	6282042	6258140	6192863	0	0,17	1,17	0	0	5,93	1,44	1,05
R23	6067533	6076125	6145072	6067533	6067533	6435148	6152249	6131289	6067533	0	0,14	1,28	0	0	6,06	1,4	1,05
R24	6235927	6247377	6309471	6235927	6235927	6611957	6328317	6302172	6235927	0	0,18	1,18	0	0	6,03	1,48	1,06
R25	5097639	5165922	5141792	5097639	5097639	5105978	5098012	5098012	5097639	0	1,34	0,87	0	0	0,16	0,01	0,01
R26	5343427	5420814	5393193	5343427	5343427	5351913	5343800	5343800	5343427	0	1,45	0,93	0	0	0,16	0,01	0,01
R27	5566579	5648171	5621027	5566579	5566579	5574307	5567193	5567193	5566579	0	1,47	0,98	0	0	0,14	0,01	0,01
R28	5705771	5793028	5766648	5705771	5705771	5714360	5706144	5706144	5705771	0	1,53	1,07	0	0	0,15	0,01	0,01
R29	6046057	6141013	6114502	6046057	6046057	6054287	6046555	6046555	6046057	0	1,57	1,13	0	0	0,14	0,01	0,01
R30	5147474	5202849	5182501	5147474	5147474	5155068	5147723	5147723	5147474	0	1,08	0,68	0	0	0,15	0	0
R31	5934380	6028936	6002186	5934380	5934380	5943274	5934878	5934878	5934380	0	1,59	1,14	0	0	0,15	0,01	0,01
R32	6139606	6237512	6217992	6139606	6139606	6149129	6140104	6140104	6139606	0	1,59	1,28	0	0	0,16	0,01	0,01
R33	5980728	6078483	6056181	5980728	5980728	5988697	5981226	5981226	5980728	0	1,63	1,26	0	0	0,13	0,01	0,01
R34	6207890	6304620	6285817	6207890	6207890	6217533	6208388	6208388	6207890	0	1,56	1,26	0	0	0,16	0,01	0,01
R35	5975209	6070899	6050441	5975209	5975209	5982919	5975707	5975707	5975209	0	1,6	1,26	0	0	0,13	0,01	0,01
R36	6255273	6352857	6332291	6255273	6255273	6263838	6255771	6255771	6255273	0	1,56	1,23	0	0	0,14	0,01	0,01

Tabel 5. 16 Jumlah Data *Improvement Percentage* Untuk 85 Data Campuran

Metode	Angka Positif	Angka Nol	Angka Negatif
VAM	16	10	59
TDM1	44	17	24
TOCM-MT	34	23	28
JHM	4	16	65
BCE	3	14	68
IAM	73	5	7
IAM-PV	44	32	7

Tabel 5. 17 Jumlah Data Optimal dan Akurasi Untuk 85 Data Campuran

Metode	Optimal	Akurasi (%)
VAM	56	65,88
TDM1	14	16,47
TOCM-MT	24	28,24
JHM	71	83,53
BCE	78	91,76
IAM	6	7,06
IAM-PV	14	16,47
TOCM-PV	16	18,82

5.7 Hasil Uji Waktu

Hasil uji waktu diperlukan untuk membuktikan bahwa metode IBFS lebih unggul waktu eksekusinya dibandingkan dengan TORA. Seluruh metode dihitung waktu eksekusinya dan tuliskan dalam satuan detik. Berikut adalah tabel hasil uji waktu terhadap seluruh metode.

Tabel 5. 18 Waktu Eksekusi Seluruh Metode

Nama	IBFS								Optimal (TORA)
	IAM	IAM- PV	VAM	TDMI	TOCM- MT	JHM	BCE	TOCM- PV	
S1	2,955	0,2609	0,992	2,769	2,734	0,843	1,108	0,2251	1,414
S2	3,364	0,31	1,45	2,844	3	0,7701	1,262	0,1659	1,512
S3	3,133	0,2863	1,373	2,733	2,972	0,6857	1,041	0,1471	1,125
S4	3,094	0,2456	0,911	2,723	2,886	0,8319	1,279	0,1615	1,237
S5	3,077	0,228	0,853	2,808	2,832	0,708	1,244	0,1268	1,133
S6	2,996	0,2823	0,83	2,746	2,997	1,039	1,558	0,1878	1,323
S7	3,14	0,2863	0,927	2,721	3,009	0,8947	1,228	0,2024	1,439
S8	3,113	0,2745	0,854	2,835	2,754	0,9222	1,253	0,2258	1,471
S9	2,954	0,2515	0,852	2,779	2,831	1,249	1,626	0,1574	1,114
S10	2,916	0,3005	0,861	2,767	2,902	0,7876	1,216	0,1827	1,228
S11	2,922	0,3015	0,799	2,754	2,875	1,009	1,241	0,1689	1,232
S12	2,886	0,253	0,7912	2,818	2,981	0,9244	1,326	0,1786	1,462
S13	11,31	2,926	0,782	9,709	10	6,155	5,94	1,412	1,348
S14	11,08	2,82	0,799	9,767	9,339	7,564	8,532	1,378	1,425
S15	10,87	2,813	0,85	9,699	10,65	5,667	6,827	1,29	1,283
Srinivasan [22]	0,2549	0,1067	0,6332	0,152	21.280	0,169	0,0667	0,05324	0,814
Goyal [23]	0,2486	0,09785	0,8345	16.570	11.390	0,7577	0,1333	0,07549	0,611
Deshmukh [17]	0,2543	0,09603	0,6923	0,119	0,5623	25.020	0,0939	0,05709	0,667
Ramadan [24]	0,435	0,09239	13.615	0,088	0,0692	0,1472	0,0353	0,06375	0,638

Kulkarni [25]	0,2485	0,144	0,7524	0,575	0,5719	0,1374	0,1169	0,06629	0,632
Schrenk [26]	0,2691	0,1047	0,7135	0,995	0,0653	31.190	0,061	0,09492	0,762
Samuel [27]	0,2153	0,09279	0,9231	0,322	0,0915	0,2839	0,0633	0,05431	0,593
Imam [28]	0,2192	0,102	0,852	20.640	15.820	0,1208	0,0434	0,1298	0,514
Adlakha [29]	0,3063	0,1392	0,7634	17.580	14	0,4754	0,1122	0,06742	0,689
kaur [18]	0,2421	0,1033	0,9341	0,091	0,0871	0,1294	0,0725	0,0537	0,662
Patel [30]	0,2683	0,1231	0,7243	0,094	0,0699	0,1405	0,0631	0,1316	0,561
Ahmed [15]	0,258	0,1337	0,7545	0,762	13.740	0,1455	0,0933	0,07127	0,656
Ahmed [21]	0,2502	0,09756	0,5343	0,134	0,0605	0,155	0,0564	0,0513	0,633
Ahmed [21]	0,2737	0,1198	0,8735	16.330	18.780	0,1282	0,0855	0,123	0,752
Uddin [5]	0,2304	0,1038	0,6835	0,333	0,209	0,6506	0,093	0,07462	0,677
Uddin [5]	0,2738	0,1307	0,6324	0,073	0,1125	0,4907	0,0602	0,05548	0,591
Das [4]	0,2318	0,1377	0,7943	0,207	0,1236	0,4826	0,0618	0,06266	0,603
Khan [11]	0,2583	0,112	0,9124	0,08	0,0784	0,1193	0,0583	0,0642	0,666
Azad [31]	0,2692	0,1026	0,7842	0,101	0,4745	0,8759	0,0851	0,1065	0,623
Morade [14]	0,2159	0,1106	0,7598	0,191	0,6761	0,7804	0,045	0,05383	0,599
Jude [32]	0,245	0,1048	0,7564	0,257	0,7062	0,1427	0,0496	0,05438	0,625
Jude [32]	0,2675	0,1367	0,753	0,113	0,0687	15.620	0,0409	0,07749	0,776
Hosseini [6]	0,2373	0,1227	0,7497	0,481	15.190	0,5666	0,1664	0,04961	0,576
Amaliah [2]	0,2095	0,1337	0,7463	0,27	0,1206	0,1198	0,0745	0,05523	0,668
Amaliah [2]	0,2364	0,1443	0,7429	0,259	11.360	0,9035	0,0612	0,1012	0,833
Amaliah [2]	0,2496	0,1322	0,7395	12.010	0,3719	18.530	0,0794	0,05889	0,629
Amaliah [2]	0,2034	0,1458	0,7361	0,07	0,4832	10.920	0,055	0,07497	0,561
Amaliah [2]	0,2107	0,141	0,8423	28.360	0,6593	0,1228	0,052	0,1076	0,691
Juman [1]	0,2672	0,09599	0,7823	11.790	0,0528	0,1638	0,0477	0,05025	0,735
Juman [1]	0,24	0,1002	0,6621	0,773	0,0557	0,1228	0,0427	0,08296	0,633
Juman [1]	0,2366	0,098	0,7824	0,071	0,4776	11.630	0,0499	0,05956	0,755
Juman [1]	0,246	0,112	0,6642	0,289	0,0624	12.720	0,0437	0,05694	0,667
Juman [1]	0,3063	0,1267	0,7141	10.320	0,0991	0,1534	0,0963	0,1024	0,593

Juman [1]	0,319	0,1368	0,8431	0,092	12.490	16.300	0,0923	0,08033	0,655
R1	2,314	0,3148	1	2,237	2,173	0,6445	0,878	0,1939	1,566
R2	2,559	0,2416	1	2,464	2,534	0,771	1,305	0,3095	1,537
R3	2,779	0,3054	1	2,623	2,739	0,964	1,410	0,1543	1,757
R4	3,022	0,2781	1	2,563	2,760	0,909	1,564	0,2625	1,711
R5	2,838	0,355	1	2,665	2,815	1,029	1,539	0,2099	1,965
R6	2,93	0,3144	1	2,652	2,737	0,972	1,424	0,1756	1,623
R7	2,925	0,2769	1	2,617	2,644	1,005	1,473	0,2369	1,884
R8	2,778	0,3382	1	2,562	2,684	0,975	1,539	0,2583	1,941
R9	2,836	0,2831	1	2,741	2,791	1,044	1,546	0,1995	1,754
R10	2,829	0,2473	1	2,664	2,801	0,971	1,541	0,1801	1,946
R11	2,637	0,2482	1	2,599	2,744	0,902	1,439	0,1465	2,081
R12	2,785	0,2921	1	2,617	2,690	0,971	1,620	0,146	1,872
R13	2,31	0,2481	1	2,330	2,243	0,348	0,710	0,133	1,314
R14	2,802	0,2261	1	2,417	2,427	0,328	0,572	0,1322	1,201
R15	2,956	0,2916	1	2,343	2,354	0,363	0,786	0,1393	1,322
R16	2,672	0,2597	1	2,328	2,411	0,381	0,832	0,1574	1,227
R17	2,637	0,2938	1	2,304	2,443	0,538	1,052	0,141	1,145
R18	2,811	0,3637	1	2,330	2,424	0,247	0,454	0,1625	0,912
R19	2,665	0,2843	1	2,325	2,382	0,549	0,917	0,1433	1,554
R20	2,766	0,3063	1	2,476	2,418	0,557	1,099	0,143	1,754
R21	2,575	0,3301	1	2,377	2,496	0,585	0,889	0,2043	1,562
R22	2,663	0,3023	1	2,371	2,470	0,525	1,014	0,1255	1,822
R23	2,685	0,2937	1	2,301	2,493	0,542	0,965	0,1687	1,685
R24	2,708	0,278	1	2,326	2,500	0,588	1,060	0,1505	1,756
R25	2,966	0,2941	1	1,697	1,885	0,782	1,181	0,1355	2,033
R26	2,784	0,2811	1	1,752	1,972	0,780	1,312	0,134	2,099
R27	2,72	0,2651	1	1,694	1,831	0,867	1,360	0,1571	1,975
R28	2,765	0,2487	1	1,697	1,933	0,826	1,312	0,1422	1,722

R29	2,814	0,2802	1	1,747	1,925	0,885	1,245	0,1263	1,836
R30	2,769	0,3295	1	1,721	1,950	0,867	1,315	0,1226	2,037
R31	2,814	0,2773	1	1,703	2,432	0,793	1,320	0,1967	1,944
R32	3,099	0,2842	1	1,679	1,928	0,854	1,266	0,1435	1,681
R33	2,843	0,2674	1	1,773	1,847	0,848	1,334	0,1472	1,947
R34	2,858	0,277	1	1,708	1,879	0,842	1,322	0,1632	1,748
R35	2,822	0,2773	1	1,746	1,932	0,883	1,354	0,1365	1,755
R36	2,748	0,2904	1	1,682	1,887	0,858	1,299	0,1512	1,692

BAB VI

KESIMPULAN DAN SARAN

Pada bab ini akan diberikan kesimpulan yang diperoleh selama pengerjaan tugas akhir dan saran mengenai pengembangan yang dapat dilakukan terhadap tugas akhir ini di masa yang akan datang

6.1. Kesimpulan

Dari hasil pengamatan selama proses perancangan, implementasi, dan pengujian yang dilakukan, dapat diambil kesimpulan sebagai berikut.

1. TOCM-PV terbukti dapat menghasilkan biaya lebih sedikit dari metode IAM-PV pada hasil uji coba tugas akhir ini. Hal ini karena metode TOCM-PV merubah matriks awal menjadi matriks TOCM.
2. Metode IAM-PV masih belum optimal, ini ditandai dengan nilai akurasi yang kecil yaitu 16,47% untuk 85 data uji coba. TOCM-PV mempunyai nilai akurasi yang lebih tinggi yaitu 18,82%. Sehingga kenaikan nilai akurasi TOCM-PV terhadap IAM-PV sebesar 2,35%. TOCM-PV lebih baik daripada IAM-PV lebih baik daripada IAM-PV, hal ini dibuktikan dengan 44 data dari 85 data uji coba dapat mencapai hasil biaya lebih rendah dari IAM-PV.
3. Waktu eksekusi metode TOCM-PV terbukti lebih cepat dibandingkan waktu eksekusi TORA.

6.2. Saran

Berikut merupakan beberapa saran untuk pengembangan sistem di masa yang akan datang. Saran-saran ini didasarkan pada hasil perancangan, implementasi, dan pengujian yang telah dilakukan.

1. Algoritma TOCM-PV mempunyai nilai error yang cukup rendah, namun pada beberapa *problem set* masih ditemui

kegagalan. sehingga harapannya di masa depan algoritma ini akan dikembangkan pada tahap-tahp tertentu.

2. Pengaplikasian algoritma IBFS dengan menggunakan Dev-C++ cukup memakan waktu karena harus mengubah matriks dan beberapa fungsi tidak tersedia dalam *library* seperti fungsi mencari nilai minmal, fungsi *men-sorting*, dan lain-lain. Disarankan untuk menggunakan *tools* lebih baik atau bahaasa pemrograman yang lebih modern.
3. Pada soal bertipe *Unbalance Problem*, program masih belum bisa menyesuaikan otomatis sehingga diperlukan penambahan *dummy*. Kedepannya diharapkan program yang dibuat dapat meng-*generate* sendiri penambahan *dummy* secara otomatis.

DAFTAR PUSTAKA

- [1] Z. A. M. S. Juman and M. A. Hoque, “An efficient heuristic to obtain a better initial feasible solution to the transportation problem,” *Appl. Soft Comput. J.*, vol. 34, pp. 813–826, 2015.
- [2] B. Amaliah, C. Faticah, and E. Suryani, “Total opportunity cost matrix – Minimal total: A new approach to determine initial basic feasible solution of a transportation problem,” *Egypt. Informatics J.*, vol. 20, no. 2, pp. 131–141, 2019.
- [3] Z. A. M. S. Juman and N. G. S. A. Nawarathne, “An efficient alternative approach to solve a transportation problem,” *Ceylon J. Sci.*, vol. 48, no. 1, p. 19, 2019.
- [4] U. K. Das, R. Ashraful Babu, A. Khan, and U. Helal, “Logical Development Of Vogel’s Approximation Method (LD-VAM): An Approach To Find Basic Feasible Solution Of Transportation Problem,” *Int. J. Sci. Technol. Res.*, vol. 3, no. 2, 2014.
- [5] S. Uddin and A. R. Khan, “Improved Least Cost Method to Obtain a Better IBFS to the Transportation Problem,” *J. Appl. Math. Bioinforma.*, vol. 6, no. 2, pp. 1–20, 2016.
- [6] E. Hosseini, “Three new methods to find initial basic feasible solution of transportation problems,” *Appl. Math. Sci.*, vol. 11, no. 37, pp. 1803–1814, 2017.
- [7] Ö. Kirca and A. Şatir, “A Heuristic for Obtaining and Initial Solution for the Transportation Problem,” *J. Oper. Res. Soc.*, vol. 41, no. 9, pp. 865–871, Sep. 1990.
- [8] M. Mathirajan and B. Meenakshi, “Experimental analysis of some variants of Vogel’s approximation method,” *Asia-Pacific J. Oper. Res.*, vol. 21, no. 4, pp. 447–462, 2004.
- [9] A. Khan, “A Re-resolution of the Transportation Problem: An Algorithmic Approach,” *Jahangirnagar Univ. J. Sci.*, vol. 34, pp. 49–62, Dec. 2011.
- [10] A. Islam, A. Khan, M. Uddin, and M. Malek, “Determination of Basic Feasible Solution of Transportation Problem: A New Approach,”

- Jahangirnagar Univ. J. Sci.*, vol. 35, pp. 101–108, Jun. 2012.
- [11] A. R. Khan, A. Vilcu, N. Sultana, and S. S. Ahmed, “Determination of initial basic feasible solution of a transportation problem: a tocm-sum approach,” *Bul. Institutului Politeh. Din Iasi*, vol. 61, no. 1, pp. 39–49, 2015.
- [12] M. Ashraful Babu, M. Abu Helal, M. Sazzad Hasan, and U. Kanti Das, “Implied Cost Method (ICM): An Alternative Approach to Find the Feasible Solution of Transportation Problem,” *Type Double Blind Peer Rev. Int. Res. J. Publ. Glob. Journals Inc*, vol. 14, no. 1, 2014.
- [13] P. Kousalya and P.Malarvizhi, “A New Technique for Finding Initial Basic Feasible Solution to Transportation Problem,” *Int. J. Eng. Manag. Res.*, vol. 6, no. 3, pp. 26–32, 2016.
- [14] N. M. Morade, “New Method to find initial basic feasible solution of Transportation Problem using MSDM,” *Int. J. Comput. Sci. Eng.*, vol. 5, no. 12, pp. 223–226, 2017.
- [15] M. M. Ahmed, A. R. Khan, F. Ahmed, and M. S. Uddin, “Incessant Allocation Method for Solving Transportation Problems,” *Am. J. Oper. Res.*, vol. 06, no. 03, pp. 236–244, 2016.
- [16] M. M. Ahmed, M. A. Islam, M. Katun, S. Yesmin, and M. S. Uddin, “New Procedure of Finding an Initial Basic Feasible Solution of the Time Minimizing Transportation Problems,” *Open J. Appl. Sci.*, vol. 05, no. 10, pp. 634–640, 2015.
- [17] N. M. Deshmukh, “an Innovative Method for Solving Transportation,” *Int. J. Phys. Math. Sci.*, vol. 2, no. 3, pp. 86–91, 2012.
- [18] L. Kaur, M. Rakshit, and S. Singh, “An Improvement in Maximum Difference Method to Find Initial Basic Feasible Solution for Transportation Problem,” *Int. J. Comput. Sci. Eng.*, vol. 6, no. 9, pp. 533–535, 2018.

- [19] D. Informatika, *PENCARIAN INITIAL BASIC FEASIBLE SOLUTION PADA TRANSPORTATION PROBLEM DENGAN MENGGUNAKAN INCESSANT*. 2018.
- [20] H. A. Taha, “Taha - Operation Research 8Ed.pdf.” p. 838, 2007.
- [21] M. M. Ahmed, A. R. Khan, M. S. Uddin, and F. Ahmed, “A New Approach to Solve Transportation Problems,” *Open J. Optim.*, vol. 05, no. 01, pp. 22–30, 2016.
- [22] V. Srinivasan and G. L. Thompson, “Cost operator algorithms for the transportation problem,” *Math. Program.*, vol. 12, no. 1, pp. 372–391, 1977.
- [23] S. K. Goyal, “Improving VAM for Unbalanced Transportation Problems,” *J. Oper. Res. Soc.*, vol. 35, no. 12, pp. 1113–1114, 1984.
- [24] S. Z. Ramadan and I. Z. Ramadan, “Hybrid two-stage algorithm for solving transportation problem,” *Mod. Appl. Sci.*, vol. 6, no. 4, pp. 12–22, 2012.
- [25] S. S. Kulkarni, “on Solution To Modified Unbalanced Transportation Problem,” *Bull. Marathwada Math. Soc.*, vol. 11, no. 2, pp. 20–26, 2010.
- [26] S. Schrenk, G. Finke, and V.-D. Cung, “Two classical transportation problems revisited: Pure constant fixed charges and the paradox,” *Math. Comput. Model.*, vol. 54, pp. 2306–2315, Nov. 2011.
- [27] A. E. Samuel, “Improved Zero Point Method (IZPM) for the Transportation Problems,” *Appl. Math. Sci.*, vol. 6, no. 109, pp. 5421–5426, 2012.
- [28] T. Imam, G. Elsharawy, M. Gomah, and I. Samy, “Solving Transportation Problem Using Object-Oriented Model,” *Comput. Sci. Netw. Secur.*, vol. 9, Jan. 2009.
- [29] V. Adlakha and K. Kowalski, “Alternate Solutions Analysis For Transportation Problems,” *J. Bus. Econ. Res.*, vol. 7, no. 11, pp. 41–50, Feb. 2009.
- [30] R. . G.Patel, D. P. H. Bhathawala, and D. B. . S.Patel, ““An Alternate Approach to Find an Optimal Solution of a

- Transportation Problem.,” *IOSR J. Math.*, vol. 13, no. 01, pp. 01–05, 2017.
- [31] S. M. A. K. Azad and M. B. Hossain, “A New Method for Solving Transportation Problems Considering Average Penalty,” *IOSR J. Math.*, vol. 13, no. 01, pp. 40–43, 2017.
- [32] O. Jude, “Comparison of Existing Methods of Solving Linear Transportation Problems with a New Approach,” *Int. J. Innov. Sci. Math.*, vol. 4, no. 5, pp. 158–163, 2016.

LAMPIRAN A

Lampiran A. Lima Belas Data Sintesis

S1:

$[C_{ij}]_{2 \times 94} = [45\ 33\ 48\ 51\ 42\ 41\ 35\ 45\ 44\ 44\ 42\ 42\ 50\ 40$
46 53 39 45 38 53 44 55 56 44 39 59 47 44 47
41 42 49 56 35 46 37 46 46 44 45 39 32 48 60
45 53 48 36 39 49 52 52 46 47 46 47 42 46 45
48 50 45 45 36 34 47 43 45 43 49 42 37 59 46
45 45 36 46 54 49 46 48 44 65 45 54 48 45 45
59 33 49 52 52; 55 40 42 48 43 50 51 52 39
56 44 45 58 46 35 39 36 44 44 44 51 44 51 57
45 40 49 41 49 45 59 47 38 38 51 48 39 39 40
46 47 49 50 46 42 47 53 39 48 39 43 38 41 47
41 37 44 58 46 44 43 40 50 45 44 45 39 41 51
41 52 45 51 47 42 43 53 34 50 46 44 46 43 52
33 52 38 45 51 51 56 49 44 49]

$[S_i]_{2 \times 1} = [3407, 1605]$

$[D_j]_{1 \times 94} = [46\ 51\ 50\ 65\ 61\ 47\ 54\ 58\ 55\ 57\ 48\ 53\ 48\ 47$
58 53 55 55 43 60 64 50 52 49 57 46 45 50 58
61 51 54 51 53 59 52 60 63 49 56 64 56 52 54
52 64 57 51 56 50 55 48 53 54 60 58 52 51 41
50 55 52 59 54 57 47 57 39 63 50 49 45 54 51
50 54 42 53 54 55 57 50 60 55 47 49 52 57 51
49 58 63 51 51]

S2:

$[C_{ij}]_{2 \times 94} = [45\ 33\ 48\ 51\ 42\ 41\ 35\ 45\ 44\ 44\ 42\ 42\ 50\ 40$
46 53 39 45 38 53 44 55 56 44 39 59 47 44 47

41 42 49 56 35 46 37 46 46 44 45 39 32 48 60
 45 53 48 36 39 49 52 52 46 47 46 47 42 46 45
 48 50 45 45 36 34 47 43 45 43 49 42 37 59 46
 45 45 36 46 54 49 46 48 44 65 45 54 48 45 45
 59 33 49 52 52; 55 40 42 48 43 50 51 52 39
 56 44 45 58 46 35 39 36 44 44 44 51 44 51 57
 45 40 49 41 49 45 59 47 38 38 51 48 39 39 40
 46 47 49 50 46 42 47 53 39 48 39 43 38 41 47
 41 37 44 58 46 44 43 40 50 45 44 45 39 41 51
 41 52 45 51 47 42 43 53 34 50 46 44 46 43 52
 33 52 38 45 51 51 56 49 44 49]

$$[S_i]_{2 \times 1} = [3407, 1658]$$

$$[D_j]_{1 \times 94} = [50 55 60 53 58 54 51 58 46 63 49 54 49 62 \\
 50 61 55 63 56 47 56 48 56 61 47 60 58 46 60 \\
 52 54 59 51 48 53 48 51 50 50 51 59 59 52 52 \\
 45 50 48 47 53 58 56 48 59 49 49 56 55 50 52 \\
 59 51 50 53 61 57 56 49 48 53 46 60 48 54 53 \\
 53 60 54 56 55 57 58 52 63 56 51 55 53 54 57 \\
 58 52 64 52 57]$$

S3:

$$[C_{ij}]_{2 \times 94} = [68 21 55 36 65 65 74 38 56 67 68 54 95 20 \\
 42 77 87 96 82 80 93 64 43 89 53 78 86 36 25 \\
 19 46 9 30 67 10 81 84 82 88 26 44 8 66 92 \\
 56 75 70 3 33 5 49 31 42 73 36 9 65 92 30 89 \\
 70 12 82 51 69 40 90 66 27 54 83 48 48 39 31 \\
 85 94 25 73 47 70 17 57 57 26 68 82 52 66 21 \\
 50 11 95 91; 40 1 43 10 84 39 65 62 25 72 33 \\
 14 61 92 18 92 21 15 70 20 52 52 85 54 38 24 \\
 21 45 59 65 19 8 33 48 5 14 31 4 68 30 85 18]$$

72 8 32 78 88 33 74 86 98 73 20 94 80 41 1
 67 29 58 52 26 39 86 27 48 8 2 51 35 38 18
 40 48 97 55 19 15 94 75 5 11 72 56 71 33 71
 96 96 62 2 19 71 26]

$$[S_i]_{2 \times 1} = [5220 \ 4331]$$

$$[D_j]_{1 \times 94} = [46 \ 51 \ 50 \ 65 \ 61 \ 47 \ 54 \ 58 \ 55 \ 57 \ 48 \ 53 \ 48 \ 47 \\
 58 \ 53 \ 55 \ 55 \ 43 \ 60 \ 64 \ 50 \ 52 \ 49 \ 57 \ 46 \ 45 \ 50 \ 58 \\
 61 \ 51 \ 54 \ 51 \ 53 \ 59 \ 52 \ 60 \ 63 \ 49 \ 56 \ 64 \ 56 \ 52 \ 54 \\
 52 \ 64 \ 57 \ 51 \ 56 \ 50 \ 55 \ 48 \ 53 \ 54 \ 60 \ 58 \ 52 \ 51 \ 41 \\
 50 \ 55 \ 52 \ 59 \ 54 \ 57 \ 47 \ 57 \ 39 \ 63 \ 50 \ 49 \ 45 \ 54 \ 51 \\
 50 \ 54 \ 42 \ 53 \ 54 \ 55 \ 57 \ 50 \ 60 \ 55 \ 47 \ 49 \ 52 \ 57 \ 51 \\
 49 \ 58 \ 63 \ 51 \ 51]$$

S4:

$$[C_{ij}]_{2 \times 94} = [28 \ 32 \ 28 \ 53 \ 44 \ 93 \ 51 \ 92 \ 10 \ 61 \ 52 \ 24 \ 8 \ 9 \ 68 \\
 50 \ 43 \ 7 \ 38 \ 88 \ 53 \ 39 \ 81 \ 73 \ 33 \ 41 \ 51 \ 85 \ 87 \ 49 \\
 51 \ 90 \ 85 \ 99 \ 74 \ 23 \ 20 \ 52 \ 16 \ 34 \ 100 \ 49 \ 46 \ 16 \\
 88 \ 33 \ 32 \ 64 \ 22 \ 20 \ 11 \ 15 \ 27 \ 75 \ 54 \ 30 \ 4 \ 27 \ 33 \\
 81 \ 97 \ 4 \ 84 \ 37 \ 31 \ 36 \ 11 \ 19 \ 21 \ 35 \ 24 \ 62 \ 35 \ 90 \\
 97 \ 1 \ 6 \ 83 \ 16 \ 9 \ 56 \ 24 \ 11 \ 77 \ 64 \ 56 \ 43 \ 54 \ 8 \ 23 \\
 73 \ 97 \ 11 \ 24; \ 58 \ 69 \ 71 \ 60 \ 22 \ 95 \ 25 \ 48 \ 78 \ 74 \\
 65 \ 99 \ 9 \ 25 \ 34 \ 53 \ 46 \ 52 \ 90 \ 10 \ 46 \ 51 \ 56 \ 79 \ 39 \\
 70 \ 57 \ 47 \ 96 \ 100 \ 45 \ 68 \ 100 \ 36 \ 51 \ 80 \ 47 \ 86 \ 85 \\
 20 \ 78 \ 76 \ 47 \ 97 \ 55 \ 8 \ 39 \ 91 \ 78 \ 91 \ 9 \ 59 \ 81 \ 36 \\
 77 \ 71 \ 9 \ 33 \ 23 \ 40 \ 29 \ 10 \ 93 \ 63 \ 65 \ 1 \ 17 \ 74 \ 73 \\
 96 \ 70 \ 68 \ 32 \ 40 \ 72 \ 22 \ 95 \ 57 \ 92 \ 73 \ 11 \ 14 \ 23 \ 36 \\
 67 \ 58 \ 93 \ 25 \ 39 \ 41 \ 12 \ 34 \ 19 \ 68]$$

$$[S_i]_{2 \times 1} = [4261, \ 5122]$$

$[D_j]_{1 \times 94}$	$=$ [86 101 99 113 66 188 76 140 88 135 117 123 17 34 102 103 89 59 128 98 99 90 137 152 72 111 108 132 183 149 96 158 185 135 125 103 67 138 101 54 178 125 93 113 143 41 71 155 100 111 20 74 108 111 131 101 13 60 56 121 126 14 177 100 96 37 28 93 94 131 94 130 67 130 169 23 101 140 108 82 67 38 34 113 131 114 136 79 47 64 85 131 30 92]
S5:	
$[C_{ij}]_{2 \times 94}$	$=$ [68 21 18 92 31 72 33 19 49 66 33 63 43 91 96 97 92 53 56 74 98 73 93 79 48 20 35 70 8 31 31 15 64 57 36 58 79 25 92 85 86 72 77 40 21 40 89 14 39 5 8 84 65 41 91 78 66 23 98 75 18 61 48 10 57 72 55 72 22 84 76 20 17 33 31 2 57 10 31 36 75 63 73 37 84 51 69 37 77 9 12 43 22 26; 73 9 40 43 93 95 43 34 96 59 71 46 62 29 28 1 48 61 6 97 13 17 70 18 44 63 54 63 56 78 46 79 7 22 83 6 42 89 23 86 50 76 58 24 49 83 25 59 6 88 28 98 2 45 94 39 61 72 9 47 27 40 4 92 48 60 94 55 15 93 29 34 85 89 28 50 90 100 10 60 80 19 68 82 47 10 99 6 52 7 49 44 44 52]
$[S_i]_{2 \times 1}$	$=$ [16599, 31138]
$[D_j]_{1 \times 94}$	$=$ [69 893 62 597 505 315 273 961 823 445 985 968 505 948 878 141 312 75 64 467 507 988 414 863 537 443 109 690 884 802 476 331 880 844 714 661 354 618 117 18 866 912 762 138 346 108 600 485 432 882 321 868 305 995 544 51 287 334 519 51 356 506 86 957]

689 525 553 85 571 302 601 848 590 287 90
 355 450 153 574 787 450 967 118 731 720
 192 692 867 405 648 441 410 33 356]

S6:

$[C_{ij}]_{2 \times 94} =$ [10 38 67 66 43 88 89 92 15 94 71 96 19 61
 93 95 48 43 80 95 10 81 18 19 54 61 68 6 50
 67 72 90 72 85 49 9 8 81 91 93 99 63 91 27 9
 84 11 84 28 12 56 43 4 74 43 83 40 84 66 36
 79 31 77 28 89 24 20 88 86 32 56 15 53 44 3
 74 27 3 88 9 33 46 10 36 40 64 94 5 48 57 84
 75 6 70; 43 12 86 74 97 25 35 40 73 51 34 32
 99 96 99 75 97 22 55 46 12 43 26 25 73 34 42
 98 69 8 16 30 4 10 80 21 11 96 36 12 29 91
 22 66 15 46 37 43 48 17 31 98 20 66 25 23 13
 44 57 49 66 34 43 10 86 27 65 24 23 90 18 69
 100 53 21 67 66 35 54 24 74 19 85 89 46 63
 44 49 9 60 93 43 99 88]

$[S_i]_{2 \times 1} =$ [11480, 34266]

$[D_j]_{1 \times 94} =$ [970 958 154 965 803 283 674 10 78 552 456
 979 25 459 973 954 523 746 405 648 206 169
 902 693 726 90 591 386 378 277 455 874 153
 875 181 462 60 875 183 440 968 104 707 565
 864 151 211 473 594 524 904 605 91 137 483
 666 400 198 477 345 789 369 560 156 993 91
 710 25 945 893 31 757 716 520 5 888 742
 522 142 399 349 379 347 463 725 676 383
 555 356 667 122 296 103 14]

S7:

$$[C_{ij}]_{2 \times 94} = [70\ 50\ 12\ 13\ 18\ 68\ 96\ 98\ 49\ 45\ 4\ 8\ 47\ 56\ 39\ 51\ 42\ 16\ 11\ 37\ 33\ 42\ 80\ 52\ 56\ 78\ 77\ 60\ 48\ 46\ 39\ 73\ 99\ 39\ 34\ 45\ 45\ 43\ 45\ 30\ 36\ 5\ 7\ 32\ 85\ 99\ 14\ 90\ 95\ 34\ 43\ 95\ 100\ 13\ 58\ 17\ 43\ 30\ 77\ 3\ 66\ 46\ 94\ 82\ 99\ 35\ 75\ 40\ 43\ 46\ 7\ 34\ 9\ 30\ 97\ 12\ 34\ 12\ 44\ 59\ 74\ 83\ 74\ 50\ 90\ 16\ 51\ 35\ 31\ 50\ 98\ 85\ 44\ 50; 43\ 43\ 8\ 85\ 80\ 84\ 49\ 59\ 82\ 96\ 32\ 92\ 57\ 4\ 59\ 63\ 49\ 44\ 19\ 46\ 1\ 63\ 52\ 70\ 49\ 44\ 84\ 36\ 38\ 83\ 93\ 62\ 48\ 52\ 51\ 3\ 97\ 40\ 77\ 8\ 32\ 96\ 4\ 59\ 73\ 73\ 42\ 65\ 73\ 44\ 57\ 98\ 90\ 4\ 44\ 31\ 40\ 99\ 99\ 36\ 100\ 32\ 5\ 4\ 62\ 88\ 48\ 44\ 68\ 45\ 85\ 34\ 72\ 36\ 91\ 67\ 86\ 71\ 79\ 46\ 58\ 12\ 5\ 42\ 75\ 46\ 37\ 37\ 97\ 53\ 91\ 5\ 87\ 5]$$

$$[S_i]_{2 \times 1} = [13781, 35594]$$

$$[D_j]_{1 \times 94} = [915\ 647\ 415\ 552\ 48\ 64\ 849\ 470\ 750\ 171\ 810\ 330\ 288\ 504\ 948\ 717\ 310\ 318\ 986\ 260\ 76\ 611\ 610\ 158\ 322\ 716\ 109\ 860\ 341\ 711\ 949\ 440\ 800\ 620\ 918\ 490\ 402\ 522\ 106\ 995\ 889\ 347\ 136\ 216\ 859\ 363\ 687\ 744\ 782\ 377\ 917\ 473\ 321\ 819\ 746\ 817\ 388\ 469\ 3\ 182\ 240\ 395\ 744\ 287\ 698\ 311\ 506\ 739\ 763\ 268\ 558\ 806\ 530\ 164\ 675\ 414\ 708\ 238\ 736\ 744\ 257\ 446\ 311\ 379\ 94\ 652\ 832\ 664\ 939\ 658\ 626\ 796\ 3\ 551]$$

S8:

$$[C_{ij}]_{2 \times 94} = [28\ 32\ 28\ 53\ 44\ 93\ 51\ 92\ 10\ 61\ 52\ 24\ 8\ 9\ 68\ 50\ 43\ 7\ 38\ 88\ 53\ 39\ 81\ 73\ 33\ 41\ 51\ 85\ 87\ 49\ 51\ 90\ 85\ 99\ 74\ 23\ 20\ 52\ 16\ 34\ 100\ 49\ 46\ 16]$$

88 33 32 64 22 20 11 15 27 75 54 30 4 27 33
 81 97 4 84 37 31 36 11 19 21 35 24 62 35 90
 97 1 6 83 16 9 56 24 11 77 64 56 43 54 8 23
 73 97 11 24; 58 69 71 60 22 95 25 48 78 74
 65 99 9 25 34 53 46 52 90 10 46 51 56 79 39
 70 57 47 96 100 45 68 100 36 51 80 47 86 85
 20 78 76 47 97 55 8 39 91 78 91 9 59 81 36
 77 71 9 33 23 40 29 10 93 63 65 1 17 74 73
 96 70 68 32 40 72 22 95 57 92 73 11 14 23 36
 67 58 93 25 39 41 12 34 19 68]

$$[S_i]_{2 \times 1} = [20865, 26877]$$

$$[D_j]_{1 \times 94} = [510 283 94 606 98 89 267 49 494 541 667$$

$$982 961 310 161 255 951 649 918 414 825$$

$$471 710 754 592 532 948 362 514 649 904$$

$$892 327 957 253 909 592 963 257 896 529$$

$$425 695 450 240 301 55 935 614 247 681 44$$

$$181 749 592 346 315 257 509 325 330 740$$

$$306 4 340 309 740 126 983 640 15 805 625$$

$$984 955 530 176 295 643 332 742 276 774$$

$$931 623 7 464 443 612 612 175 413 225 471]$$

S9:

$$[C_{ij}]_{2 \times 94} = [69 33 95 27 19 27 8 29 4 78 42 86 61 93 44$$

$$26 31 64 32 80 84 86 61 23 36 60 87 48 12 74$$

$$52 46 11 62 77 61 20 100 59 30 52 83 15 38$$

$$14 79 54 57 36 26 71 4 3 65 21 72 70 20 64$$

$$93 23 9 86 22 39 43 40 16 89 27 16 31 18 60$$

$$78 23 80 67 23 71 71 75 1 100 2 82 52 92 91$$

$$97 13 6 2 65; 61 1 26 63 33 83 64 51 70 35 22$$

$$4 60 63 18 88 12 97 74 14 16 98 41 92 41 60$$

24 3 78 74 78 33 51 49 69 16 86 29 30 78 28
 81 62 52 72 17 39 24 14 49 9 77 86 69 44 23
 30 1 82 45 49 62 21 57 59 14 42 76 5 61 36
 34 13 85 51 34 11 72 26 43 91 95 54 6 23 27
 91 75 42 45 53 51 93 8]

$$[S_i]_{2 \times 1} = [11042, 35765]$$

$$[D_j]_{1 \times 94} = [523\ 818\ 818\ 314\ 770\ 517\ 503\ 285\ 740\ 143\ 332\ 905\ 961\ 494\ 800\ 31\ 784\ 963\ 636\ 59\ 5\ 460\ 245\ 451\ 299\ 297\ 157\ 937\ 704\ 903\ 148\ 287\ 723\ 338\ 711\ 603\ 970\ 265\ 429\ 763\ 522\ 387\ 667\ 369\ 430\ 43\ 186\ 584\ 437\ 721\ 189\ 958\ 735\ 282\ 681\ 423\ 291\ 76\ 49\ 494\ 621\ 606\ 271\ 974\ 830\ 937\ 240\ 607\ 170\ 385\ 886\ 483\ 777\ 607\ 699\ 177\ 981\ 141\ 22\ 11\ 733\ 854\ 848\ 7\ 565\ 709\ 238\ 71\ 749\ 512\ 609\ 179\ 473\ 220]$$

S10:

$$[C_{ij}]_{2 \times 94} = [82\ 77\ 81\ 42\ 78\ 77\ 37\ 40\ 46\ 66\ 48\ 7\ 12\ 8\ 59\ 72\ 89\ 67\ 31\ 48\ 67\ 97\ 27\ 39\ 96\ 30\ 37\ 18\ 88\ 74\ 11\ 26\ 27\ 42\ 56\ 3\ 79\ 1\ 97\ 62\ 4\ 50\ 71\ 19\ 8\ 52\ 89\ 23\ 39\ 5\ 43\ 27\ 1\ 88\ 71\ 60\ 85\ 56\ 71\ 81\ 80\ 35\ 80\ 1\ 88\ 37\ 69\ 100\ 87\ 13\ 1\ 9\ 86\ 18\ 65\ 82\ 40\ 51\ 60\ 91\ 10\ 1\ 92\ 15\ 36\ 56\ 23\ 4\ 2\ 100\ 68\ 2\ 13\ 9;\ 20\ 84\ 85\ 49\ 63\ 38\ 36\ 82\ 52\ 65\ 55\ 99\ 18\ 75\ 57\ 40\ 78\ 53\ 65\ 3\ 77\ 50\ 79\ 70\ 7\ 43\ 50\ 88\ 58\ 49\ 78\ 70\ 75\ 35\ 95\ 5\ 48\ 67\ 74\ 26\ 6\ 76\ 1\ 87\ 69\ 54\ 88\ 37\ 31\ 19\ 40\ 60\ 72\ 20\ 8\ 13\ 23\ 87\ 29\ 21\ 3\ 27\ 74\ 4\ 68\ 16\ 48\ 47\ 92\ 9\ 86\ 85\ 6\ 37\ 31\ 9]$$

	47 54 56 39 90 23 73 55 83 44 1 56 29 68 14 79 64 33]
$[S_i]_{2 \times 1}$	= [11572, 28755]
$[D_j]_{1 \times 94}$	= [718 141 998 138 13 791 335 220 668 531 220 53 874 464 398 223 255 705 601 524 997 188 39 267 105 908 29 130 291 662 587 148 992 464 14 63 183 176 341 414 513 195 55 764 50 714 325 233 675 763 222 344 481 920 357 305 364 869 408 753 613 187 151 268 771 26 194 416 569 813 706 319 447 822 612 916 674 320 416 689 17 291 70 29 872 537 158 850 138 722 602 75 516 343]
S11:	
$[C_{ij}]_{2 \times 94}$	= [18 36 57 43 33 85 31 72 43 13 7 7 83 68 40 42 39 14 52 94 36 99 82 20 93 6 73 13 60 10 39 90 59 69 90 36 71 17 5 31 40 10 22 9 54 15 16 9 59 68 21 38 67 71 52 28 48 47 44 42 12 63 20 100 39 43 56 71 67 40 62 21 3 80 98 28 33 28 4 57 52 79 52 77 35 14 89 33 80 11 28 22 48 74; 61 60 69 15 60 73 73 25 47 38 4 99 75 97 38 3 93 23 96 21 61 66 62 89 49 45 20 90 76 16 43 1 22 56 68 27 38 2 51 74 39 21 25 48 2 40 25 28 2 42 44 46 68 31 97 5 84 47 99 64 55 32 24 3 55 86 82 37 40 51 16 60 83 26 95 82 13 8 42 83 54 54 37 58 100 59 69 87 57 39 60 64 36 99]
$[S_i]_{2 \times 1}$	= [17027, 28173]

$[D_j]_{1 \times 94}$	$=$ [662 759 867 789 625 264 703 765 20 599 380 836 364 659 843 429 86 21 554 576 374 574 289 245 90 659 337 257 168 477 333 631 674 525 512 344 690 720 811 12 675 222 882 154 788 274 607 136 938 889 917 383 543 59 188 182 700 555 808 862 285 174 322 52 984 205 88 805 819 109 429 957 597 218 249 589 295 346 410 226 460 560 327 374 946 201 60 228 461 503 472 956 534 674]
S12:	
$[C_{ij}]_{2 \times 94}$	$=$ [68 21 18 92 31 72 33 19 49 66 33 63 43 91 96 97 92 53 56 74 98 73 93 79 48 20 35 70 8 31 31 15 64 57 36 58 79 25 92 85 86 72 77 40 21 40 89 14 39 5 8 84 65 41 91 78 66 23 98 75 18 61 48 10 57 72 55 72 22 84 76 20 17 33 31 2 57 10 31 36 75 63 73 37 84 51 69 37 77 9 12 43 22 26; 73 9 40 43 93 95 43 34 96 59 71 46 62 29 28 1 48 61 6 97 13 17 70 18 44 63 54 63 56 78 46 79 7 22 83 6 42 89 23 86 50 76 58 24 49 83 25 59 6 88 28 98 2 45 94 39 61 72 9 47 27 40 4 92 48 60 94 55 15 93 29 34 85 89 28 50 90 100 10 60 80 19 68 82 47 10 99 6 52 7 49 44 44 52]
$[S_i]_{2 \times 1}$	$=$ [14893, 31967]
$[D_j]_{1 \times 94}$	$=$ [62 190 789 60 811 1 615 146 163 456 404 283 651 651 405 41 376 647 517 710 205 227 7 682 996 404 996 156 693 490 628 939 367]

109 583 665 892 829 29 897 358 866 921 904
 48 233 111 804 859 55 148 957 883 54 310
 403 339 508 134 698 434 408 49 703 364 646
 202 447 161 147 996 517 395 618 486 936
 952 629 755 46 924 533 92 227 982 379 947
 803 900 591 702 152 897 475]

S13:

$[C_{ij}]_{10 \times 94} =$ [13 93 61 63 30 96 77 26 93 99 65 52 47 46
 28 82 80 39 20 94 14 71 51 72 51 92 59 13 23
 74 97 15 18 85 80 79 58 17 47 77 64 89 61 80
 78 44 23 26 88 10 15 84 78 68 93 58 90 35 78
 40 98 63 90 30 22 59 97 97 71 64 85 27 40 20
 36 7 59 60 78 96 77 97 26 73 68 57 65 3 49
 88 21 80 29 30; 96 35 79 30 43 64 9 26 16 4
 20 36 71 77 95 44 30 32 37 27 92 52 49 80 97
 55 16 50 98 98 69 68 43 99 85 94 72 10 18 27
 66 50 58 96 84 95 84 57 37 47 98 88 12 27 70
 96 27 85 66 20 43 38 4 21 58 46 67 27 33 60
 39 38 95 21 76 65 78 48 12 63 20 1 98 24 38
 43 14 1 1 24 74 13 66 24; 66 44 86 24 62 99
 98 83 10 65 75 72 69 5 50 87 34 92 11 33 37
 20 46 5 31 78 97 66 8 25 96 84 24 52 90 15
 77 92 51 32 27 67 31 92 1 31 55 5 86 58 11
 16 46 19 68 80 61 54 58 13 21 69 75 28 42 1
 72 98 18 29 83 3 74 69 86 75 44 63 40 48 40
 97 26 11 10 9 16 40 97 96 69 27 62 76; 60 79
 49 48 57 45 58 71 29 47 83 4 3 75 51 32 35
 50 74 11 25 58 100 30 46 19 39 14 4 88 29 74
 29 39 80 87 90 72 67 57 35 1 86 53 40 86 47
 9 46 10 4 97 33 13 30 90 97 87 90 28 62 81

54 33 71 6 35 85 20 16 85 43 20 2 66 19 85
68 30 81 74 51 92 66 84 52 31 33 82 33 56
100 92 42; 24 65 70 28 3 79 72 65 13 75 62 7
6 51 40 7 8 42 93 63 87 29 90 68 27 92 45 4
53 96 19 18 74 94 43 30 35 95 6 64 17 95 66
4 71 89 39 29 24 98 71 32 32 52 52 76 54 22
58 46 41 43 46 72 7 6 45 8 43 59 64 81 61 1
91 34 98 84 62 69 9 36 93 73 46 14 45 83 65
40 80 78 20 25; 44 80 81 96 93 86 91 15 17
32 26 97 3 60 91 97 84 11 7 67 28 52 43 76
42 73 9 43 79 31 74 24 4 46 35 35 16 12 71 3
52 32 72 26 48 67 87 61 86 34 38 36 76 61 80
12 80 18 35 37 10 38 38 90 55 30 11 40 69 94
52 52 98 13 4 27 100 100 73 92 42 33 48 32 9
4 20 66 78 4 35 81 6 84; 13 97 10 2 33 4 11
35 77 89 100 50 82 78 65 47 97 89 3 20 99 19
95 14 68 99 44 99 26 89 22 10 98 61 28 12 94
14 23 27 22 54 59 84 14 46 51 83 8 53 53 77
56 43 68 3 44 6 32 6 80 12 60 1 97 87 37 37
97 99 70 78 50 96 81 39 75 31 87 7 71 32 10
52 8 12 51 16 23 54 74 44 36 98; 47 45 77 63
43 34 54 59 81 59 66 52 7 74 23 65 29 97 98
70 56 42 86 82 83 14 16 19 78 95 31 31 17 67
22 95 34 82 24 11 48 60 55 25 90 43 31 65 45
55 31 43 34 96 51 19 1 59 84 68 49 28 86 57
93 45 10 24 6 81 82 7 20 96 83 29 17 10 8 12
40 2 46 16 61 5 56 84 47 11 83 1 16 36; 46 4
18 85 86 30 97 1 84 15 39 13 73 86 100 80 76
1 69 32 92 92 54 63 85 90 55 58 36 65 63 7
37 53 71 66 86 70 95 78 10 94 100 82 43 67
49 92 52 30 55 49 93 39 44 94 36 33 44 88 90
84 69 74 81 36 3 65 79 40 41 17 75 16 24 41
93 77 32 51 50 83 72 51 50 24 24 38 47 81 76

56 51 29; 75 16 79 6 81 36 100 54 90 80 45
 41 55 32 68 47 4 10 89 31 43 94 23 55 12 48
 43 23 20 56 60 15 84 29 78 75 90 34 96 2 39
 41 22 99 86 72 33 47 13 13 82 80 13 18 11 94
 55 76 82 35 61 46 75 7 38 29 42 95 13 5 4 86
 92 83 67 83 75 53 19 100 79 92 19 11 73 40
 13 41 72 6 20 32 94 74]

$$[S_i]_{10 \times 1} = [4486, 4876, 4297, 4086, 4413, 4557, 4089, 4602, 4839, 6562]$$

$$[D_j]_{1 \times 94} = [523 \ 818 \ 818 \ 314 \ 770 \ 517 \ 503 \ 285 \ 740 \ 143 \ 332 \ 905 \ 961 \ 494 \ 800 \ 31 \ 784 \ 963 \ 636 \ 59 \ 5 \ 460 \ 245 \ 451 \ 299 \ 297 \ 157 \ 937 \ 704 \ 903 \ 148 \ 287 \ 723 \ 338 \ 711 \ 603 \ 970 \ 265 \ 429 \ 763 \ 522 \ 387 \ 667 \ 369 \ 430 \ 43 \ 186 \ 584 \ 437 \ 721 \ 189 \ 958 \ 735 \ 282 \ 681 \ 423 \ 291 \ 76 \ 49 \ 494 \ 621 \ 606 \ 271 \ 974 \ 830 \ 937 \ 240 \ 607 \ 170 \ 385 \ 886 \ 483 \ 777 \ 607 \ 699 \ 177 \ 981 \ 141 \ 22 \ 11 \ 733 \ 854 \ 848 \ 7 \ 565 \ 709 \ 238 \ 71 \ 749 \ 512 \ 609 \ 179 \ 473 \ 220]$$

S14:

$$[C_{ij}]_{10 \times 94} = [81 \ 32 \ 22 \ 15 \ 64 \ 46 \ 36 \ 33 \ 17 \ 15 \ 23 \ 19 \ 100 \ 70 \ 95 \ 83 \ 91 \ 29 \ 70 \ 6 \ 90 \ 99 \ 68 \ 3 \ 4 \ 36 \ 88 \ 98 \ 42 \ 63 \ 85 \ 62 \ 34 \ 59 \ 70 \ 80 \ 85 \ 88 \ 63 \ 8 \ 58 \ 68 \ 82 \ 51 \ 99 \ 83 \ 89 \ 27 \ 82 \ 93 \ 59 \ 48 \ 8 \ 62 \ 66 \ 89 \ 49 \ 98 \ 18 \ 57 \ 4 \ 81 \ 83 \ 91 \ 10 \ 59 \ 38 \ 90 \ 36 \ 85 \ 25 \ 13 \ 34 \ 68 \ 10 \ 29 \ 16 \ 65 \ 65 \ 82 \ 88 \ 73 \ 1 \ 50 \ 99 \ 72 \ 14 \ 5 \ 78 \ 51 \ 47 \ 36 \ 31 \ 13; \ 42 \ 52 \ 80 \ 55 \ 25 \ 27 \ 71 \ 33 \ 45 \ 83 \ 97 \ 82 \ 9 \ 36 \ 64 \ 97 \ 29 \ 70 \ 77 \ 80 \ 27 \ 2 \ 11 \ 3 \ 94 \ 70 \ 72 \ 21 \ 89 \ 25 \ 89 \ 17 \ 52 \ 39 \ 69 \ 12 \ 1 \ 76 \ 22 \ 11 \ 35 \ 6 \ 84 \ 12 \ 35 \ 61 \ 82 \ 82 \ 68 \ 92 \ 83 \ 64 \ 84 \ 43 \ 85 \ 67]$$

3 52 52 19 31 82 63 35 52 28 17 38 21 63 56
91 87 71 16 20 82 65 91 18 15 24 53 53 23 87
87 36 72 18 55 66 72 11; 84 70 69 62 11 3 52
74 93 41 51 40 10 71 85 1 20 45 69 9 57 1 74
29 57 54 99 35 38 85 86 98 81 14 48 60 82 76
32 54 8 41 35 44 71 17 35 86 74 16 60 100 77
3 55 41 79 90 15 83 91 100 16 20 7 79 58 48
53 2 62 88 5 30 76 92 40 41 2 16 19 77 73 63
11 71 54 7 45 30 52 91 13 93; 43 8 63 9 45 6
52 91 66 37 38 98 91 35 61 70 62 6 78 79 49
21 16 7 30 95 45 54 96 58 60 97 54 41 49 74
52 33 76 80 22 64 95 75 41 65 1 24 17 53 85
31 35 97 98 49 13 37 24 3 17 58 97 71 35 51
53 59 79 97 33 75 97 73 76 79 20 95 70 58 28
42 25 93 45 38 44 7 17 87 44 81 43 68; 100
20 74 78 94 80 97 62 84 4 94 25 19 77 56 63
44 52 15 17 30 70 94 3 30 6 62 92 89 14 27
11 90 95 87 12 64 9 46 6 78 54 7 88 56 67 91
85 96 89 46 35 71 23 17 91 30 69 60 21 40 30
36 31 97 19 98 54 76 81 95 73 40 27 42 30 45
52 55 32 45 88 56 40 49 76 62 91 84 95 37 6
23 33; 73 43 34 60 64 20 33 98 49 14 60 39
91 15 94 99 91 86 41 47 5 16 89 21 55 77 96
11 86 87 45 92 6 64 6 32 30 78 90 74 77 70
35 77 81 88 49 48 88 74 52 14 64 14 25 16 85
21 57 16 22 60 82 87 68 86 48 91 28 22 64 77
19 37 95 93 88 75 6 61 10 24 77 91 80 92 53
5 41 55 72 70 4 87; 98 92 71 17 98 28 28 55
18 79 5 35 82 94 54 61 98 51 29 31 97 25 58
90 58 92 86 18 42 33 18 97 10 1 2 5 39 29 55
7 20 33 73 87 66 33 88 86 37 62 90 48 19 61
52 87 85 18 45 27 13 90 89 94 82 43 87 92 74
75 68 30 12 10 26 4 32 77 79 94 76 54 100 78

11 83 84 87 2 46 59 62 36 6; 26 7 20 41 16 78
 18 20 57 5 62 23 40 5 75 18 12 2 55 48 14 19
 71 92 10 99 50 11 91 81 61 35 23 54 10 16 55
 58 75 79 89 17 85 9 30 36 60 12 52 63 90 44
 48 25 53 52 30 13 4 12 75 59 71 56 74 69 79
 51 67 14 59 95 21 52 39 94 4 41 62 1 56 14
 67 45 27 30 57 86 40 80 82 2 42 85; 69 82 55
 96 18 45 19 94 57 46 83 95 95 80 6 67 68 2
 60 88 31 38 83 41 69 64 64 17 36 29 98 90 10
 63 90 82 42 97 68 76 31 85 69 39 19 96 88 31
 97 59 60 45 26 76 46 79 33 72 30 86 6 59 73
 31 33 29 33 25 31 60 16 17 12 42 52 74 68 5
 62 97 98 9 75 33 27 43 40 75 13 37 35 68 93
 11; 67 35 89 11 58 76 52 66 97 18 55 55 53
 12 3 34 26 30 75 41 32 88 57 77 45 81 47 4
 25 59 59 5 36 31 21 91 2 25 35 97 24 44 89
 28 90 74 29 65 34 37 69 42 57 60 27 63 12 92
 23 37 17 75 100 71 42 68 32 11 48 77 46 37
 53 18 97 93 86 56 87 93 80 87 75 66 51 47 85
 54 11 42 37 73 36 33]

$$[S_i]_{10 \times 1} = [4270, 4748, 4294, 4691, 4208, 4877, 4818, 4334, 4053, 8234]$$

$$[D_j]_{1 \times 94} = [260\ 914\ 284\ 618\ 452\ 408\ 17\ 362\ 552\ 123\ 370\ 998\ 776\ 658\ 389\ 511\ 8\ 441\ 171\ 203\ 621\ 751\ 397\ 394\ 521\ 999\ 137\ 909\ 874\ 380\ 831\ 572\ 789\ 566\ 628\ 569\ 183\ 928\ 137\ 788\ 732\ 73\ 379\ 321\ 377\ 811\ 141\ 870\ 1000\ 847\ 683\ 16\ 389\ 194\ 733\ 828\ 900\ 874\ 177\ 207\ 205\ 881\ 497\ 822\ 896\ 168\ 895\ 357\ 109\ 17\ 732\ 278\ 489\ 950\ 789\ 51\ 977\ 602\ 133\ 281\ 8\ 251\ 831\ 936\ 90\ 521\ 799\ 799\ 783\ 823\ 478\ 385\ 537\ 116]$$

S15:

$[C_{ij}]_{10 \times 94} =$ [73 93 61 63 30 96 77 26 93 99 65 52 47 46
 28 82 80 39 20 94 14 71 51 72 51 92 59 13 23
 74 97 15 18 85 80 79 58 17 47 77 64 89 61 80
 78 44 23 26 88 10 15 84 78 68 93 58 90 35 78
 40 98 63 90 30 22 59 97 97 71 64 85 27 40 20
 36 7 59 60 78 96 77 97 26 73 68 57 65 3 49
 88 21 80 29 30; 96 35 79 30 43 64 9 26 16 4
 20 36 71 77 95 44 30 32 37 27 92 52 49 80 97
 55 16 50 98 98 69 68 43 99 85 94 72 10 18 27
 66 50 58 96 84 95 84 57 37 47 98 88 12 27 70
 96 27 85 66 20 43 38 4 21 58 46 67 27 33 60
 39 38 95 21 76 65 78 48 12 63 20 1 98 24 38
 43 14 1 1 24 74 13 66 24; 66 44 86 24 62 99
 98 83 10 65 75 72 69 5 50 87 34 92 11 33 37
 20 46 5 31 78 97 66 8 25 96 84 24 52 90 15
 77 92 51 32 27 67 31 92 1 31 55 5 86 58 11
 16 46 19 68 80 61 54 58 13 21 69 75 28 42 1
 72 98 18 29 83 3 74 69 86 75 44 63 40 48 40
 97 26 11 10 9 16 40 97 96 69 27 62 76; 60 79
 49 48 57 45 58 71 29 47 83 4 3 75 51 32 35
 50 74 11 25 58 100 30 46 19 39 14 4 88 29 74
 29 39 80 87 90 72 67 57 35 1 86 53 40 86 47
 9 46 10 4 97 33 13 30 90 97 87 90 28 62 81
 54 33 71 6 35 85 20 16 85 43 20 2 66 19 85
 68 30 81 74 51 92 66 84 52 31 33 82 33 56
 100 92 42; 24 65 70 28 3 79 72 65 13 75 62 7
 6 51 40 7 8 42 93 63 87 29 90 68 27 92 45 4
 53 96 19 18 74 94 43 30 35 95 6 64 17 95 66
 4 71 89 39 29 24 98 71 32 32 52 52 76 54 22

58 46 41 43 46 72 7 6 45 8 43 59 64 81 61 1
91 34 98 84 62 69 9 36 93 73 46 14 45 83 65
40 80 78 20 25; 44 80 81 96 93 86 91 15 17
32 26 97 3 60 91 97 84 11 7 67 28 52 43 76
42 73 9 43 79 31 74 24 4 46 35 35 16 12 71 3
52 32 72 26 48 67 87 61 86 34 38 36 76 61 80
12 80 18 35 37 10 38 38 90 55 30 11 40 69 94
52 52 98 13 4 27 100 100 73 92 42 33 48 32 9
4 20 66 78 4 35 81 6 84; 13 97 10 2 33 4 11
35 77 89 100 50 82 78 65 47 97 89 3 20 99 19
95 14 68 99 44 99 26 89 22 10 98 61 28 12 94
14 23 27 22 54 59 84 14 46 51 83 8 53 53 77
56 43 68 3 44 6 32 6 80 12 60 1 97 87 37 37
97 99 70 78 50 96 81 39 75 31 87 7 71 32 10
52 8 12 51 16 23 54 74 44 36 98; 47 45 77 63
43 34 54 59 81 59 66 52 7 74 23 65 29 97 98
70 56 42 86 82 83 14 16 19 78 95 31 31 17 67
22 95 34 82 24 11 48 60 55 25 90 43 31 65 45
55 31 43 34 96 51 19 1 59 84 68 49 28 86 57
93 45 10 24 6 81 82 7 20 96 83 29 17 10 8 12
40 2 46 16 61 5 56 84 47 11 83 1 16 36; 46 4
18 85 86 30 97 1 84 15 39 13 73 86 100 80 76
1 69 32 92 92 54 63 85 90 55 58 36 65 63 7
37 53 71 66 86 70 95 78 10 94 100 82 43 67
49 92 52 30 55 49 93 39 44 94 36 33 44 88 90
84 69 74 81 36 3 65 79 40 41 17 75 16 24 41
93 77 32 51 50 83 72 51 50 24 24 38 47 81 76
56 51 29; 75 16 79 6 81 36 100 54 90 80 45
41 55 32 68 47 4 10 89 31 43 94 23 55 12 48
43 23 20 56 60 15 84 29 78 75 90 34 96 2 39
41 22 99 86 72 33 47 13 13 82 80 13 18 11 94
55 76 82 35 61 46 75 7 38 29 42 95 13 5 4 86

		92 83 67 83 75 53 19 100 79 92 19 11 73 40 13 41 72 6 20 32 94 74]
$[S_i]_{10 \times 1}$	=	[4486, 4876, 4297, 4086, 4413, 4557, 4089, 4602, 4839, 6562]
$[D_j]_{1 \times 94}$	=	[523 818 818 314 770 517 503 285 740 143 332 905 961 494 800 31 784 963 636 59 5 460 245 451 299 297 157 937 704 903 148 287 723 338 711 603 970 265 429 763 522 387 667 369 430 43 186 584 437 721 189 958 735 282 681 423 291 76 49 494 621 606 271 974 830 937 240 607 170 385 886 483 777 607 699 177 981 141 22 11 733 854 848 7 565 709 238 71 749 512 609 179 473 220]

LAMPIRAN B

Lampiran B. Tiga Puluh Enam Data *Real*

Data 1 :

$[S_i]_{2 \times 1} = [281820, 136731]$

$[D_j]_{1 \times 94} =$

3071	4187	1155	3438	6851	3441	5351	20838
2752	6363	2838	2695	37543	6595	2611	0
0	2859	622	2113	4599	6339	249	4727
17334	4391	25700	1519	3029	2207	46729	3084
3922	1381	961	3098	1078	2910	1700	4848
0	0	0	10441	0	4724	0	0
0	0	0	0	0	0	0	9820
0	0	0	0	6215	0	0	0
14221	1503	2137	501	562	6626	1494	5878
5338	611	1117	472	1814	1227	1229	1724
3743	7922	281	689	7822	1307	1012	2395
1150	456	4123	528	21067	33274]		

Data 2 :

$[S_i]_{2 \times 1} = [302423, 138801]$

$[D_j]_{1 \times 94} =$

2867	3947	1239	3756	8087	3158	5224	17772
2148	5892	2193	1776	35872	7108	2238	0
125	2362	498	1741	3854	5221	373	4321
18436	4279	27869	1469	2959	2539	51084	3028
4303	1334	935	3455	1428	3010	1594	4102
0	0	0	8701	0	3729	0	0
2238	0	1119	0	0	249	0	7955
0	0	0	9447	22497	622	0	0
13045	1314	2018	472	774	6300	1414	6118
4883	556	1080	473	1782	1185	1347	1750

3616	7777	368	725	8781	1287	1031	2480
1126	490	4317	469	18950	35143]		
Data 3 :							
[S _i] _{2x1} = [321396, 138801]							
[D _j] _{1x94} = [3503 4328 1365 3049 7179 3435 5100 18589							
2271	5614	2726	2745	44061	7420	2362	0
249	2486	498	1865	4102	5718	373	5973
17038	4142	24243	1477	2877	2577	47969	3236
3620	1376	863	3409	1338	2523	1697	4351
125	0	0	9322	0	4102	3232	0
2362	1989	1243	0	995	249	0	8701
2611	2238	125	10690	24610	622	498	0
13654	1515	2171	578	695	6351	1844	5611
5462	588	1002	547	1551	1281	1434	1710
3371	7698	331	682	7483	1324	883	2551
1128	480	4474	543	19452	32342]		
Data 4 :							
[S _i] _{2x1} = [308252, 138801]							
[D _j] _{1x94} = [3852 4759 1312 3451 7537 2827 3878 15224							
2530	5690	2494	2383	32901	7314	2486	0
249	2735	498	1989	4475	6091	373	5492
17978	4305	23799	1597	2773	2556	48509	3279
4183	1303	795	4024	1381	2597	1666	4848
125	0	0	10192	0	4475	3356	0
2611	2984	1368	0	1119	249	0	9447
2984	2362	125	2984	26599	746	249	0
14055	1437	2283	556	812	5786	2034	5911
5026	524	1133	464	1792	1330	1457	1668

3827	7947	297	759	9074	1436	864	2217
1160	519	4166	614	19405	30392]		
Data 5 :							
[S _i] _{2x1} = [341015, 138738]							
[D _j] _{1x94} = [3332 3976 1252 3494 9871 3027 5214 20029							
2437	5584	2615	2184	39154	6641	2735	0
249	2984	746	2238	4848	6837	373	4677
17447	4487	24968	1804	3137	2538	50087	3445
4375	1444	919	4024	1389	2960	1660	5221
125	0	0	11063	0	4972	3729	125
2859	5096	1492	0	871	249	125	10129
3232	2735	249	12554	28961	746	125	0
12664	1382	2405	479	724	6258	1924	5195
5217	536	924	385	2053	1111	1340	1712
3630	8300	321	679	8954	1385	862	2372
1225	480	4369	556	20814	27658]		
Data 6 :							
[S _i] _{2x1} = [280110, 138801]							
[D _j] _{1x94} = [3300 4628 1250 2852 8202 2916 3912 16157							
2695	5526	2699	2271	41855	7074	1616	0
125	1741	373	1243	2859	3854	249	5151
17117	4368	24291	1560	2679	2952	42223	3585
4182	1423	838	3282	1491	2324	1553	3108
125	0	125	6464	0	2859	2238	0
1616	2921	871	0	498	125	0	6091
1865	1616	125	2921	17029	498	249	0
13885	1516	2480	410	799	6616	1980	5900

4721	584	1032	419	1702	1290	1536	1725
3455	7792	341	632	9100	1269	897	2333
1296	452	3957	487	20317	32228]		
Data 7 :							
[S _i] _{2x1} = [350910, 142165]							
[D _j] _{1x94} = [3512 4300 1291 3477 9394 3031 4597 22500							
1776	5384	2824	2530	42638	7341	2735	0
249	2984	746	2238	4848	6837	3737	5858
16806	4210	24717	1715	2549	2520	50440	3185
4359	1437	914	3120	1551	2109	1578	5345
125	0	0	11187	0	4972	3729	125
2859	8452	1492	0	871	249	125	10317
3232	2735	249	8452	29085	746	373	0
13607	1421	2068	554	877	6207	1844	6259
4824	610	1175	403	1840	1110	1389	1739
3546	8113	348	753	8366	1329	970	2121
1181	530	3778	497	19912	34947]		
Data 8 :							
[S _i] _{2x1} = [359746, 138801]							
[D _j] _{1x94} = [3269 4456 1277 2783 8888 3679 4621 18426							
2745	5940	2408	2437	48268	5585	3108	0
249	3356	746	2486	5594	7707	373	4944
19086	3758	27005	1884	3139	2275	48013	3411
4479	1386	911	3405	1402	3198	1657	5967
249	0	0	12678	0	5594	4226	125
3232	7955	1616	0	995	373	125	11560

3605	3108	249	7955	32938	871	249	0
13500	1377	2189	589	752	5974	1588	6085
4578	512	1056	452	2240	1138	1268	1818
3634	8274	300	703	8162	1308	901	2438
1088	454	4199	613	19521	29812]		
Data 9 :							
[S _i] _{2x1} = [342920, 138801]							
[D _j] _{1x94} = [2925 4347 1335 3175 7824 3172 4948 23197							
2383	5467	2469	2752	39059	6619	3108	0
249	3356	746	2362	5345	7458	373	5506
14992	3845	24351	1794	2936	2539	46157	3356
4609	1455	955	3398	1590	3044	1697	5718
249	0	125	12181	0	5345	4102	125
3108	6588	1616	0	995	373	125	11435
3481	3108	249	6588	32068	871	0	0
13591	1657	2344	487	882	6226	1604	5485
5157	575	1140	492	2117	1075	1231	1751
3340	7952	308	613	8140	1194	809	2573
1121	441	4037	523	20791	30722]		
Data 10 :							
[S _i] _{2x1} = [341152, 138801]							
[D _j] _{1x94} = [3241 4160 1166 3365 9373 3262 4463 19921							
2543	6128	2722	2745	31893	7173	3232	0
249	3481	746	2486	5718	7831	373	5434
14628	4201	24296	1562	3014	2643	48925	3661
4064	1300	898	3583	1463	2659	1722	6091
249	0	0	12927	0	5594	4351	0

3232	6837	1616	0	1119	373	125	11933
3729	3108	249	6837	33559	871	249	0
14048	1467	2451	579	707	6182	1680	6488
5428	554	1167	460	1732	1156	1409	1839
3380	7633	244	670	8001	1394	1004	2184
1096	443	4305	576	20644	27659]		
Data 11 :							
[S _i] _{2x1} = [342650, 138801]							
[D _j] _{1x94} = [3345 4376 1200 3449 9943 3013 5472 19127							
2461	5592	2870	2383	34883	6884	3108	0
249	3356	746	2486	5594	7707	373	4617
13879	4019	28972	1895	3048	2349	51999	3726
4185	1286	842	3282	1470	2515	1631	5842
249	0	0	12430	0	5594	4226	0
3232	5345	1616	0	1119	373	125	11560
3605	3108	249	5345	32689	871	249	0
12663	1482	2066	537	706	6570	1878	5523
4546	540	1023	553	1875	1145	1302	1718
3625	8131	294	762	7981	1439	918	2211
1191	498	4421	577	19509	29608]		
Data 12 :							
[S _i] _{2x1} = [345429, 138803]							
[D _j] _{1x94} = [3051 4400 1232 3234 8448 3402 3949 18071							
2483	5441	2088	2543	37374	6698	3108	0
249	3356	746	2486	5594	7582	373	3245
13670	3723	25743	1793	3104	2515	49978	3573

3966	1476	820	3341	1380	2408	1862	5842
249	0	0	12430	0	5594	4226	125
3108	8577	1616	0	995	373	125	11560
3605	3108	249	8577	32567	871	0	0
13631	1538	2043	475	843	6400	2087	5971
5627	579	1251	450	2393	1262	1306	1868
3646	7945	352	690	8525	1378	1028	2216
1155	477	3972	515	20557	31750]		
Data 13 :							
$[S_i]_{2 \times 1} = [129248, 61185]$							
$[D_j]_{1 \times 94} = [1535 \ 9221 \ 1912 \ 7522 \ 4198 \ 7248 \ 12387 \ 1622$							
6581 \ 13029 \ 2408 \ 4514 \ 3320 \ 379 \ 746 \ 0							
1616 \ 2238 \ 0 \ 2486 \ 125 \ 373 \ 1865 \ 4459							
1369 \ 2163 \ 2276 \ 2455 \ 1595 \ 2338 \ 4434 \ 8503							
3362 \ 2065 \ 1524 \ 3043 \ 2504 \ 2085 \ 2654 \ 0							
0 \ 0 \ 0 \ 498 \ 622 \ 0 \ 0 \ 0							
0 \ 0 \ 0 \ 0 \ 0 \ 8577 \ 4848 \ 995							
0 \ 0 \ 0 \ 0 \ 0 \ 2735 \ 0 \ 0							
539 \ 633 \ 2822 \ 372 \ 927 \ 6876 \ 0 \ 1422							
6177 \ 376 \ 853 \ 555 \ 2391 \ 864 \ 1421 \ 2042							
94 \ 0 \ 129 \ 786 \ 410 \ 926 \ 404 \ 577							
50 \ 533 \ 0 \ 615 \ 6234 \ 976]							
Data 14 :							
$[S_i]_{2 \times 1} = [129520, 61185]$							
$[D_j]_{1 \times 94} = [1714 \ 10057 \ 1976 \ 7613 \ 4879 \ 6958 \ 10886 \ 1523$							
5092 \ 12628 \ 2256 \ 5266 \ 3247 \ 379 \ 622 \ 0							
1243 \ 1865 \ 0 \ 1989 \ 125 \ 249 \ 1368 \ 4504							

1400	1896	2124	2547	1537	1703	4008	8468
3184	1960	1282	2938	1940	2166	1887	0
1492	0	3232	373	1989	0	1119	2611
0	0	871	0	0	8080	3978	871
4226	0	0	0	0	2238	0	0
551	565	2446	353	972	6416	0	1524
6146	428	905	536	2401	943	1518	2006
103	0	131	744	373	946	393	583
51	585	0	682	917	928]		
Data 15 :							
$[S_i]_{2 \times 1} = [137888, 60685]$							
$[D_j]_{1 \times 94} = [1702$ 9869 1818 7878 3882 7952 9082 1628							
5208 13137 2089 4660 3255 394 622 0							
1368 1989 0 2238 125 373 1616 4320							
1345 2450 2043 2254 1542 2060 4025 7511							
3253 2123 1387 2909 2244 2227 2419 0							
1741 0 3481 373 2238 0 1368 2735							
0 0 871 0 0 8825 4351 746							
7085 0 0 0 0 2486 3232 0							
581 636 2491 385 824 6856 0 1435							
6396 468 855 528 2163 927 1662 2066							
101 0 129 783 391 985 384 67							
52 616 0 624 761 878]							
Data 16 :							
$[S_i]_{2 \times 1} = [141561, 61185]$							

$[D_j]_{1 \times 94} =$	1530	11018	1894	8120	4033	7193	12252	1522
	4514	13743	2020	5538	3325	387	622	0
	1492	2113	0	2238	125	373	1741	3806
	1414	2294	2162	2887	1583	1916	3745	6599
	3953	2080	1383	2647	2339	2452	2494	0
	1865	0	3729	498	2362	0	1368	2984
	0	0	995	0	0	9571	4724	871
	7334	0	0	0	0	2611	249	0
	596	553	2467	393	915	7353	0	1502
	5087	448	860	597	2100	1005	1520	1910
	90	0	135	930	362	1156	392	579
	48	501	0	920	830	789]		

Data 17 :

$[S_i]_{2 \times 1} = [149360, 61185]$

$[D_j]_{1 \times 94} =$	1783	8268	1949	7619	4300	7369	10524	1502
	5266	13282	2660	6025	3668	415	746	0
	1616	2362	0	2486	125	373	1989	4821
	1481	1843	2474	2446	1231	2230	3822	7465
	3260	2248	1165	2667	1888	2339	2336	0
	1989	0	4102	498	2486	0	1492	3232
	0	0	1119	0	0	10317	5096	995
	9944	0	0	0	0	2859	3978	0
	546	608	2595	351	870	7061	0	1519
	6202	471	799	441	2069	895	1571	2308
	97	0	116	809	340	978	382	581
	50	508	0	624	783	821]		

Data 18 :

$[S_i]_{2 \times 1} = [125861, 61185]$
 $[D_j]_{1 \times 94} = [1756 \ 9831 \ 1780 \ 8545 \ 4083 \ 7247 \ 10811 \ 1528$
 $4660 \ 13286 \ 2575 \ 6267 \ 3413 \ 376 \ 373 \ 0$
 $995 \ 1368 \ 0 \ 1368 \ 125 \ 249 \ 1243 \ 4553$
 $1486 \ 1894 \ 1766 \ 2229 \ 1456 \ 1904 \ 4411 \ 7142$
 $3554 \ 2111 \ 1375 \ 2692 \ 2232 \ 2136 \ 2415 \ 0$
 $1119 \ 0 \ 2486 \ 249 \ 1492 \ 0 \ 871 \ 1989$
 $0 \ 0 \ 622 \ 0 \ 0 \ 6091 \ 2984 \ 498$
 $5718 \ 0 \ 0 \ 0 \ 0 \ 1741 \ 125 \ 0$
 $590 \ 564 \ 2752 \ 389 \ 879 \ 7174 \ 0 \ 1469$
 $7057 \ 409 \ 890 \ 578 \ 1929 \ 1014 \ 1520 \ 1843$
 $95 \ 0 \ 146 \ 875 \ 379 \ 1231 \ 432 \ 569$
 $47 \ 563 \ 0 \ 620 \ 910 \ 902]$

Data 19 :

 $[S_i]_{2 \times 1} = [143718, 61185]$
 $[D_j]_{1 \times 94} = [1542 \ 9673 \ 1878 \ 1051 \ 4028 \ 7799 \ 10965 \ 1524$
 $5538 \ 11922 \ 2453 \ 6175 \ 3457 \ 348 \ 746 \ 0$
 $1616 \ 2362 \ 0 \ 2486 \ 125 \ 373 \ 1989 \ 4521$
 $1171 \ 2066 \ 2033 \ 2581 \ 1650 \ 2159 \ 4059 \ 7890$
 $3743 \ 2020 \ 1348 \ 2642 \ 2010 \ 2342 \ 2079 \ 0$
 $1989 \ 0 \ 4226 \ 498 \ 2611 \ 0 \ 1492 \ 3356$
 $0 \ 0 \ 1119 \ 0 \ 0 \ 10441 \ 5096 \ 995$
 $9944 \ 0 \ 0 \ 0 \ 0 \ 2859 \ 3481 \ 0$
 $600 \ 689 \ 2811 \ 370 \ 918 \ 7128 \ 0 \ 1417$
 $6390 \ 401 \ 760 \ 523 \ 1968 \ 874 \ 1464 \ 1962$
 $95 \ 0 \ 123 \ 850 \ 351 \ 1087 \ 343 \ 630$
 $47 \ 532 \ 0 \ 609 \ 721 \ 769]$

Data 20 :

$$[S_i]_{2 \times 1} = [151684, 61185]$$

$$[D_j]_{1 \times 94} = \begin{bmatrix} 1501 & 9980 & 1750 & 7823 & 4029 & 7132 & 11428 & 1626 \\ 6025 & 12791 & 1991 & 5013 & 343 & 423 & 746 & 0 \\ 1865 & 2611 & 0 & 2859 & 125 & 373 & 2238 & 4221 \\ 1478 & 2095 & 1623 & 2766 & 1326 & 2280 & 4385 & 7552 \\ 3005 & 2428 & 1300 & 2840 & 1954 & 2241 & 2595 & 0 \\ 2238 & 0 & 4724 & 498 & 2859 & 0 & 1492 & 3854 \\ 0 & 0 & 1243 & 0 & 0 & 11808 & 5842 & 1119 \\ 10441 & 0 & 0 & 0 & 0 & 3232 & 3356 & 125 \\ 541 & 517 & 2288 & 418 & 859 & 6905 & 0 & 1470 \\ 5493 & 386 & 841 & 425 & 2378 & 814 & 1781 & 2058 \\ 90 & 0 & 134 & 700 & 386 & 1011 & 358 & 628 \\ 49 & 490 & 0 & 688 & 768 & 801] \end{bmatrix}$$

Data 21 :

$$[S_i]_{2 \times 1} = [153950, 61185]$$

$$[D_j]_{1 \times 94} = \begin{bmatrix} 1635 & 10229 & 1887 & 8534 & 4323 & 7292 & 10486 & 1619 \\ 6267 & 13118 & 2427 & 6581 & 3087 & 353 & 746 & 0 \\ 1865 & 2611 & 0 & 2735 & 125 & 373 & 2238 & 3842 \\ 1491 & 2263 & 2121 & 2360 & 1654 & 2256 & 4318 & 6296 \\ 3473 & 2068 & 1346 & 2645 & 1802 & 2343 & 2321 & 0 \\ 2238 & 0 & 4475 & 498 & 2859 & 0 & 1616 & 3605 \\ 0 & 0 & 1243 & 0 & 0 & 11435 & 5594 & 1119 \\ 10317 & 0 & 0 & 0 & 0 & 3108 & 1741 & 125 \\ 540 & 580 & 2632 & 429 & 856 & 7270 & 0 & 1387 \\ 5321 & 378 & 818 & 565 & 2199 & 1042 & 1531 & 2092 \\ 98 & 0 & 128 & 749 & 375 & 1038 & 423 & 555 \\ 53 & 597 & 0 & 647 & 840 & 889] \end{bmatrix}$$

Data 22 :

$$[S_i]_{2 \times 1} = [155788, 61185]$$

$$[D_j]_{1 \times 94} = \begin{bmatrix} 1627 & 9610 & 1954 & 7899 & 4539 & 7615 & 10235 & 1633 \\ 6175 & 13174 & 1815 & 5092 & 3539 & 369 & 746 & 0 \\ 1865 & 2735 & 0 & 2984 & 125 & 498 & 2238 & 3772 \\ 1368 & 2207 & 2554 & 2789 & 1713 & 2247 & 4414 & 7827 \\ 3688 & 1767 & 1439 & 2892 & 1956 & 2147 & 2303 & 0 \\ 2362 & 0 & 4848 & 498 & 2984 & 0 & 1492 & 3854 \\ 0 & 0 & 1243 & 0 & 0 & 11933 & 5842 & 1119 \\ 10441 & 0 & 0 & 0 & 0 & 3356 & 2362 & 125 \\ 572 & 580 & 2207 & 353 & 869 & 6977 & 0 & 1314 \\ 5111 & 430 & 862 & 386 & 2208 & 884 & 1648 & 2098 \\ 91 & 0 & 128 & 894 & 341 & 1137 & 385 & 600 \\ 41 & 563 & 0 & 624 & 866 & 795] \end{bmatrix}$$

Data 23 :

$$[S_i]_{2 \times 1} = [149635, 61185]$$

$$[D_j]_{1 \times 94} = \begin{bmatrix} 1802 & 9748 & 1967 & 8129 & 4418 & 7132 & 10291 & 1494 \\ 5013 & 11953 & 1893 & 5208 & 3168 & 394 & 746 & 0 \\ 1865 & 2611 & 0 & 2735 & 125 & 373 & 2238 & 4092 \\ 1565 & 2173 & 2132 & 2445 & 1577 & 2079 & 3997 & 6962 \\ 3591 & 1978 & 1448 & 2844 & 2179 & 1930 & 2536 & 0 \\ 2238 & 0 & 4599 & 498 & 2859 & 0 & 1616 & 3605 \\ 0 & 0 & 1243 & 0 & 0 & 11808 & 5718 & 1243 \\ 10441 & 0 & 0 & 0 & 0 & 3232 & 746 & 125 \\ 596 & 565 & 2531 & 382 & 842 & 7113 & 0 & 1452 \\ 5170 & 395 & 907 & 508 & 2152 & 1013 & 1445 & 2305 \end{bmatrix}$$

108	0	117	885	361	1096	375	681
52	546	0	687	799	935]		
Data 24 :							
[S _i] _{2x1} = [154856, 61185]							
[D _j] _{1x94} = [1700 11029 1964 6700 3928 7280 10653 1631							
5979	12142	2819	5538	2677	391	746	0
1865	2611	0	2735	125	373	2238	4157
1405	2164	2248	2504	1435	2104	4126	7504
3133	2227	1431	2859	2221	2335	2467	0
2238	0	4599	498	2859	0	1616	3605
0	0	1243	0	0	11684	5718	1243
10317	0	0	0	0	3232	3978	125
625	600	2220	387	950	6913	0	1378
6151	405	784	587	2105	841	1503	2116
106	0	149	726	338	1012	354	482
47	544	0	676	810	833]		
Data 25 :							
[S _i] _{2x1} = [101397, 50000]							
[D _j] _{1x94} = [1052 4082 0 3198 2619 2695 4544 890							
2203	5681	0	2656	1931	1089	746	0
995	2611	0	1741	622	1741	0	742
1350	1064	0	944	0	2288	3086	0
11171	0	0	0	0	0	0	0
0	0	0	373	0	1368	0	0
10814	0	0	0	0	0	0	2859
0	0	0	0	9447	0	0	0
910	0	2758	0	971	6627	1461	2487

0	0	0	16407	13051	0	0	0
897	0	2936	0	889	6352	1348	1899
5911	0	0	436	2248	0	1346	1829
686	6361	0	825	432	0	0	939
183	1758	8734	1933	3509	10385]		
Data 28 :							
[S _i] _{2x1} = [125581, 50000]							
[D _j] _{1x94} = [1031 4231 0 3228 2620 3075 4360 854							
	2267	5716	0	2244	1952	1236	746 0
	1368	2362	0	1616	622	4226	871 664
	1562	1326	0	1182	0	2289	3361 0
	10978	0	0	0	0	0	0 0
	0	0	0	373	0	1243	0 0
	13548	0	0	0	0	0	0 2735
	0	0	0	13673	14046	0	0 0
	807	0	2713	0	902	7731	1209 1925
	5406	0	0	533	2174	0	1618 2223
	694	6052	0	734	439	0	0 983
	157	1644	10304	2015	3783	9930]	
Data 29 :							
[S _i] _{2x1} = [137824, 50000]							
[D _j] _{1x94} = [1113 4680 0 2966 2737 2928 5080 891							
	2627	4968	0	2265	1869	1218	746 0
	1492	2611	0	1741	746	4475	995 882
	1535	1247	0	844	0	2233	2930 0
	11025	0	0	0	0	0	0 0
	0	0	0	498	0	1492	0 0

14916	0	0	0	0	0	0	2859	
0	0	0	21627	15164	0	0	0	
863	0	2520	0	1112	7022	1158	1966	
5700	0	0	476	1921	0	1577	1824	
756	6473	0	772	461	0	0	980	
201	1719	10603	1801	3034	11485]			
Data 30 :								
[S _i] _{2x1} = [104256, 50000]								
[D _j] _{1x94} = [949 3693 0 3530 2745 2937 4593 856								
	2656	5520	0	1818	1785	1178	498	0
	871	1616	0	995	373	2735	622	812
	1321	1169	0	940	0	2219	2838	0
	11123	0	0	0	0	0	0	0
	0	0	0	249	0	746	0	0
	8825	0	0	0	0	0	0	1741
	0	0	0	9571	9198	0	0	0
	788	0	3090	0	972	6735	1358	2158
	5425	0	0	540	2177	0	1337	2149
	685	6461	0	792	426	0	0	907
	189	1680	8489	2058	3299	11819]		
Data 31 :								
[S _i] _{2x1} = [135272, 50000]								
[D _j] _{1x94} = [1138 4467 0 3256 2757 3241 4391 867								
	2245	4755	0	2644	1801	1161	746	0
	1492	2611	0	1741	746	4475	995	700
	1299	945	0	1058	0	2141	3041	0

11228	0	0	0	0	0	0	0	0
0	0	0	498	0	1492	0	0	0
15040	0	0	0	0	0	0	0	2984
0	0	0	21255	15288	0	0	0	0
762	0	2543	0	773	6702	1213	2942	0
5586	0	0	497	2281	0	1300	2054	0
653	5862	0	741	480	0	0	0	916
213	1666	9403	1980	3584	10623			
Data 32 :								
$[S_i]_{2 \times 1} = [143345, 50000]$								
$[D_j]_{1 \times 94} = [1037 \ 4269 \ 0 \ 3350 \ 2651 \ 3329 \ 4734 \ 871$								
$2246 \ 4876 \ 0 \ 2203 \ 1751 \ 1096 \ 871 \ 0$								
$1741 \ 3108 \ 0 \ 1989 \ 746 \ 5221 \ 1119 \ 862$								
$1620 \ 1293 \ 0 \ 862 \ 0 \ 2434 \ 3035 \ 0$								
$10604 \ 0 \ 0 \ 0 \ 0 \ 0 \ 0 \ 0$								
$0 \ 0 \ 0 \ 498 \ 0 \ 1616 \ 0 \ 0$								
$17029 \ 0 \ 0 \ 0 \ 0 \ 0 \ 0 \ 3356$								
$0 \ 0 \ 0 \ 21752 \ 17277 \ 0 \ 0 \ 0$								
$744 \ 0 \ 2800 \ 0 \ 812 \ 7404 \ 1189 \ 2385$								
$5419 \ 0 \ 0 \ 481 \ 1936 \ 0 \ 1400 \ 2514$								
$672 \ 6083 \ 0 \ 836 \ 500 \ 0 \ 0 \ 977$								
$209 \ 1753 \ 9495 \ 1857 \ 3766 \ 10667]$								
Data 33 :								
$[S_i]_{2 \times 1} = [138899, 50000]$								
$[D_j]_{1 \times 94} = [973 \ 4133 \ 0 \ 3472 \ 2759 \ 3126 \ 4393 \ 908$								
$2244 \ 5684 \ 0 \ 2303 \ 1921 \ 1211 \ 871 \ 0$								
$1741 \ 2984 \ 0 \ 1989 \ 746 \ 4972 \ 1119 \ 837$								

1525	985	0	927	0	2368	3506	0
11034	0	0	0	0	0	0	0
0	0	0	498	0	1243	0	0
16407	0	0	0	0	0	0	3232
0	0	0	20136	16904	0	0	0
703	0	2406	0	995	6630	1360	2439
5920	0	0	505	1908	0	1485	1847
654	5417	0	690	454	0	0	973
188	1715	9570	1792	3181	10916]		
Data 34 :							
$[S_i]_{2 \times 1} = [143909, \quad 50000]$							
$[D_j]_{1 \times 94} = [1077 \ 4124 \ 0 \ 3047 \ 2550 \ 3222 \ 4681 \ 888$							
2265 \ 5237 \ 0 \ 2628 \ 1735 \ 1197 \ 871 \ 0							
1741 \ 3108 \ 0 \ 2113 \ 746 \ 5221 \ 1119 \ 830							
1405 \ 1222 \ 0 \ 931 \ 0 \ 2126 \ 2819 \ 0							
10201 \ 0 \ 0 \ 0 \ 0 \ 0 \ 0 \ 0							
0 \ 0 \ 0 \ 498 \ 0 \ 1492 \ 0 \ 0							
17153 \ 0 \ 0 \ 0 \ 0 \ 0 \ 0 \ 3481							
0 \ 0 \ 0 \ 21130 \ 17650 \ 0 \ 0 \ 0							
892 \ 0 \ 2915 \ 0 \ 758 \ 6705 \ 1468 \ 2305							
5847 \ 0 \ 0 \ 569 \ 2418 \ 0 \ 1542 \ 2023							
704 \ 6159 \ 0 \ 750 \ 475 \ 0 \ 0 \ 851							
195 \ 1605 \ 11166 \ 1826 \ 3576 \ 10652]							
Data 35 :							
$[S_i]_{2 \times 1} = [138211, \quad 50000]$							

$$[D_j]_{1 \times 94} = \begin{bmatrix} 1063 & 4083 & 0 & 3221 & 2781 & 3488 & 4573 & 902 \\ 1818 & 5392 & 0 & 2267 & 1717 & 1090 & 871 & 0 \\ 1741 & 3108 & 0 & 1989 & 746 & 5221 & 1119 & 833 \\ 1554 & 1168 & 0 & 927 & 0 & 2406 & 3045 & 0 \\ 10474 & 0 & 0 & 0 & 0 & 0 & 0 & 0 \\ 0 & 0 & 0 & 498 & 0 & 1616 & 0 & 0 \\ 16904 & 0 & 0 & 0 & 0 & 0 & 0 & 3232 \\ 0 & 0 & 0 & 18644 & 17153 & 0 & 0 & 0 \\ 902 & 0 & 2668 & 0 & 932 & 6763 & 1381 & 2229 \\ 6227 & 0 & 0 & 551 & 2077 & 0 & 1303 & 1561 \\ 670 & 6062 & 0 & 788 & 482 & 0 & 0 & 925 \\ 208 & 1750 & 10247 & 2174 & 3062 & 9605 \end{bmatrix}$$

Data 36 :

$$[S_i]_{2 \times 1} = [146450, \quad 50000]$$

$$[D_j]_{1 \times 94} = \begin{bmatrix} 984 & 4223 & 0 & 3298 & 2807 & 3055 & 4645 & 892 \\ 2644 & 5228 & 0 & 2627 & 1980 & 1105 & 871 & 0 \\ 1741 & 3108 & 0 & 1989 & 746 & 5096 & 1119 & 851 \\ 1396 & 1287 & 0 & 990 & 0 & 2318 & 3640 & 0 \\ 11412 & 0 & 0 & 0 & 0 & 0 & 0 & 0 \\ 0 & 0 & 0 & 498 & 0 & 1616 & 0 & 0 \\ 16904 & 0 & 0 & 0 & 0 & 0 & 0 & 3232 \\ 0 & 0 & 0 & 22249 & 17153 & 0 & 0 & 0 \\ 741 & 0 & 2621 & 0 & 1029 & 7314 & 1489 & 1680 \\ 6520 & 0 & 0 & 524 & 2097 & 0 & 1272 & 1695 \\ 671 & 6391 & 0 & 831 & 514 & 0 & 0 & 955 \\ 205 & 1736 & 10682 & 1873 & 3200 & 10706 \end{bmatrix}$$

[Halaman ini sengaja dikosongkan]

BIODATA PENULIS



Aisyah Muswar, lahir di Ujung Pandang pada tanggal 6 Agustus 1998. Penulis menempuh pendidikan di SD Negeri 1 Palatiga (2004-2010), SMP Negeri 1 Baubau (2010-2013), SMA Negeri Baubau (2013-2016) dan saat ini sedang menempuh pendidikan S1 di Departemen Teknik Informatika Institut Teknologi Sepuluh Nopember (ITS) Surabaya. Aktif di berbagai kegiatan di kampus baik akademik maupun non akademik seperti Schematics, INOCHI, KFEST, UKM IFLS, hingga Badan Eksekutif Mahasiswa Fakultas Fakultas Teknologi Elektro dan Informatika Cerdas. Komunikasi dengan penulis dapat melalui email: aisyahmuswar6@gmail.com.